

Tektonika a říční systém

- Odras tektonických procesů v říčním systému, následná zvýšená eroze a akumulace, asymetrie povodí, analýza údolní sítě
- Analýza fluviálních tvarů reliéfu porušených tektonickými pohyby - říční terasy, analýza podélných a příčných profilů vodních toků
- Analýza okrajových zlomových svahů pohoří
- Zlomové svahy, jejich vývoj, degradace, možnosti jejich datování

Morfostrukturní analýza

- Tektonická geomorfologie používá metody **morfostrukturní analýzy**:
- Analýza vztahu mezi **geologickou strukturou** (litologie, struktura - zlomy, vrásy) a **reliéfem** => vliv podloží

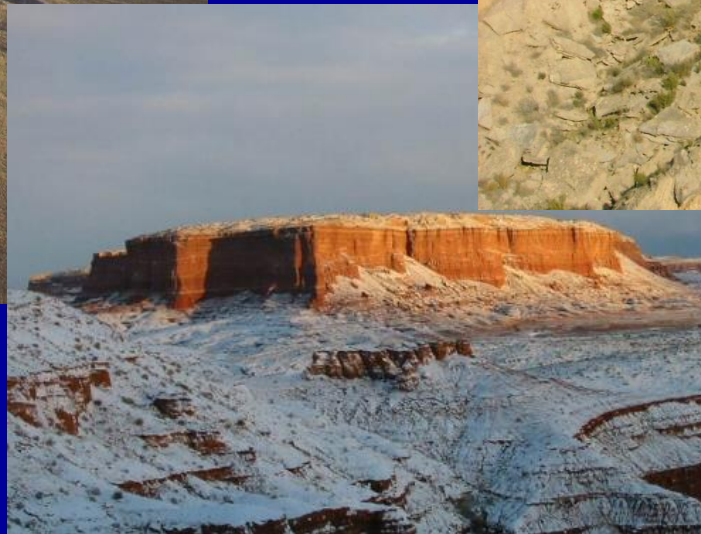
Strukturní reliéf podmíněný úložnými poměry a selektivním zvětráváním a erozí



strukturní hřbet,
skalní stěna



skalní římsy a převisy



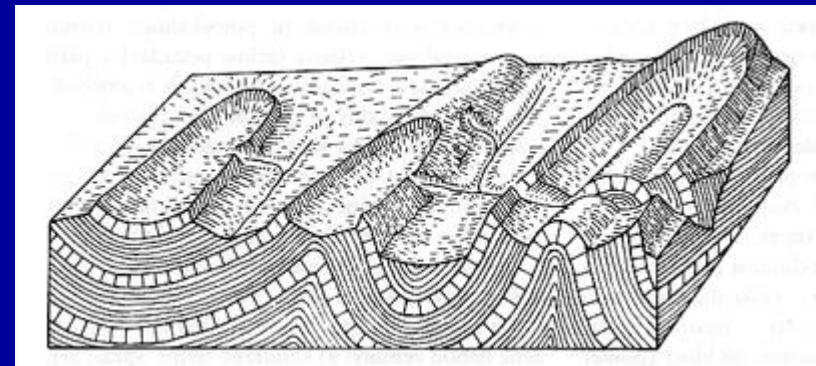
strukturní plošiny a
stolové hory - mesa (šp.
stůl)

Morfostrukturní analýza

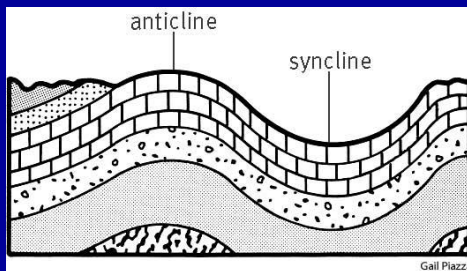
- Tektonická geomorfologie používá metody **morfostrukturní analýzy**:
 - Analýza vztahu mezi geologickou strukturou (litologie, struktura - zlomy, vrásy) a reliéfem

- **Strukturní reliéf** podmíněný tektonickými pohyby – tektonický reliéf

- Konformní vrásový reliéf – synklinální údolí, antiklinální hřbety



Inverzní reliéf



= celkové zhodnocení vztahů mezi geologickými strukturami a reliéfem



Morfostruktura - část horninového prostředí s jednotným vývojem a strukturními vlastnostmi, maximálně homogenní uvnitř a odlišná od okolí (např. část pohoří se stejnou rychlostí výzdvihu.....)



pasivní morfostruktura - horninová stavba a starší tektonika



aktivní morfostruktura - mladá a současná tektonika všeho druhu, současné vulkány

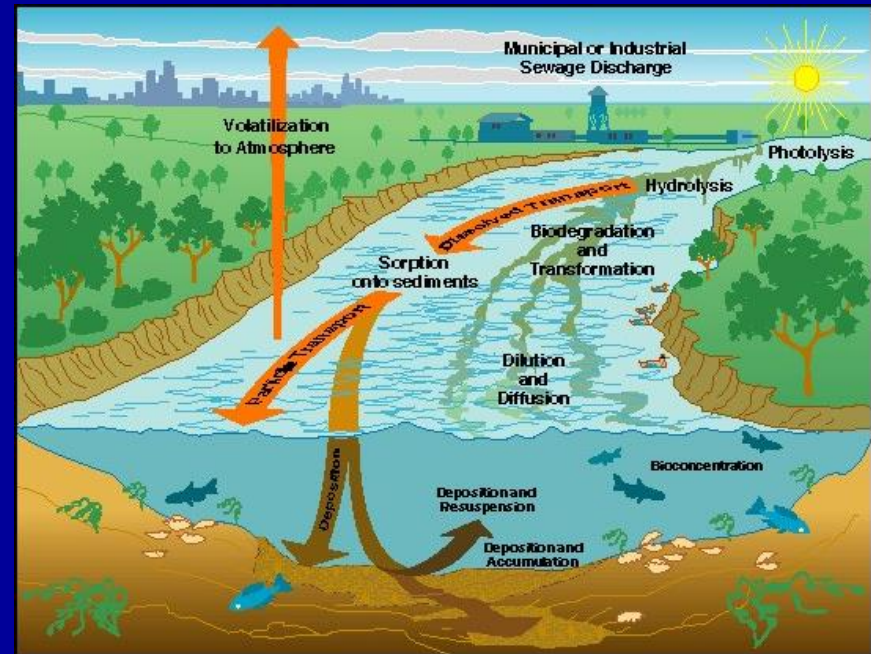
Tektonické tvary reliéfu X tvary tektonikou ovlivněné

➤ Odras tektonických procesů v **říčním systému**

➤ Údolní systém **reaguje citlivě** na procesy jak **endogenního**, tak **exogenního** původu - jeho analýza může obsahovat užitečné informace o neotektonické aktivitě (vertikální pohyby) – začátek analýzy

➤ Vodní toky - parametry šířka a hloubka koryta, množství transportovaného materiálu, plaveniny v suspenzi, dnové splaveniny, sklon koryta, sinuosita (křivolakost) koryta, rychlost proudění atd.

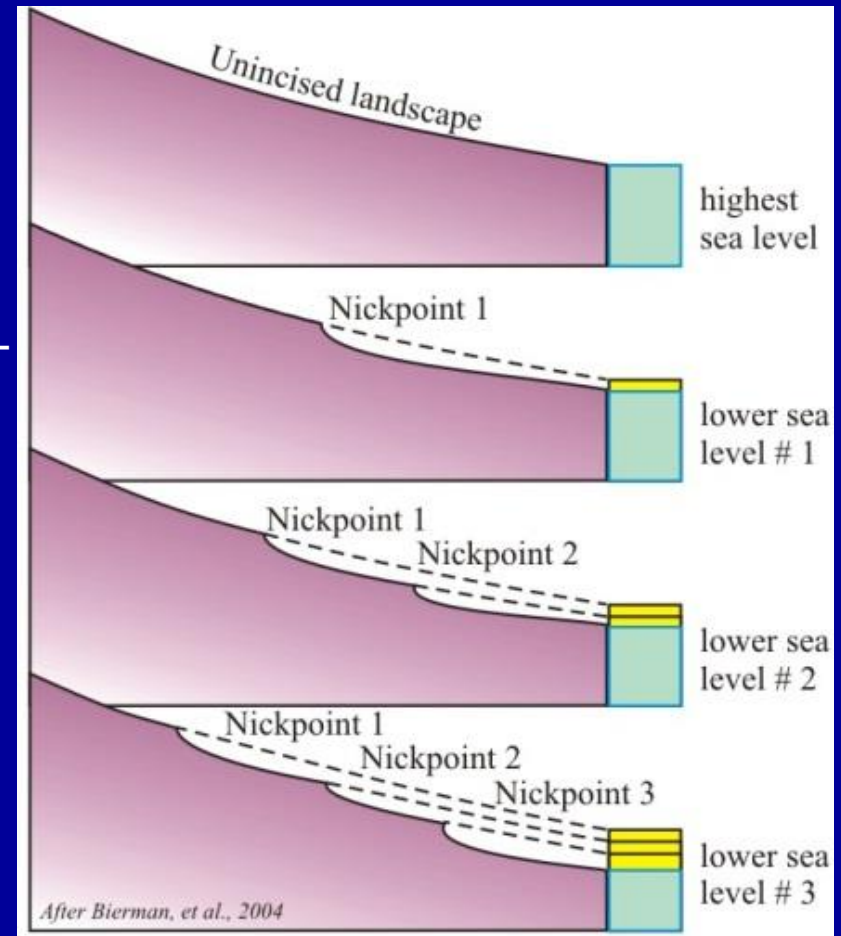
– tyto parametry jsou v rovnováze v říčním systému – citlivé na jakoukoliv změnu



Odraz tektonických procesů v říčním systému

⇒ **Klimatické změny** v kvartéru (2,8 mil let) – hluboký efekt na říční systém – globální **změny hladiny světového oceánu** způsobily ve velkém měřítku cykly **agradace** (akumulace) a **degradace** (eroze)

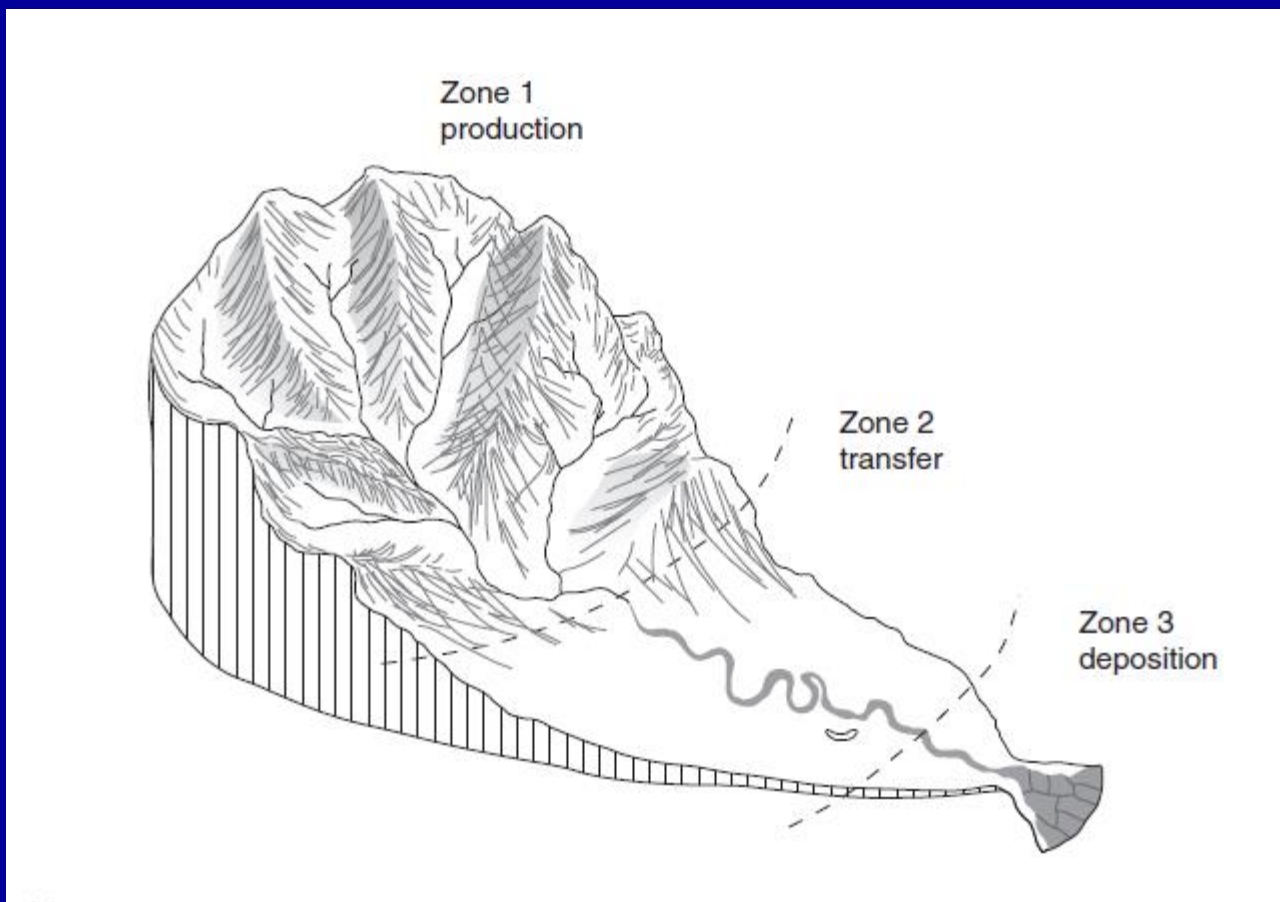
⇒ = **změna erozní báze** - nejnižší bod říčního toku, pod kterým již řeka nemůže erodovat (lokální erozní báze – na toku; mořská hladina)



Odraz tektonických procesů v říčním systému



Fluviální procesy: eroze, transport, akumulace



Odraz tektonických procesů v říčním systému

Typy řek podle množství unášeného materiálu

⇒ **Alluvial rivers** – parametry jako drsnost koryta, viskozita, tření, sklon koryta atd. nedovolují odnášet materiál, řeky tečou ve svých náplavech

- citlivější k tektonickým pohybům

⇒ **Bedrock rivers** – materiál je transportován pryč, řeky tečou v obnaženém skalním podkladu

- méně citlivé na tektoniku, trvá to dlouho než se takový tok přizpůsobí, projevy tektoniky jsou maskovány lokálními rozdíly v odolnosti hornin a struktuře

⇒ **Graded river** (řeka s vyrovnanou spádovou křivkou) – ve stavu dynamické rovnováhy, pouze transportuje materiál, neeroduje ani neakumuluje

Alluvial rivers – citlivé na jakoukoliv změnu parametrů a reagují rychle, může v nich být zaznamenána aktivní tektonika z nedávné minulosti

Odraz tektonických procesů v říčním systému

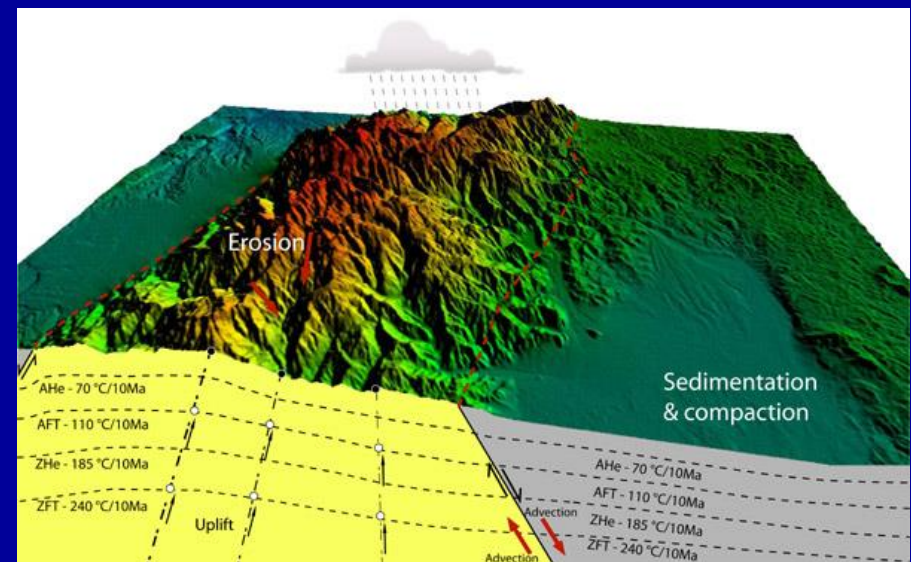
Akumulace a eroze

⇒ **Tektonický výzdvih** – vyvolává zvýšenou erozi, nebo redukce ukládání

- vyšší eroze = větší množství dostupného materiálu, náhlé zhrubnutí sedimentů v sekvencích náplavových kuželů

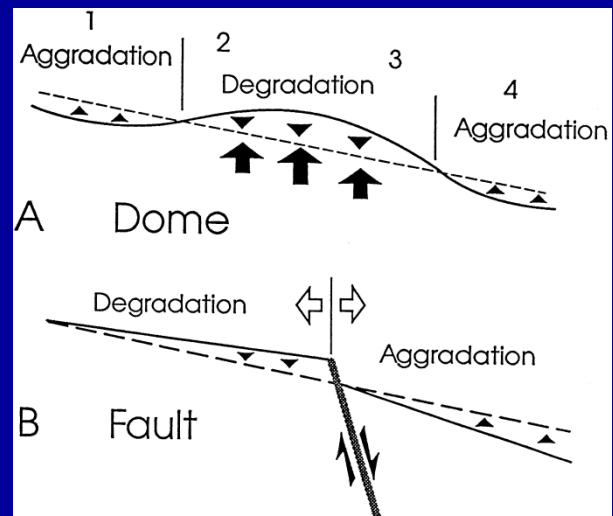
V oblastech s vysokou topografií (hory) – ostatní parametry jsou stejné, ale přínos materiálu je největší

V částech s normálními úložnými poměry – ztenčování mocnosti sedimentů poukazuje na výzdvih

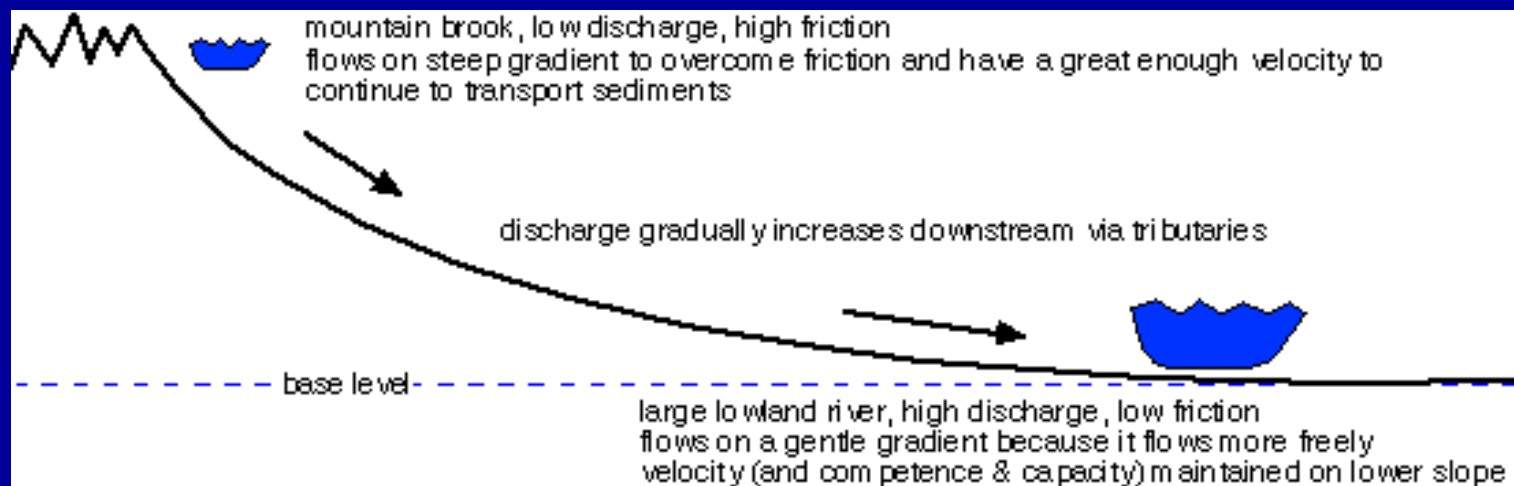


Odraz tektonických procesů v říčním systému

➤ **Subsidence, pokles** – podporuje sedimentaci nebo přinejmenším již zvyšuje existující akumulaci



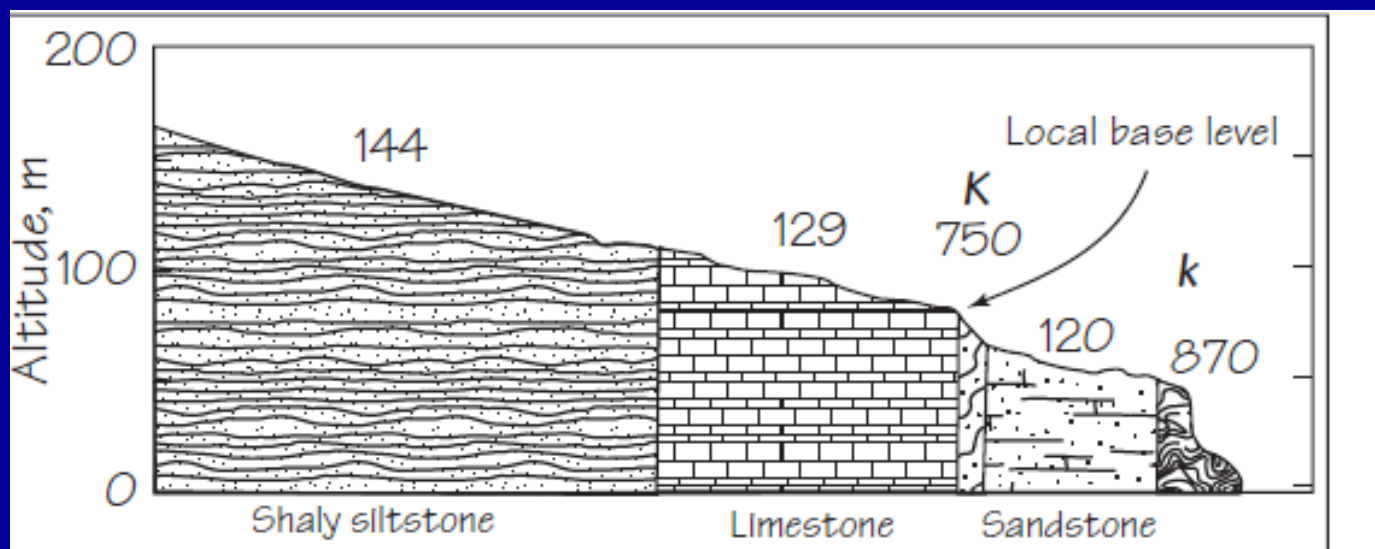
➤ Změny se projeví obvykle v podélném profilu toku – **spádové křivce**
Tektonika v regionálním měřítku - tvar křivky
lokální měřítko – anomálie, lomy ve spádu



Graded river –
konkávní tvar

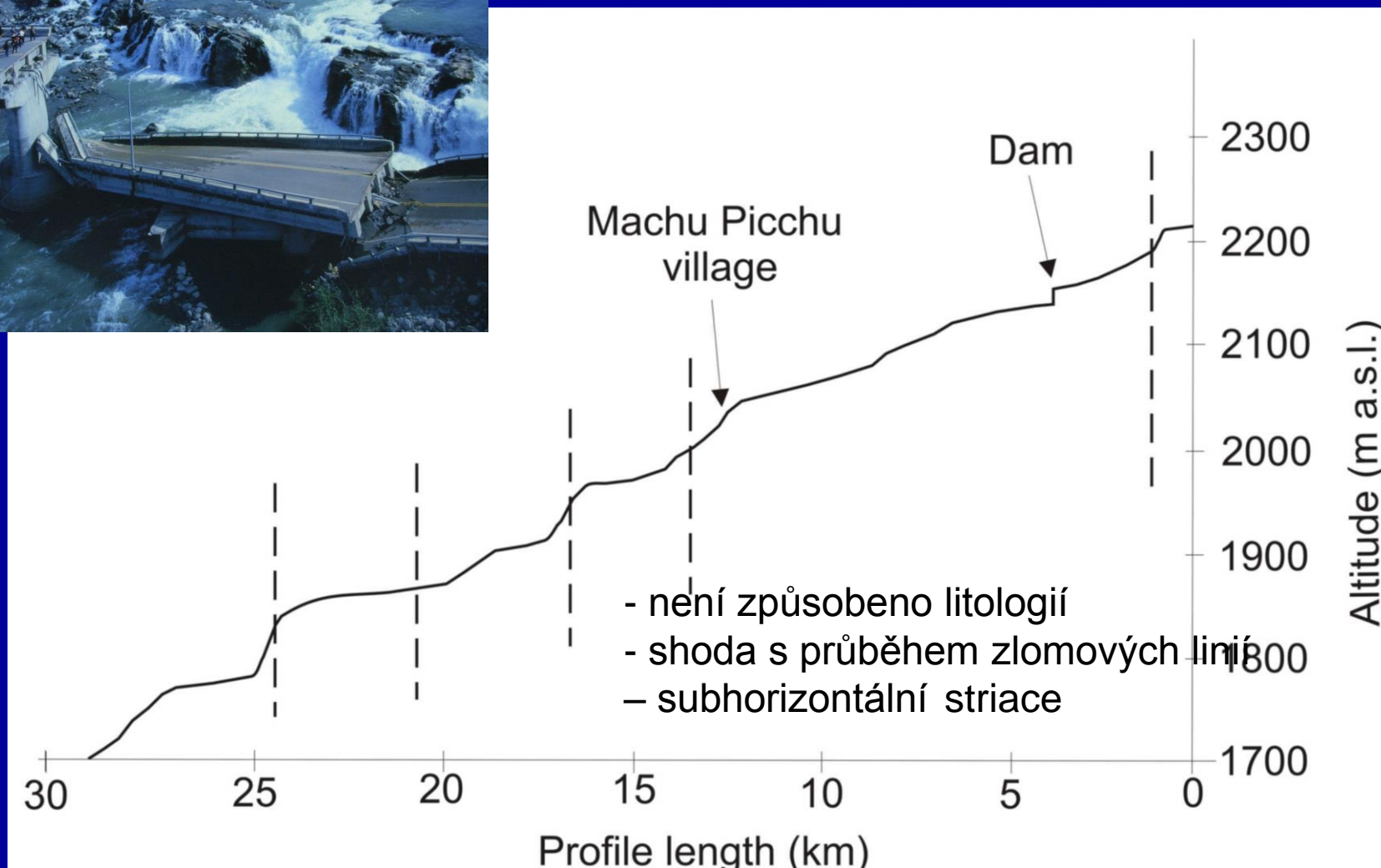
Odraz tektonických procesů v říčním systému

- ⇒ !! příčiny anomálií (**knickpoint**) na spádové křivce různého původu:
 - odolnější souvrství / hornina
 - zahlubování hlavního toku (až zavěšené údolí)
- ⇒
 - dosah zpětné eroze
 - tektonické pohyby
 - změna vodnosti (např. přítok)
 - změna množství unášeného materiálu (sesuv, břehová eroze)
 - antropogenní vlivy



Lom ve spádu litologicky podmíněný

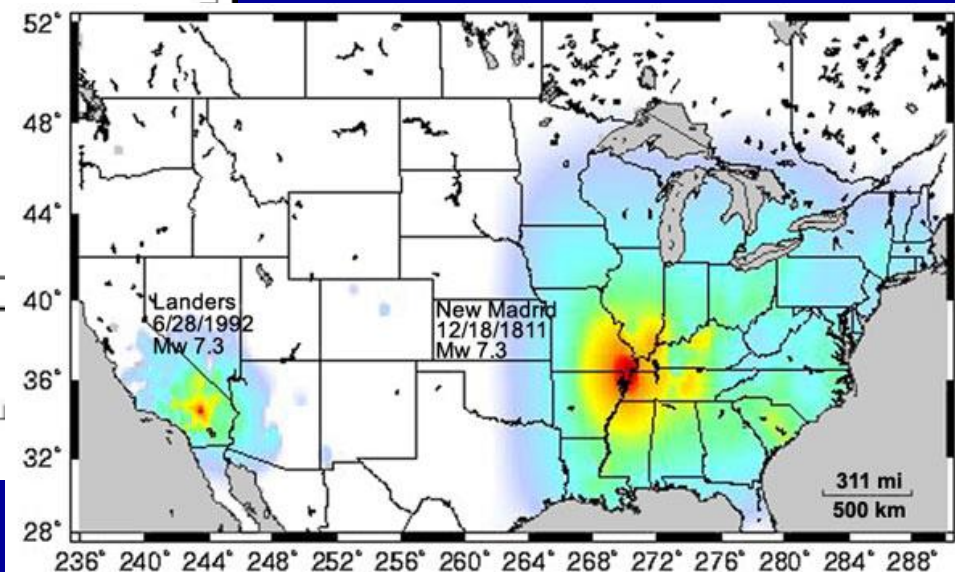
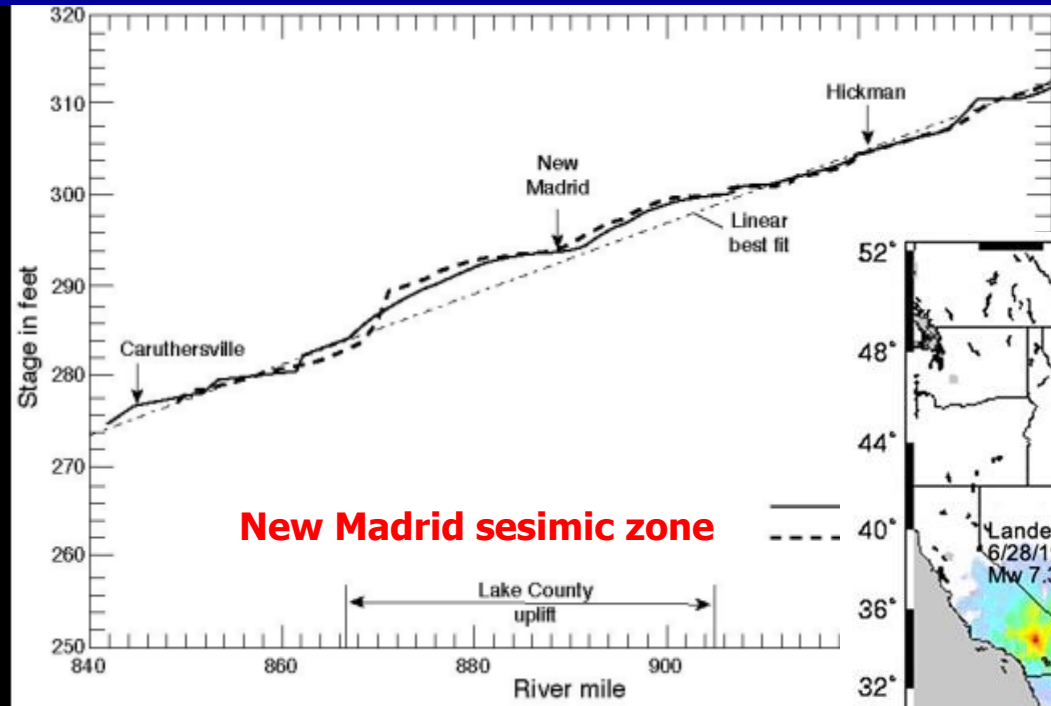
Odraz tektonických procesů v říčním systému



Anomálie tektonicky podmíněné

Odraz tektonických procesů v říčním systému

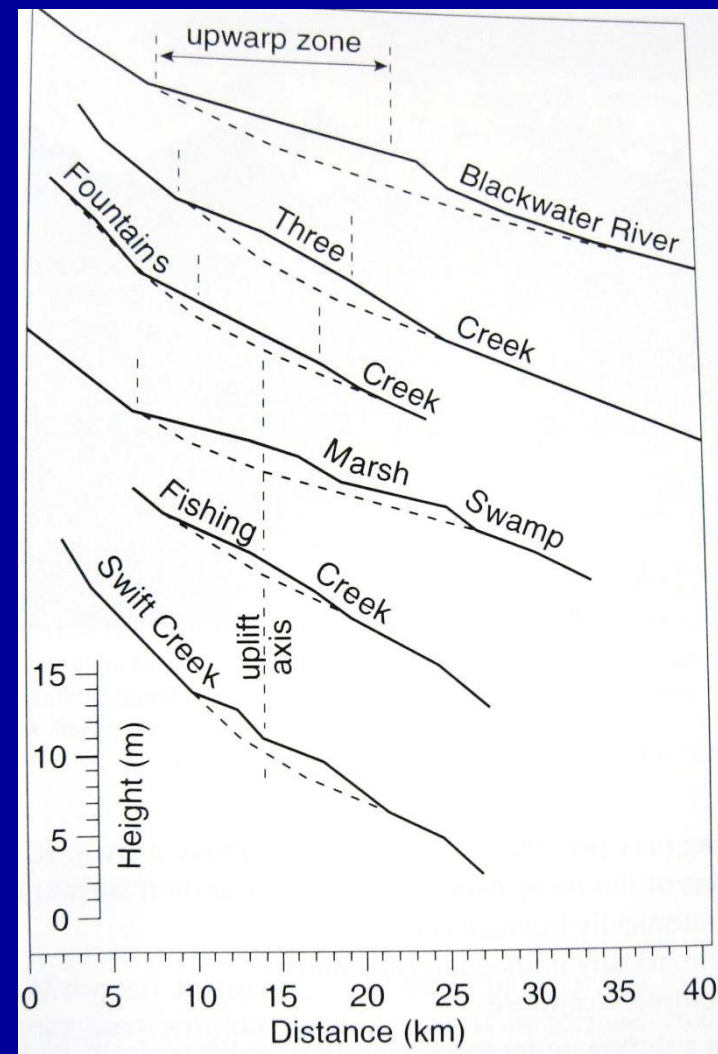
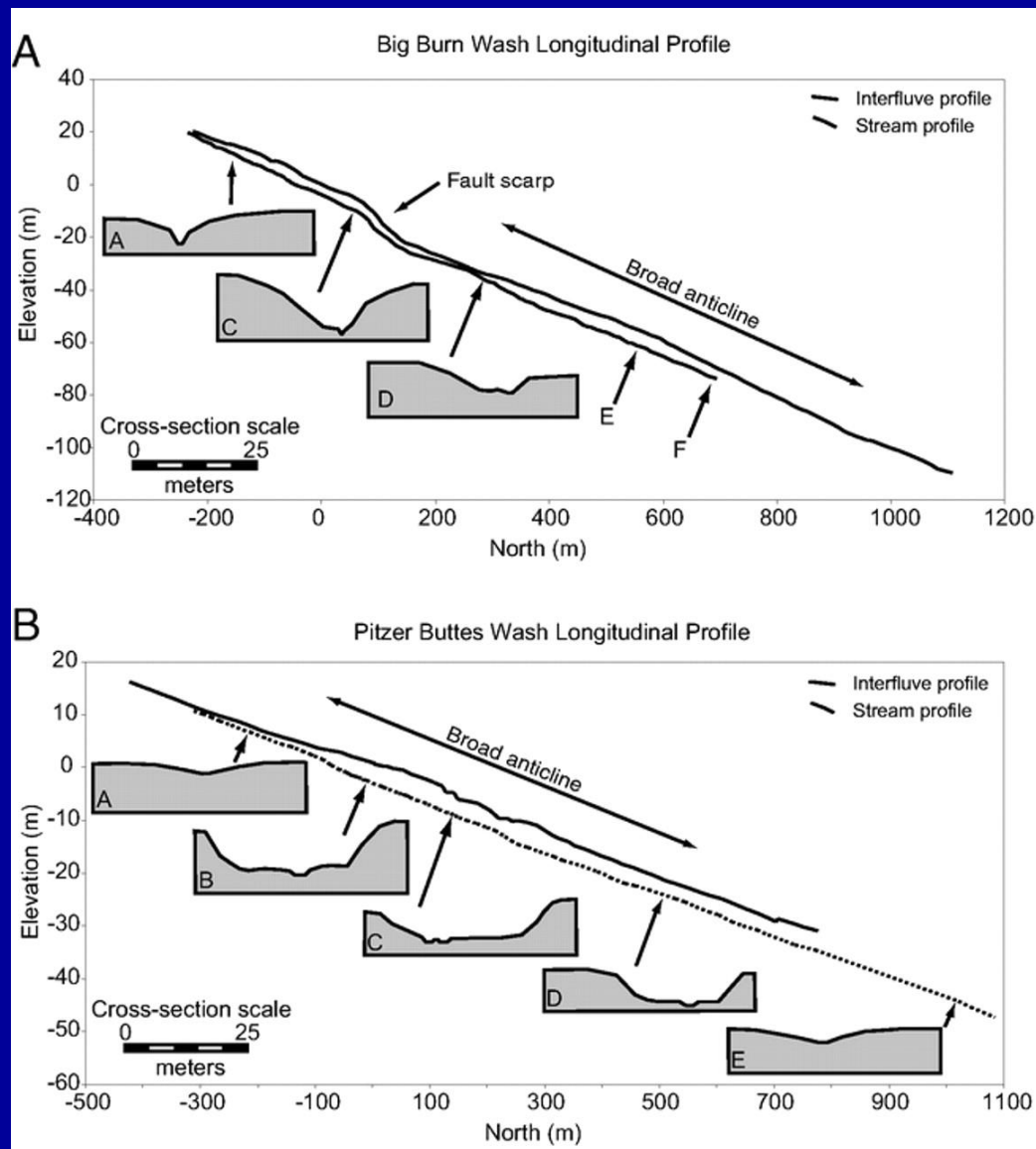
New Madrid 1811-1812 – během měsíce 4 velká zemětřesení $M = 7-8$
 Velké regionální změny v reliéfu – poklesy a výzdvihy území, trhliny, sesuvy...



Současný podélný profil – jako odpověď na výzdvih

PERCEIVED SHAKING	Not felt	Weak	Light	Moderate	Strong	Very strong	Severe	Violent	Extreme
POTENTIAL DAMAGE	None	None	None	Very light	Light	Moderate	Mod./Heavy	Heavy	Very Heavy
PEAK ACC.	<.17	.17-1.4	1.4-3.9	3.9-9.2	9.2-18	18-34	34-65	65-124	>124
PEAK VELOCITY	<0.1	0.1-1.1	1.1-3.4	3.4-8.1	8.1-16	16-31	31-60	60-116	>116
INSTRUMENTAL INTENSITY	I	II-III	IV	V	VI	VII	VIII	IX	X+

Odraz tektonických procesů v říčním systému



Série toků na US atlantickém pobřeží ukazující vyklenování

Odraz tektonických procesů v říčním systému



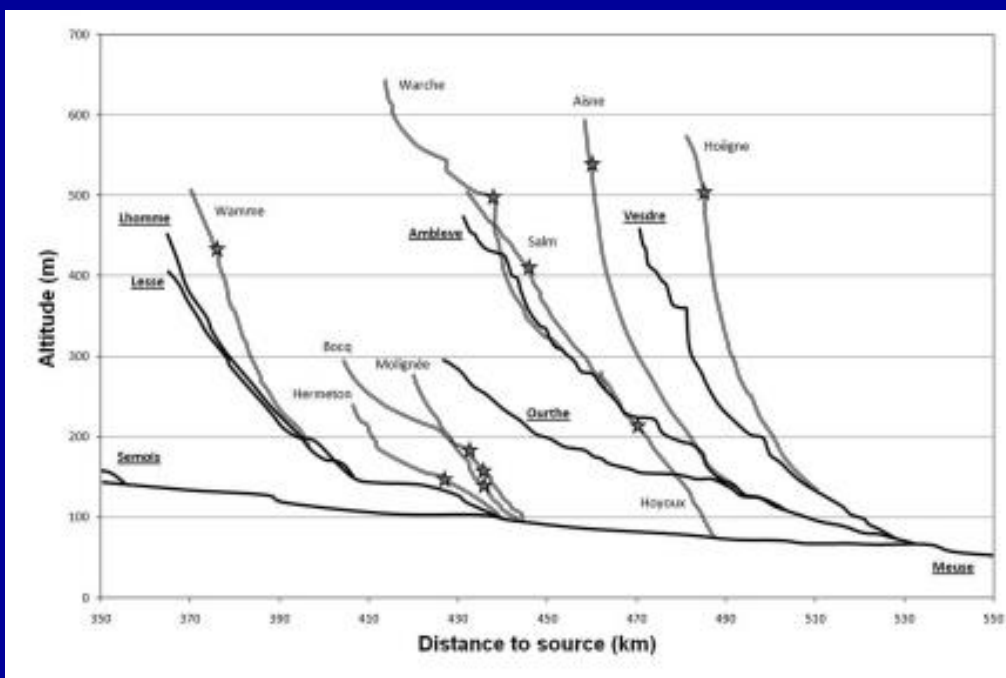
Tvar spádové křivky – odráží regionální tektoniku

Konvexita profilu

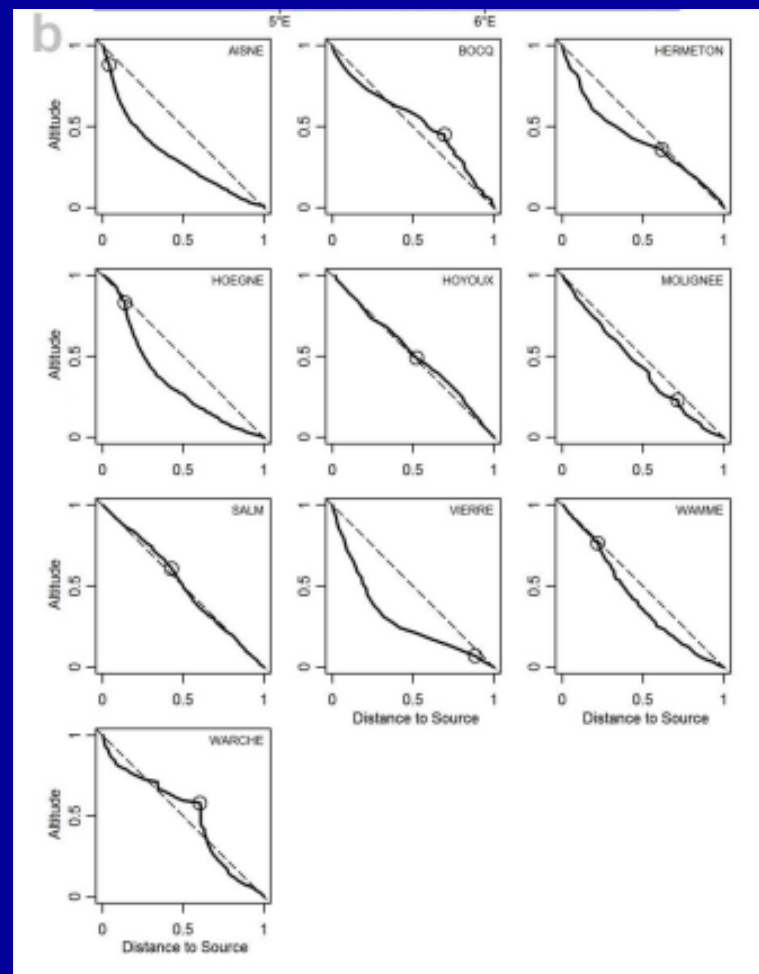


Řeky tektonicky neovlivňované mají konkávní profil

- odchylky: litologie říčního dna, odlišná rychlost výzdvihu



Index konkavity

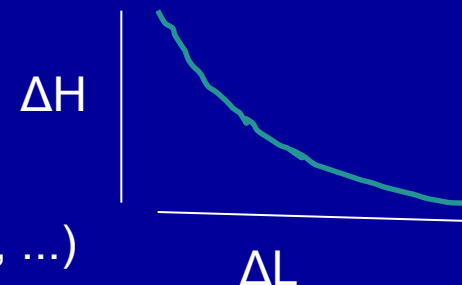


Normalizované podélné profily

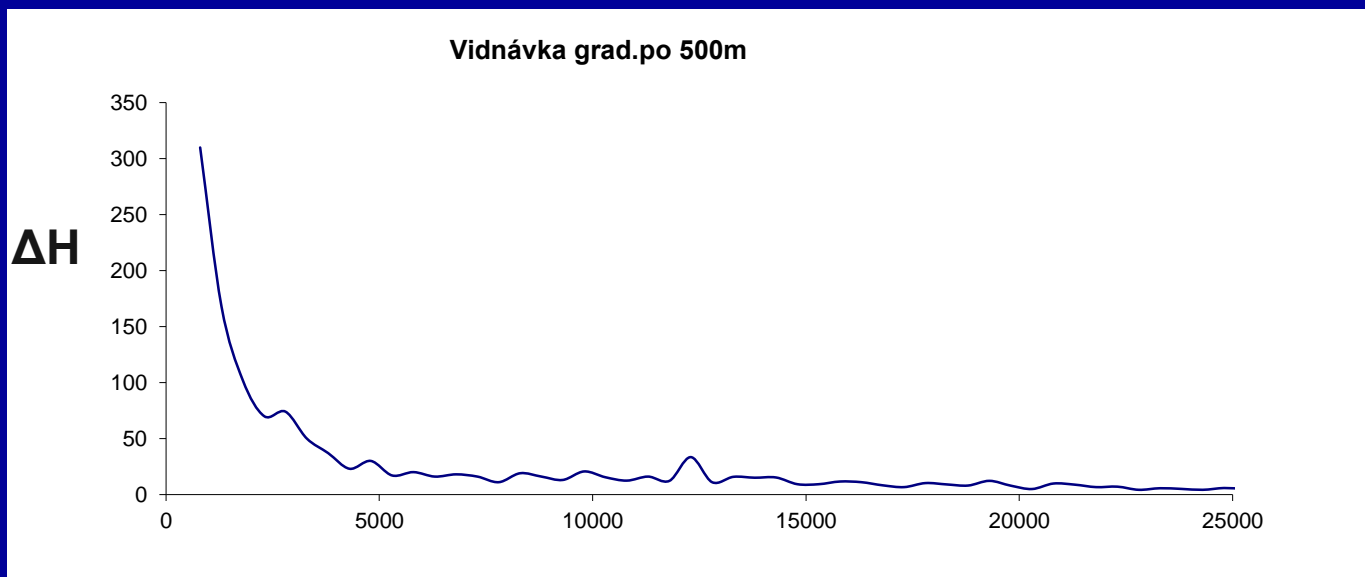
Odraz tektonických procesů v říčním systému

➤ Analýza toků – několik metod – sestavení podélného profilu, gradient, SL gradient, konvexita

➤ **Gradient** – m/km $= (\Delta H / \Delta L)$



ΔL ... délka úseku (zvoleno konstantně např. 100 m, 500m, ...)



vzdálenost od pramene

Odraz tektonických procesů v říčním systému

⇒ SL-index (stream-length gradient) (Hack (1973))

indikátor anomálií v podélném profilu

$$SL = (\Delta H / \Delta L) \cdot L$$

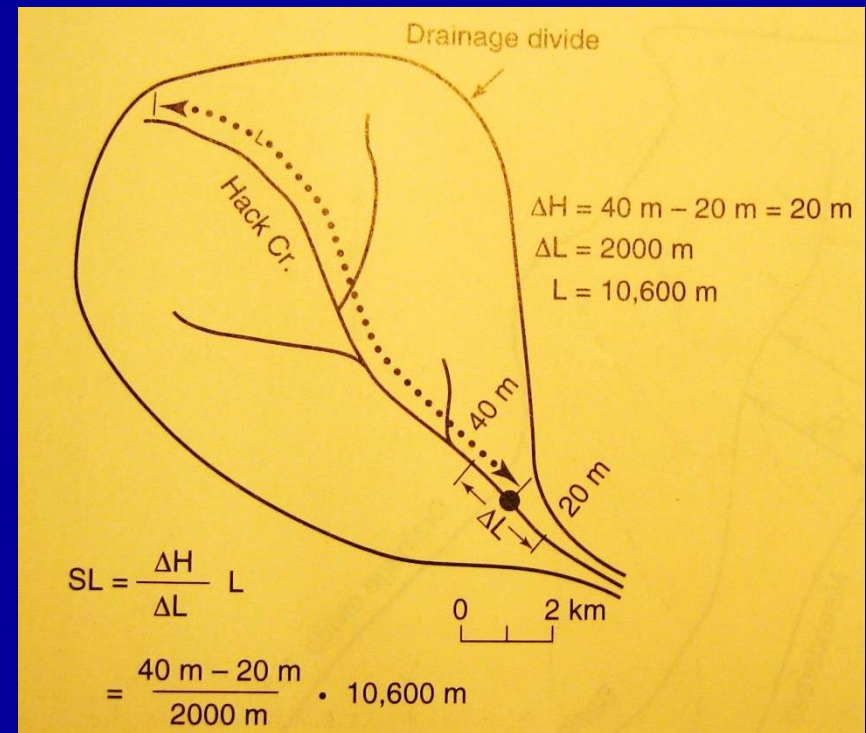
ΔH ... převýšení v rámci jednoho úseku,

ΔL ... délka úseku (zvoleno konstantně např. 100 m)

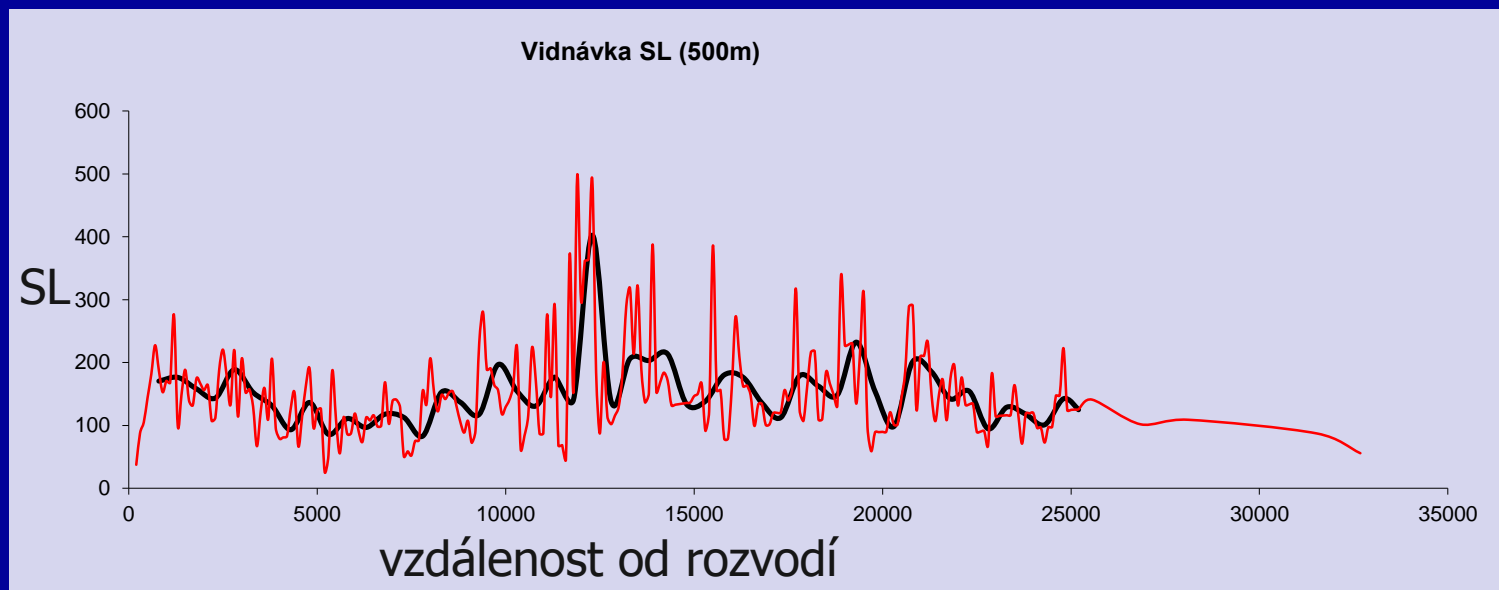
L ... vzdálenost středu úseku od rozvodí

Existuje vztah mezi průtokem, plochou povodí a délkou toku.

Dál od pramene – menší gradient, větší průtok – u SL – zohledněna vzdálenost od pramene



Odraz tektonických procesů v říčním systému



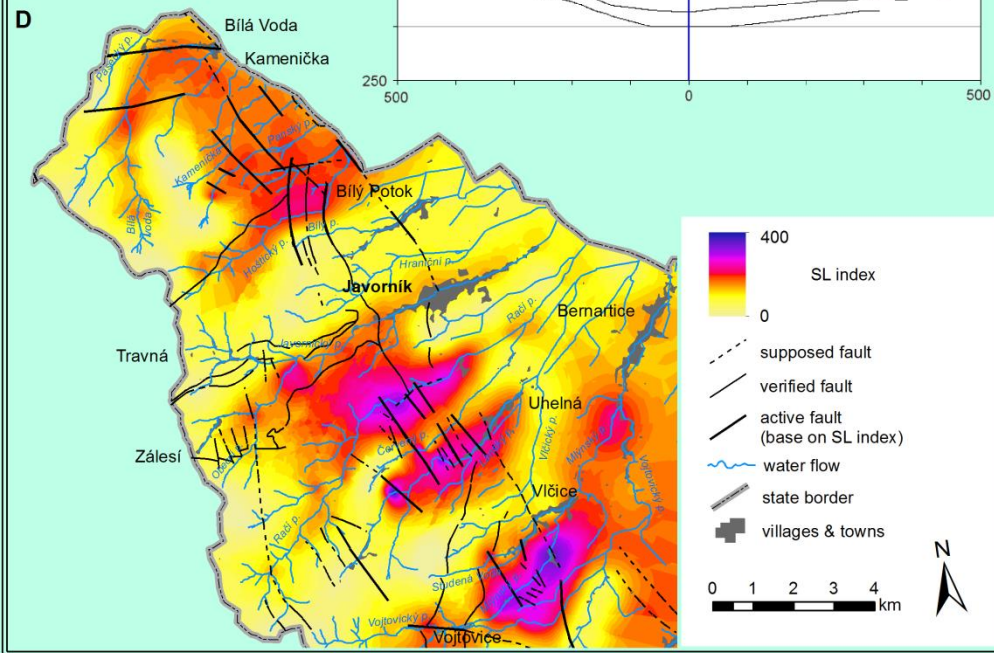
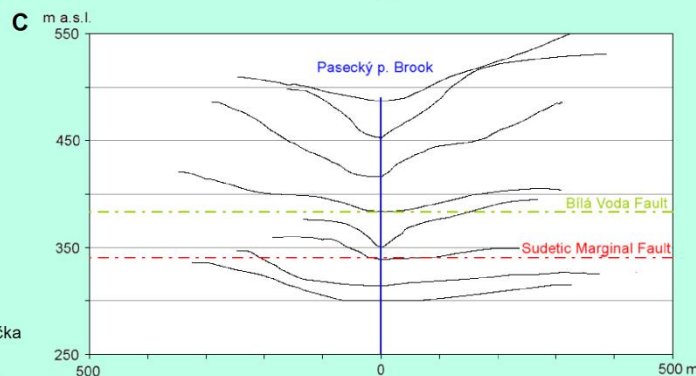
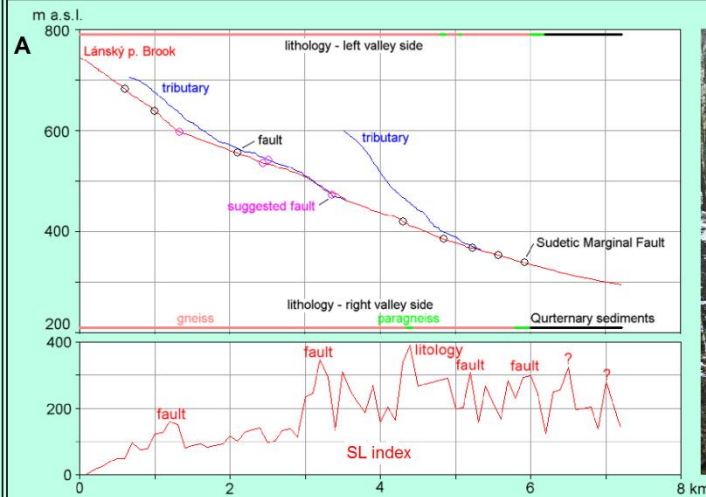
U řek s vyrovnanou spádovou křivkou SL index podél toku téměř konstatní



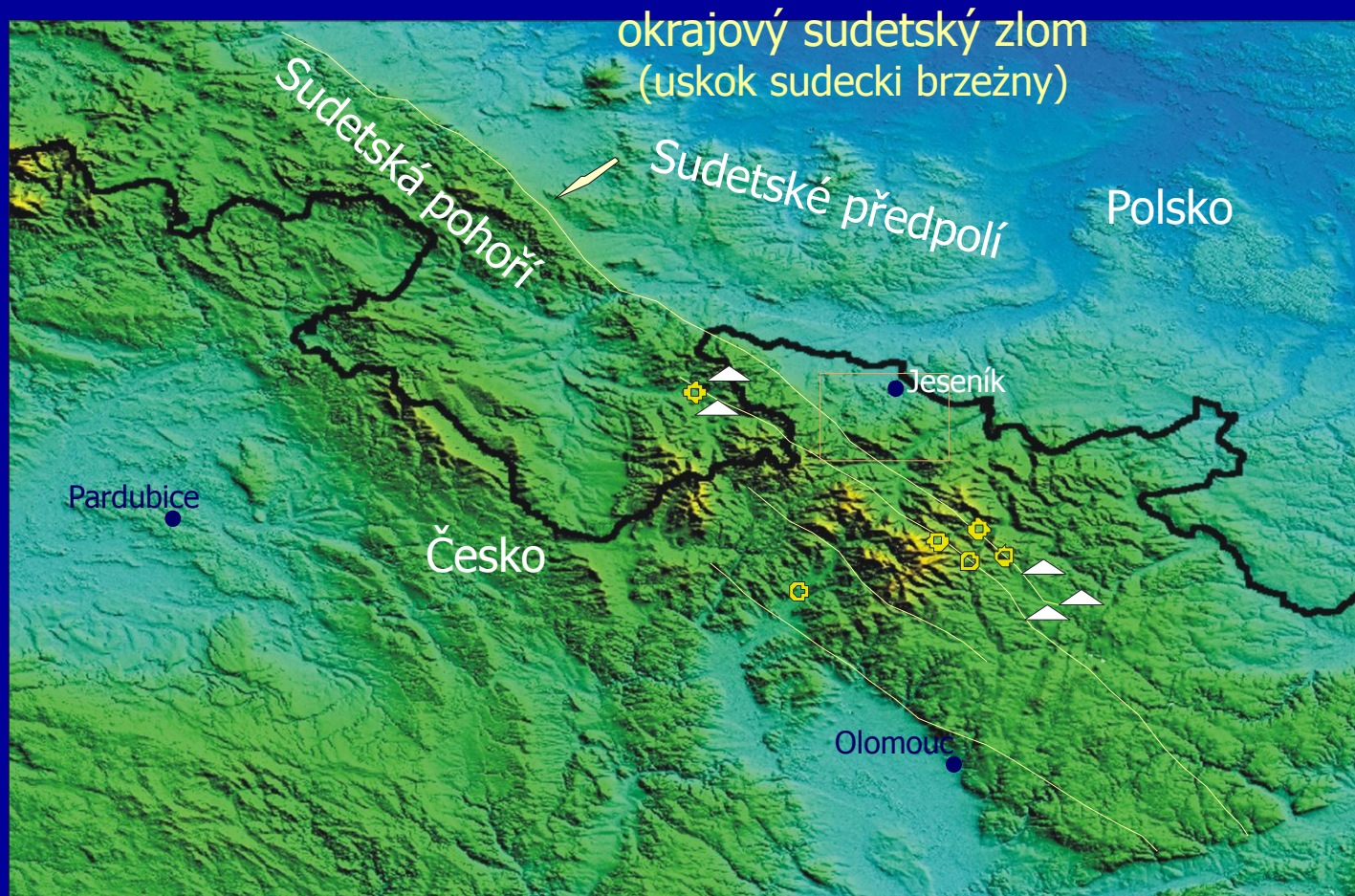
Změny v hodnotách mohou odrážet:

- litologický přechod
- tektonickou aktivitu
- lokální změny - dosah zpětné eroze,
 - soutok podobně vodných toků
 - antropogenní ovlivnění

Citlivost SL indexu na změny ve spádu toku umožňují hodnotit vztah mezi tektonickou aktivitou, odolností podloží a topografií



Odraz tektonických procesů v říčním systému

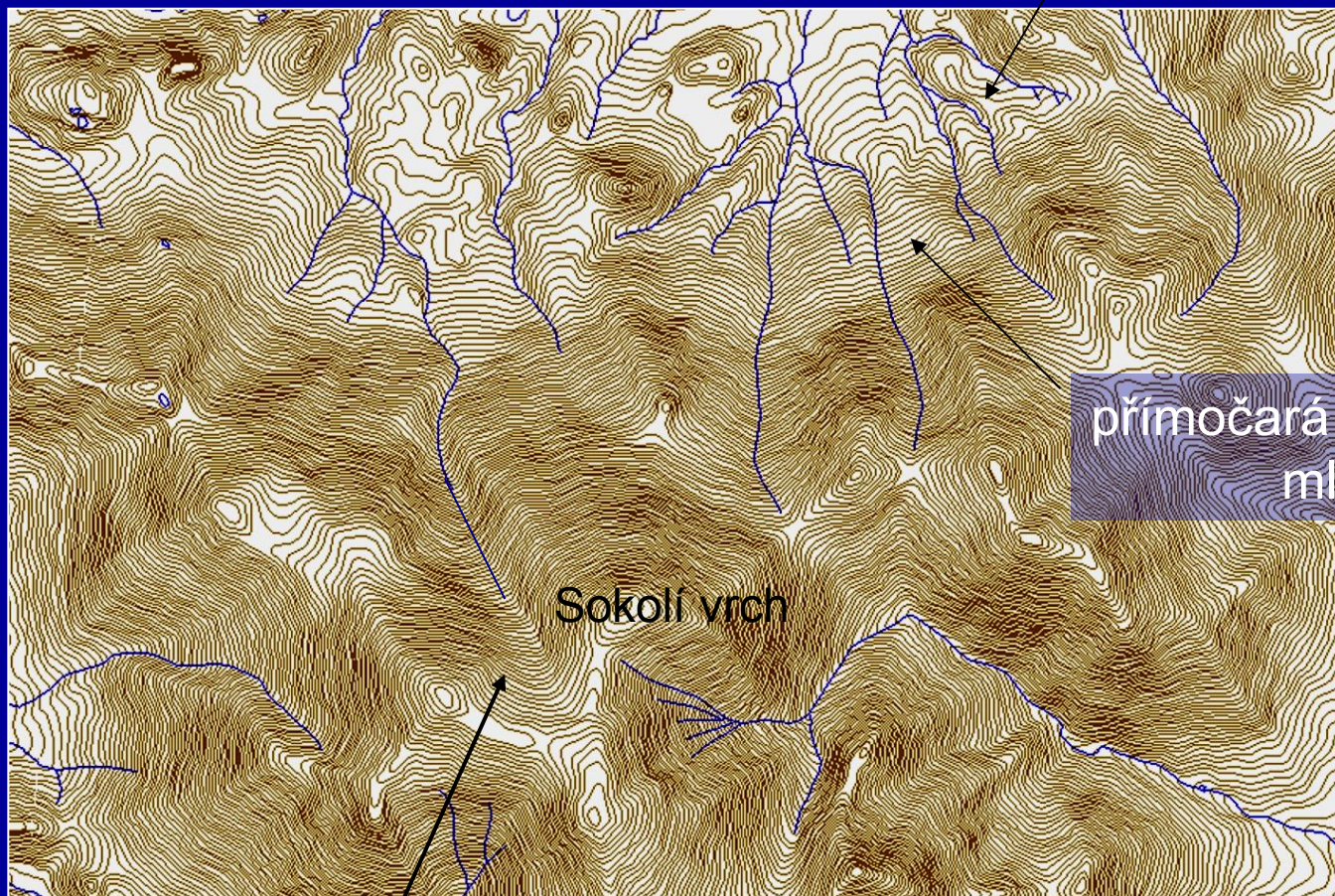


- ▲ neogenní – kvartérní vulkanismus
- minerální prameny s CO₂

Odraz tektonických procesů v říčním systému

➤ analýza údolních tvarů v Sokolském hřbetu

rozčleněné úpatí



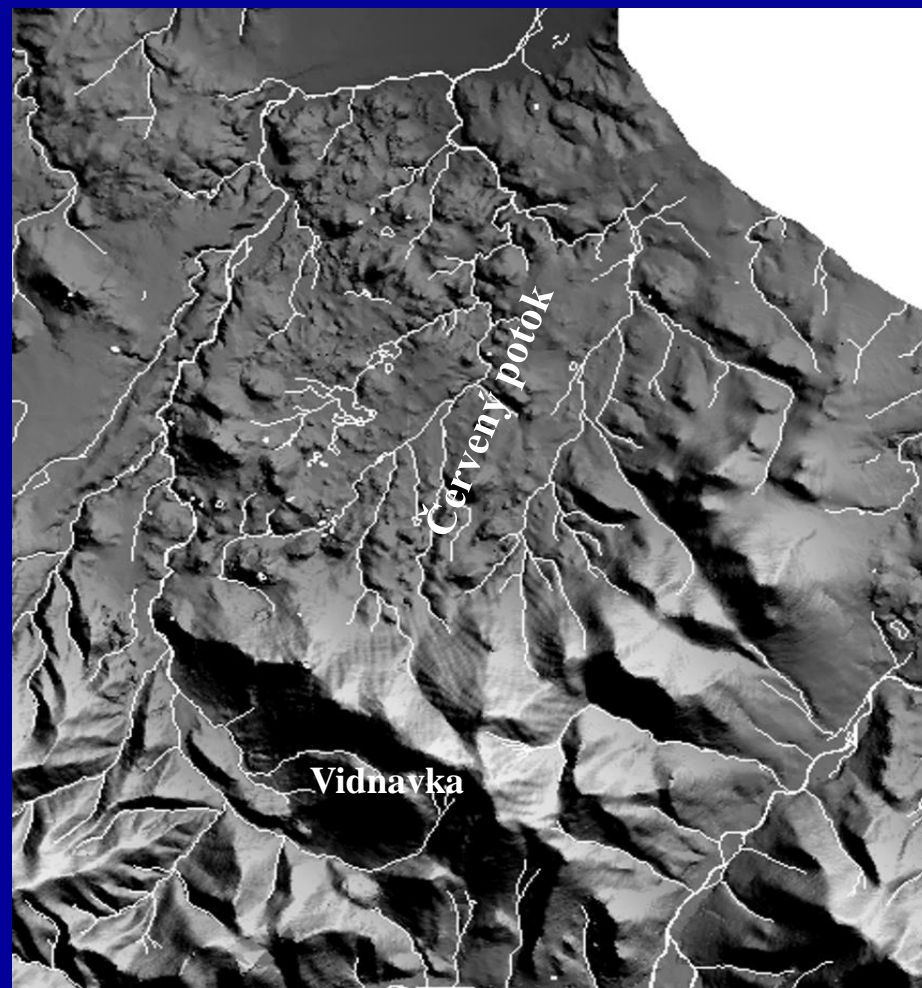
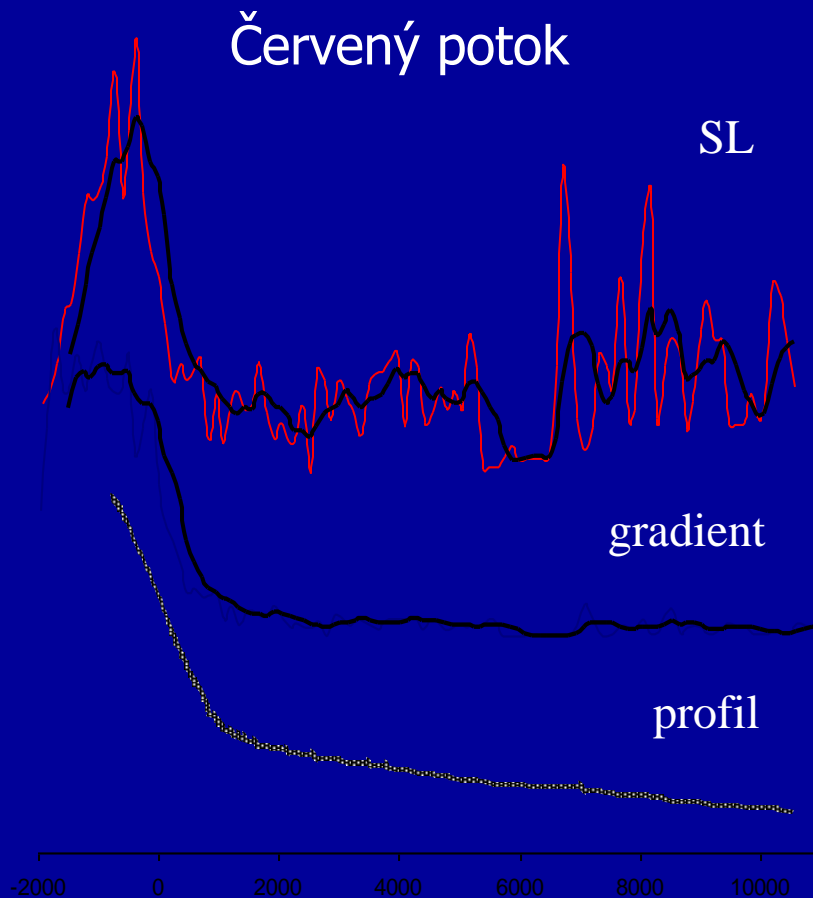
přímočará část svahu –
mladší fáze výzdvihu

Hlubší údolí
– vázána na zlomy

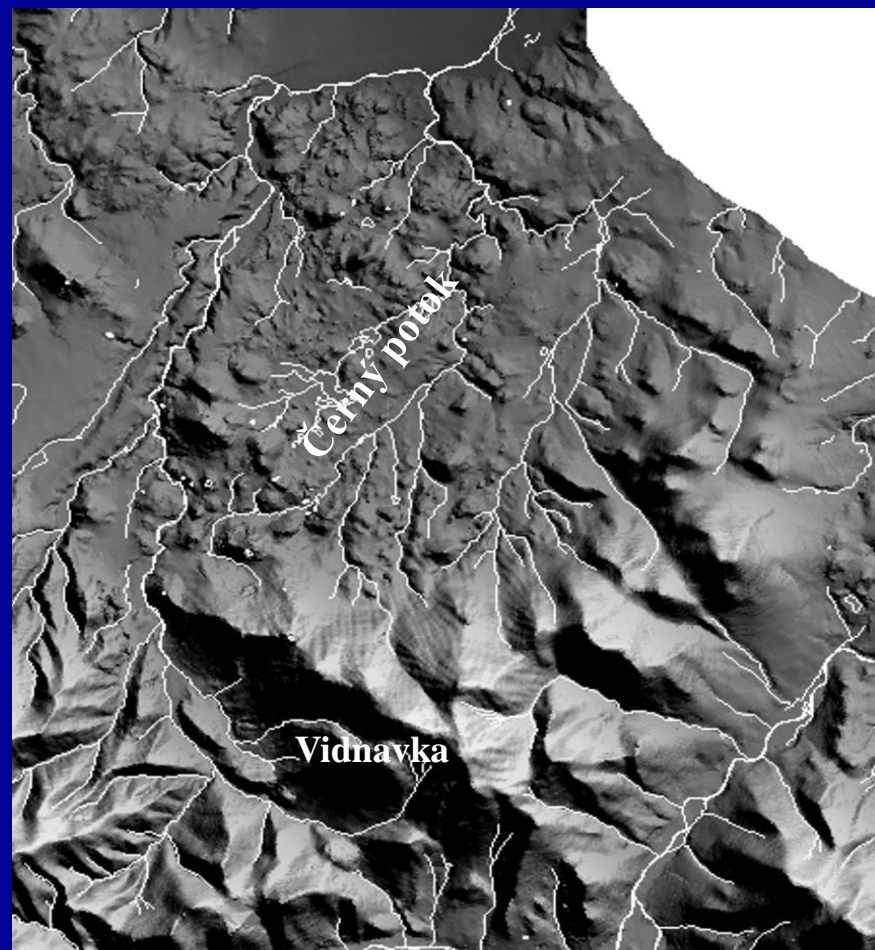
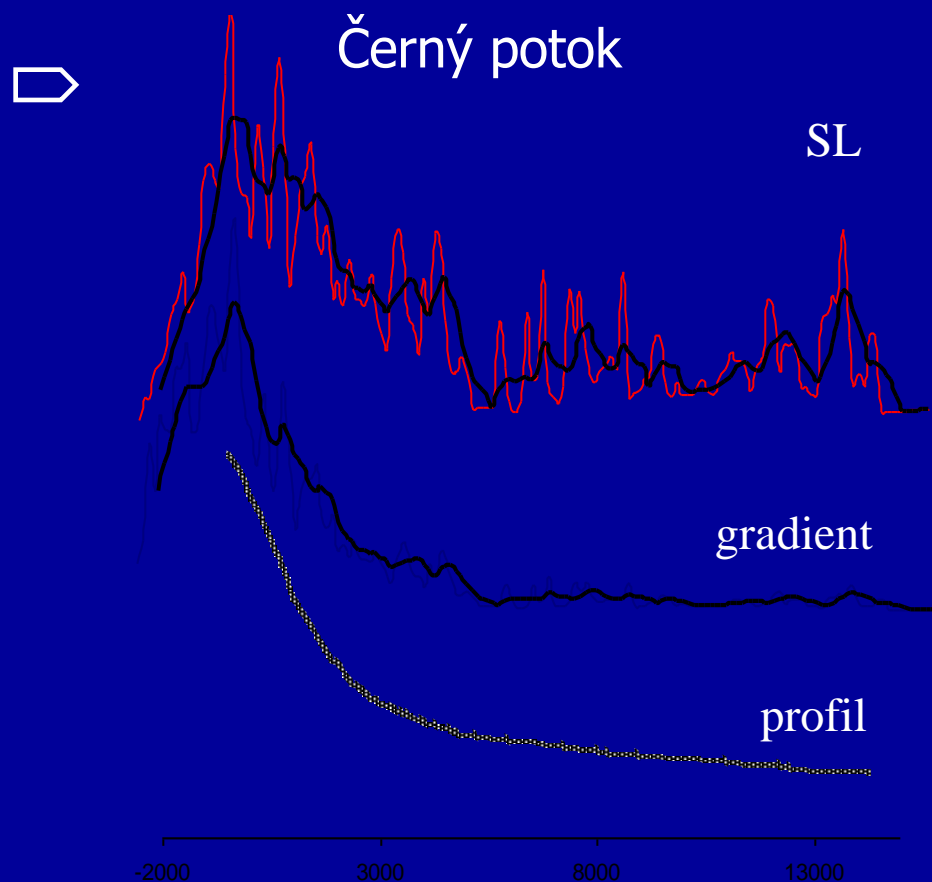
široké závěry údolí – starší fáze vývoje údolí

Odraz tektonických procesů v říčním systému

⇒ podélné profily toků, spádové křivky, SL index



Odraz tektonických procesů v říčním systému

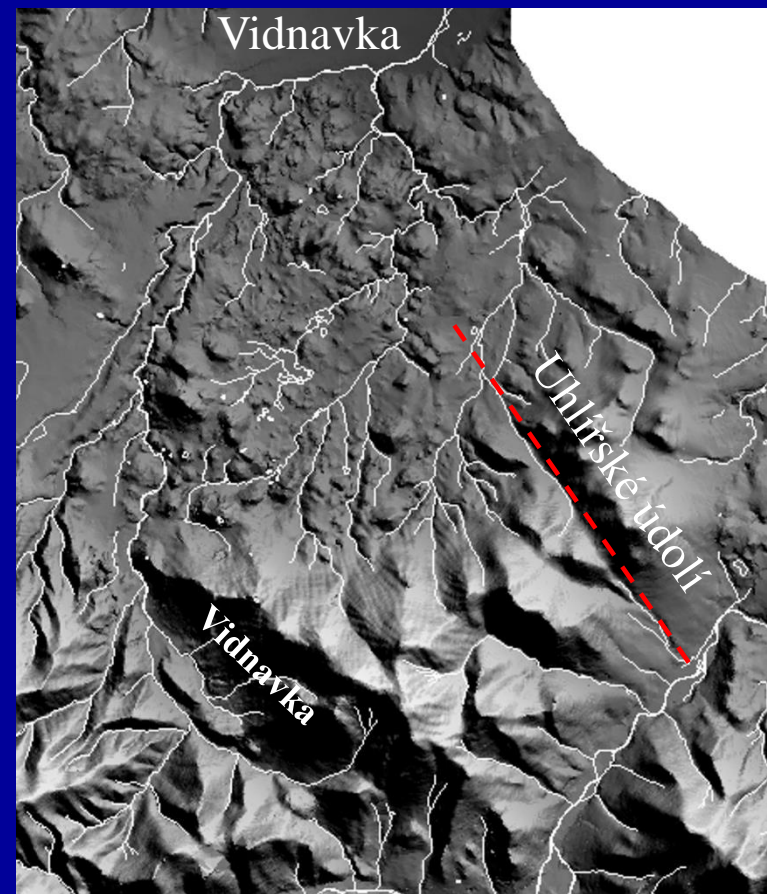
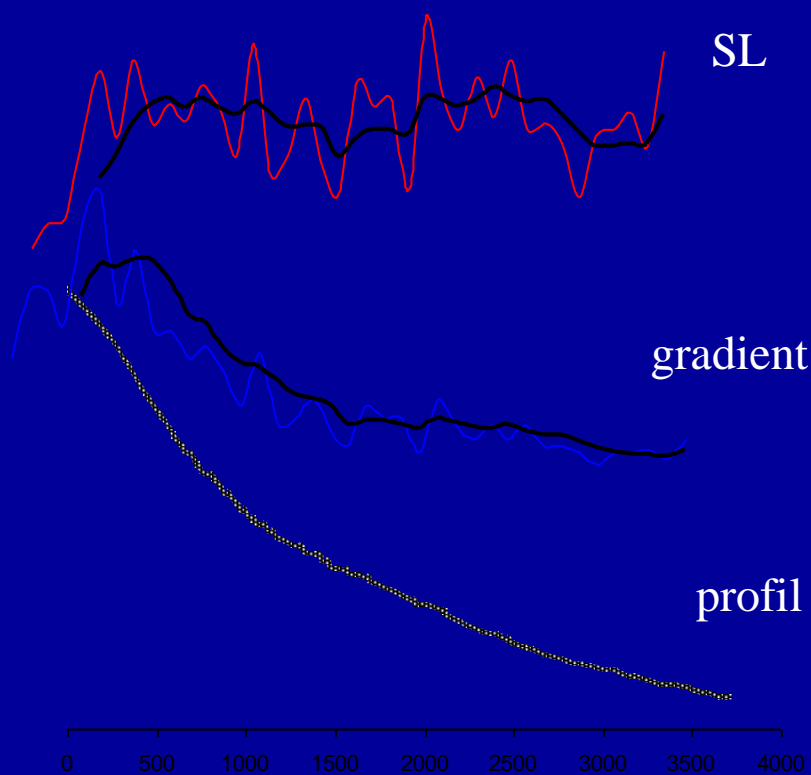


Odraz tektonických procesů v říčním systému



x výjimka

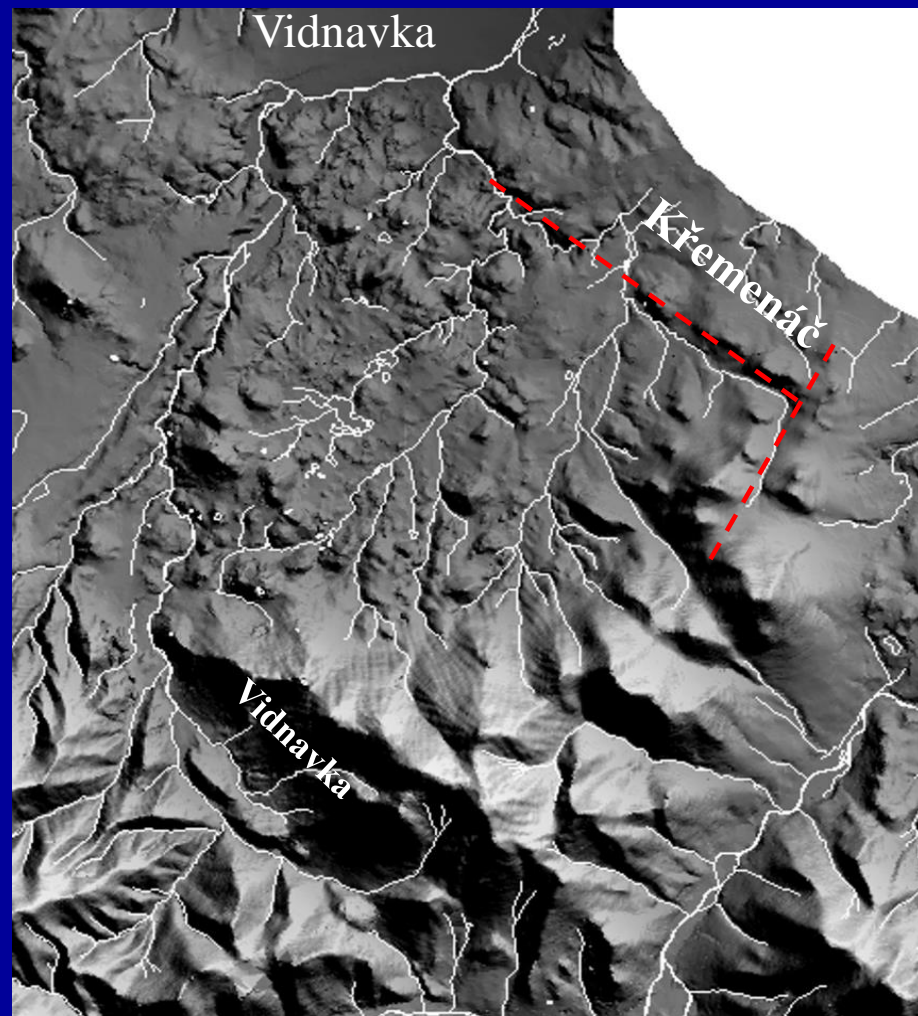
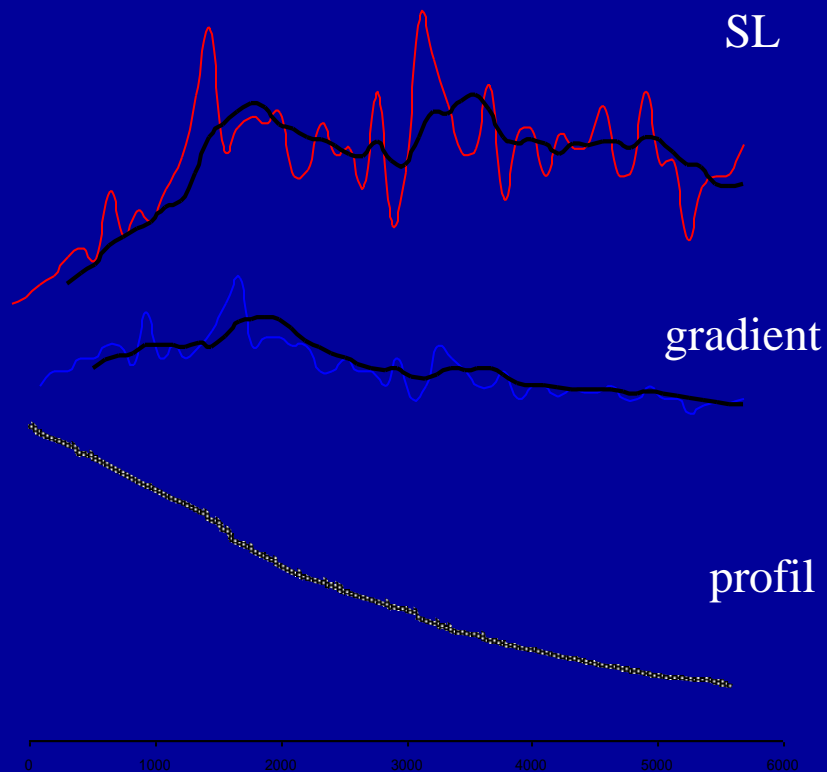
Uhlířské údolí



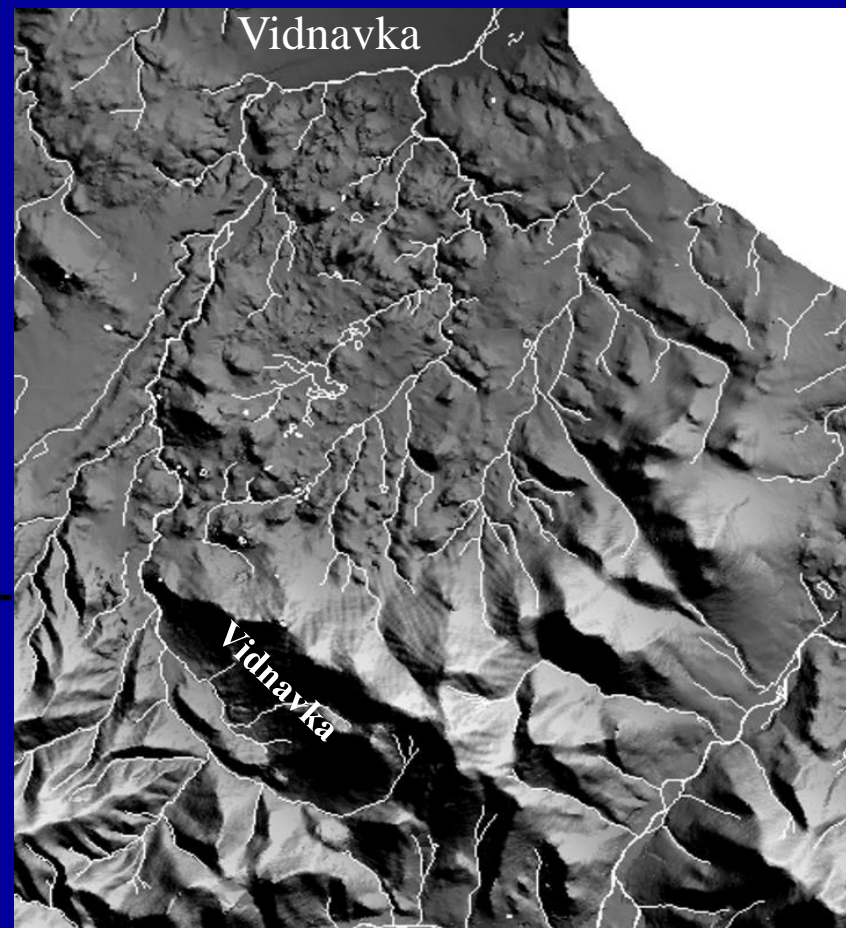
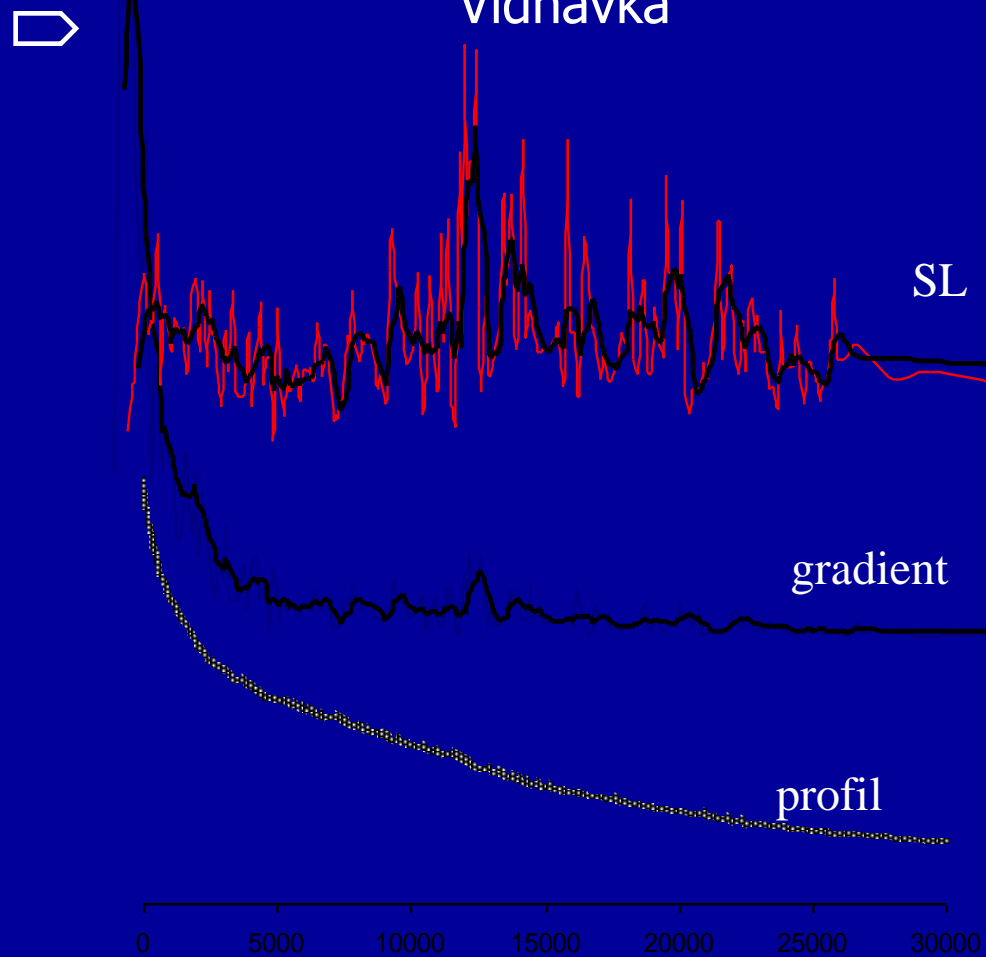
Odraz tektonických procesů v říčním systému



Křemenáč

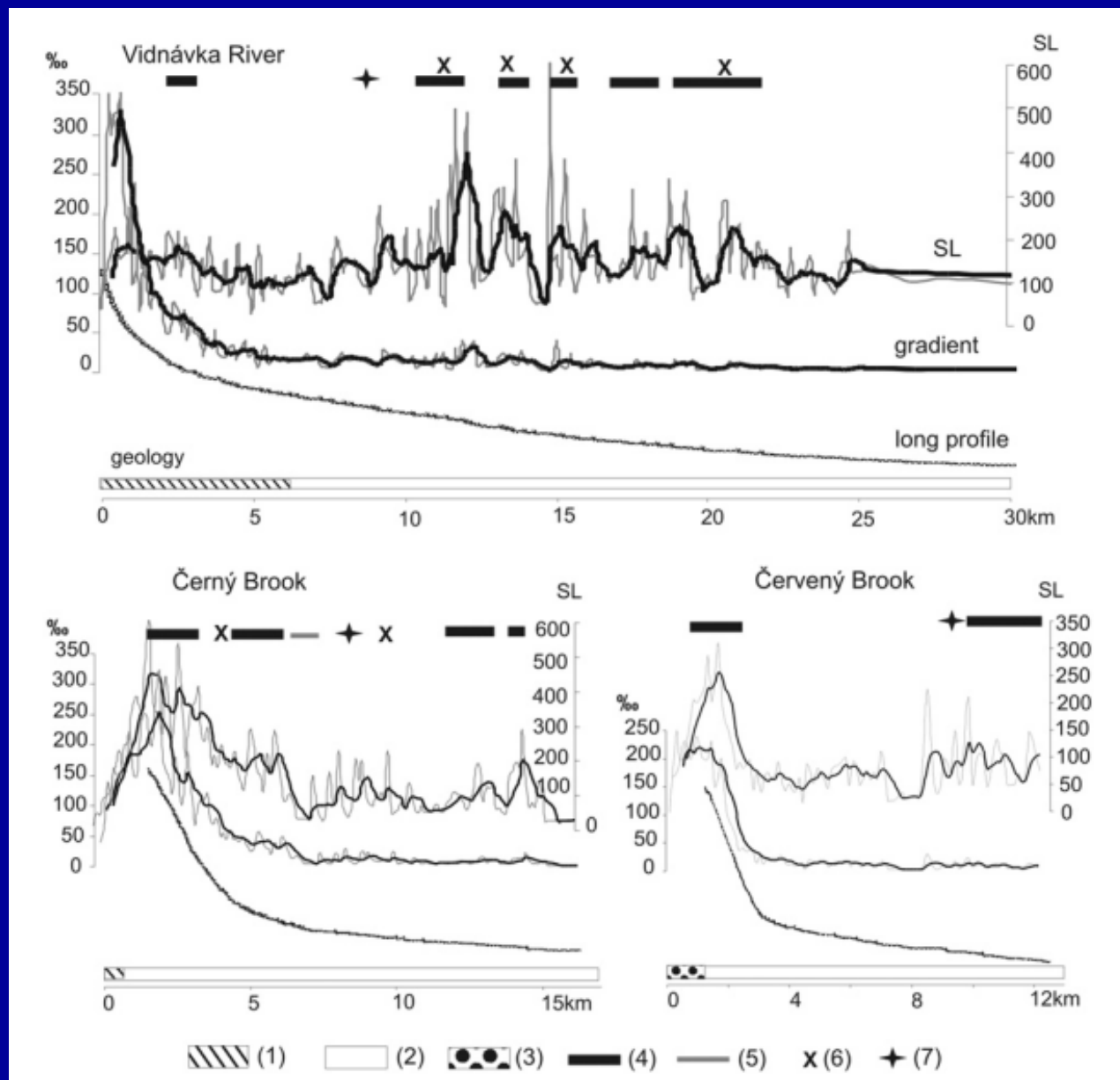


Odraz tektonických procesů v říčním systému



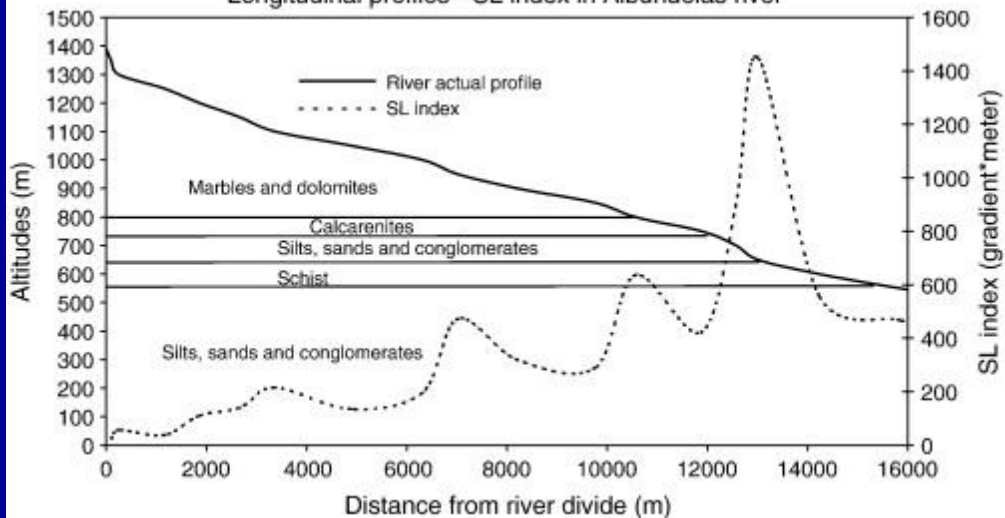
Odraz tektonických procesů v říčním systému

- (1) — metamorphic rocks (gneisses, marbles, phyllites, amphibolites),
- (2) — granitoids,
- (3) — segment of stream flowing along the lithological boundary;
- (4) — stream follows a morpholineament/fault,
- (5) — river crosses a morpholineament/fault,
- (6) — beginning of the deepened valley,
- (7) — river flows into the planation surface (etchplain).

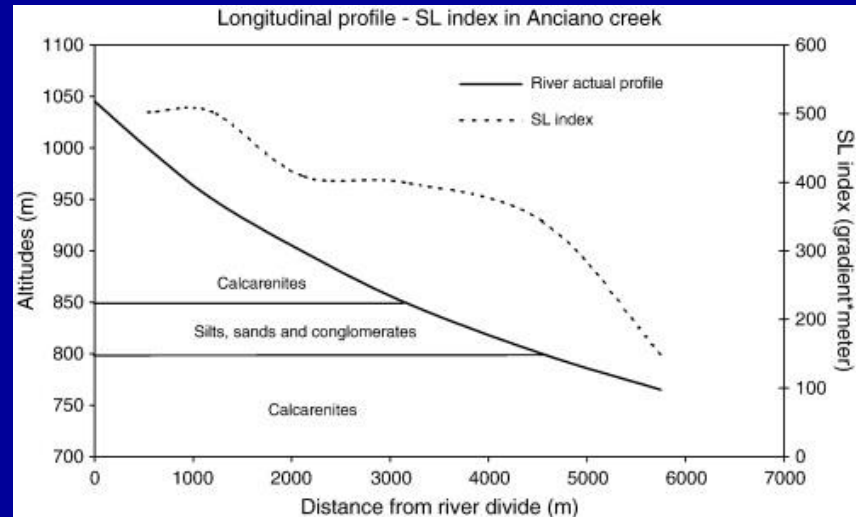


Odraz tektonických procesů v říčním systému

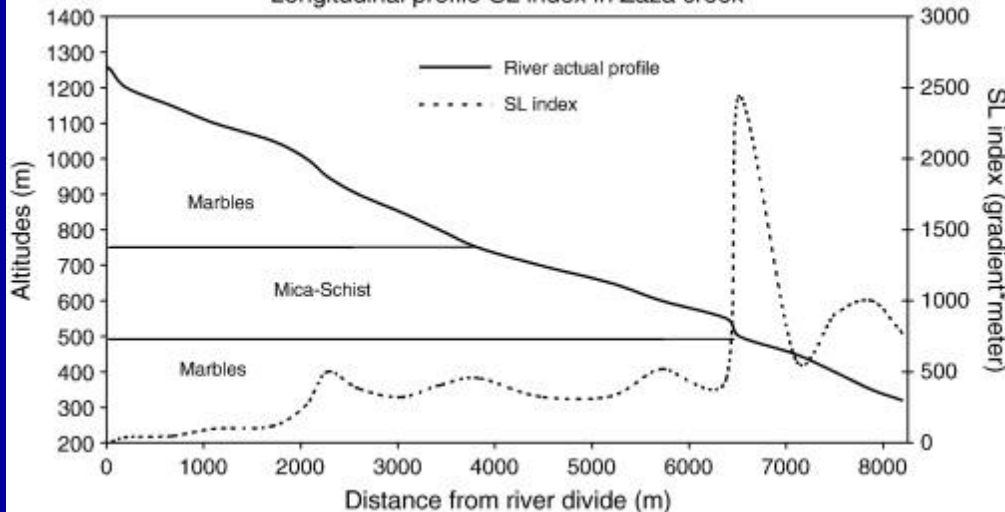
Longitudinal profiles - SL index in Albuñuelas river



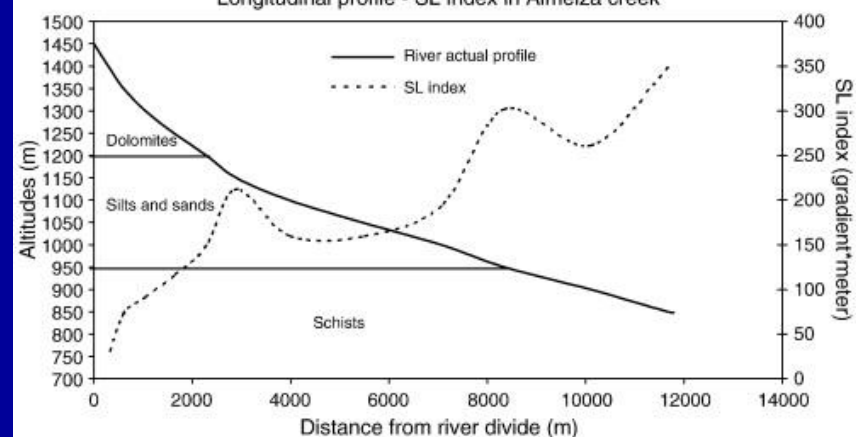
Longitudinal profile - SL index in Anciano creek



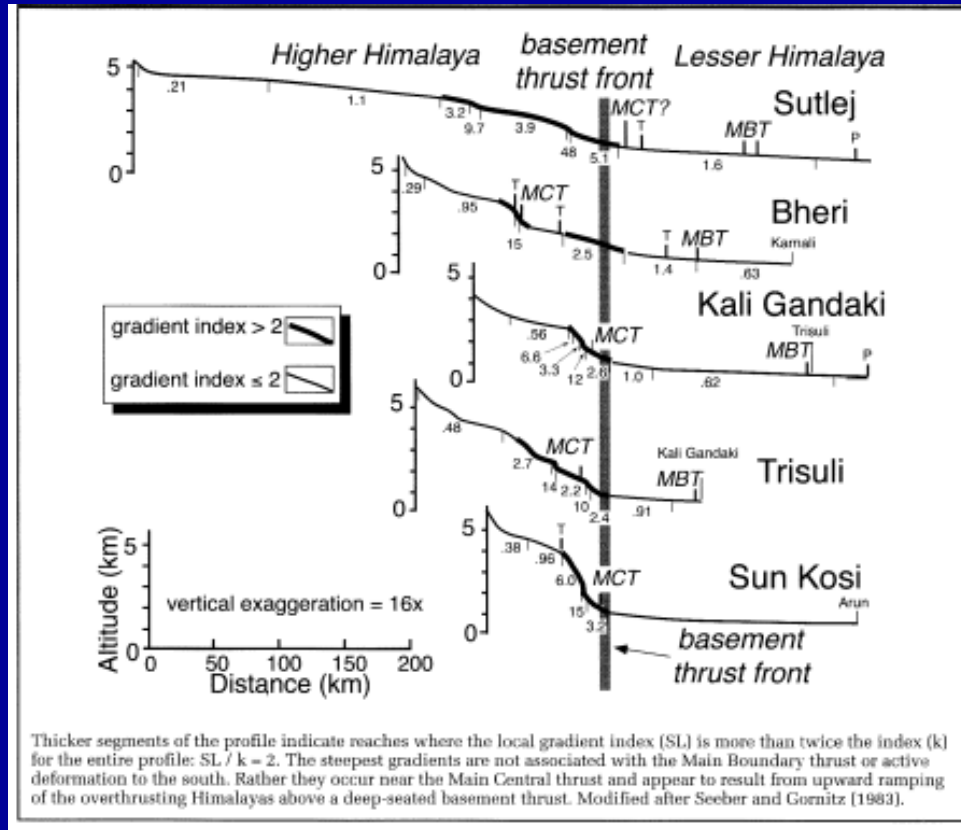
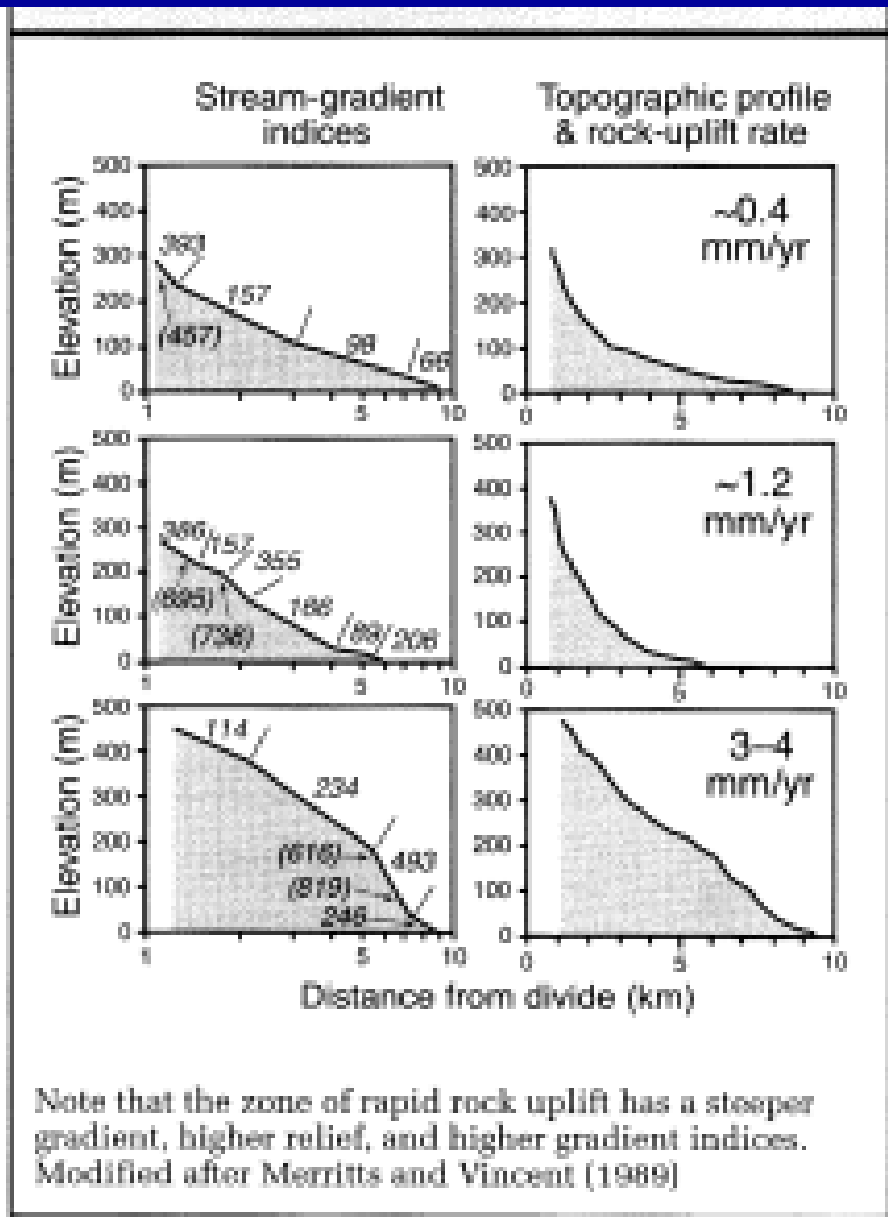
Longitudinal profile-SL index in Zaza creek



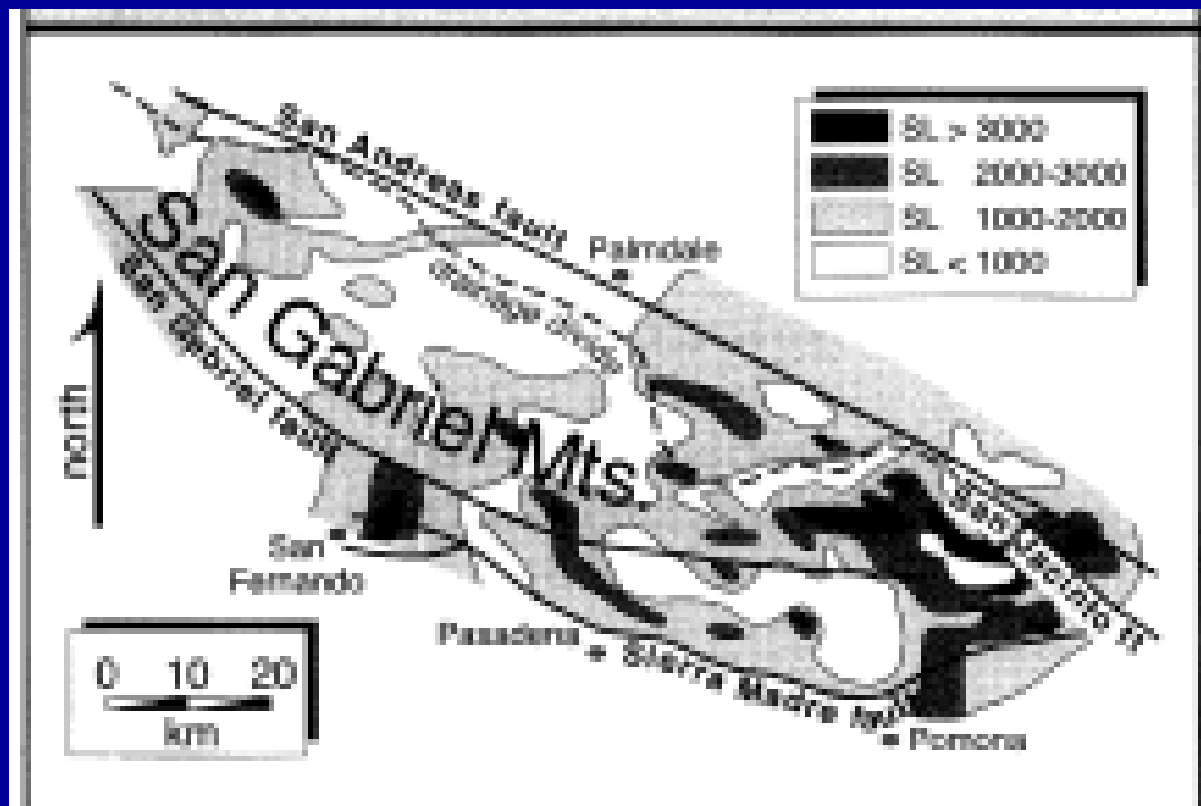
Longitudinal profile - SL index in Almeiza creek



Odraz tektonických procesů v říčním systému



Odraz tektonických procesů v říčním systému



Interpolace SL – indexů

- místa se známým výzdvihem

+ poukazuje na místa pro další podrobnější výzkum

Odras tektonických procesů v říčním systému

- ⇒ Příčné profily toků
- ⇒ Anomálie v podélných profilech => změny v příčných údolních profilech
- ⇒ sklonová asymetrie údolních svahů – litologicky,
 - klimaticky (různá velikost denudace na různě orientovaných svazích)
- ⇒ výšková asymetrie údolních svahů – litologicky, tektonicky, celkovým vývojem lokality
- ⇒ Typy údolí – různé erozní fáze, intenzita eroze –
 - podmíněna - tektonickou aktivitou
 - strukturně litologickými podmínkami,
 - spádovými a hydrologickými poměry

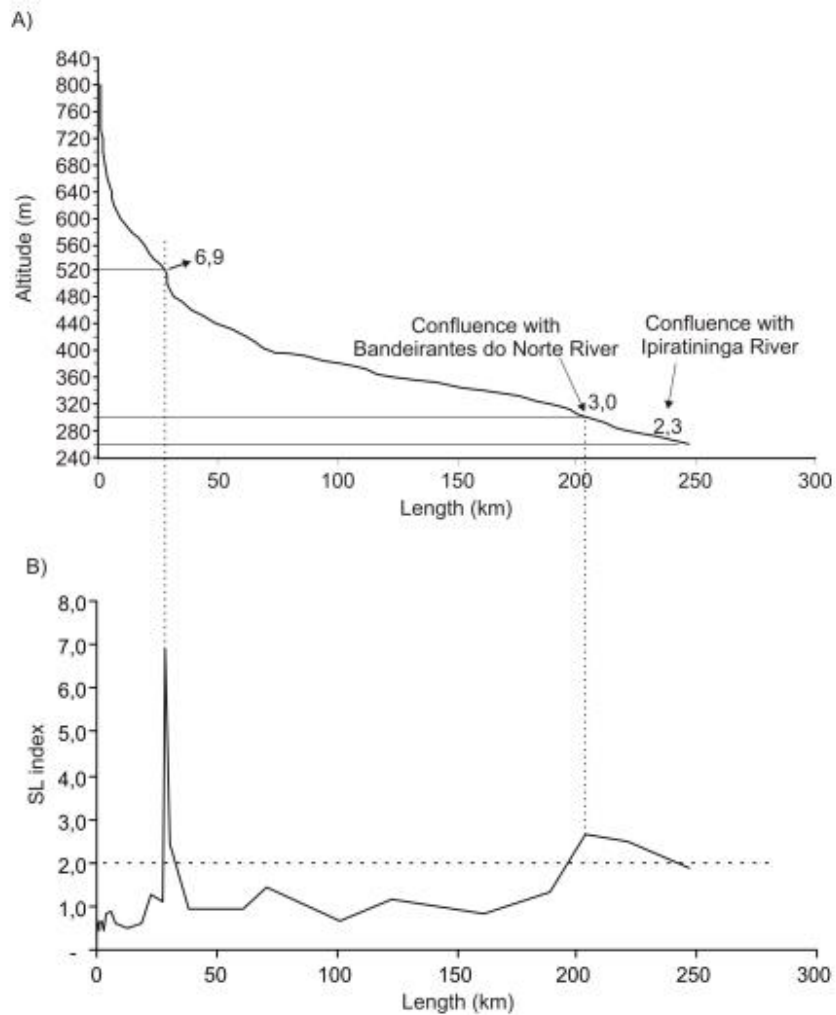


FIGURE 4. Longitudinal profile (A) and SL index of the Pirapó River (B).

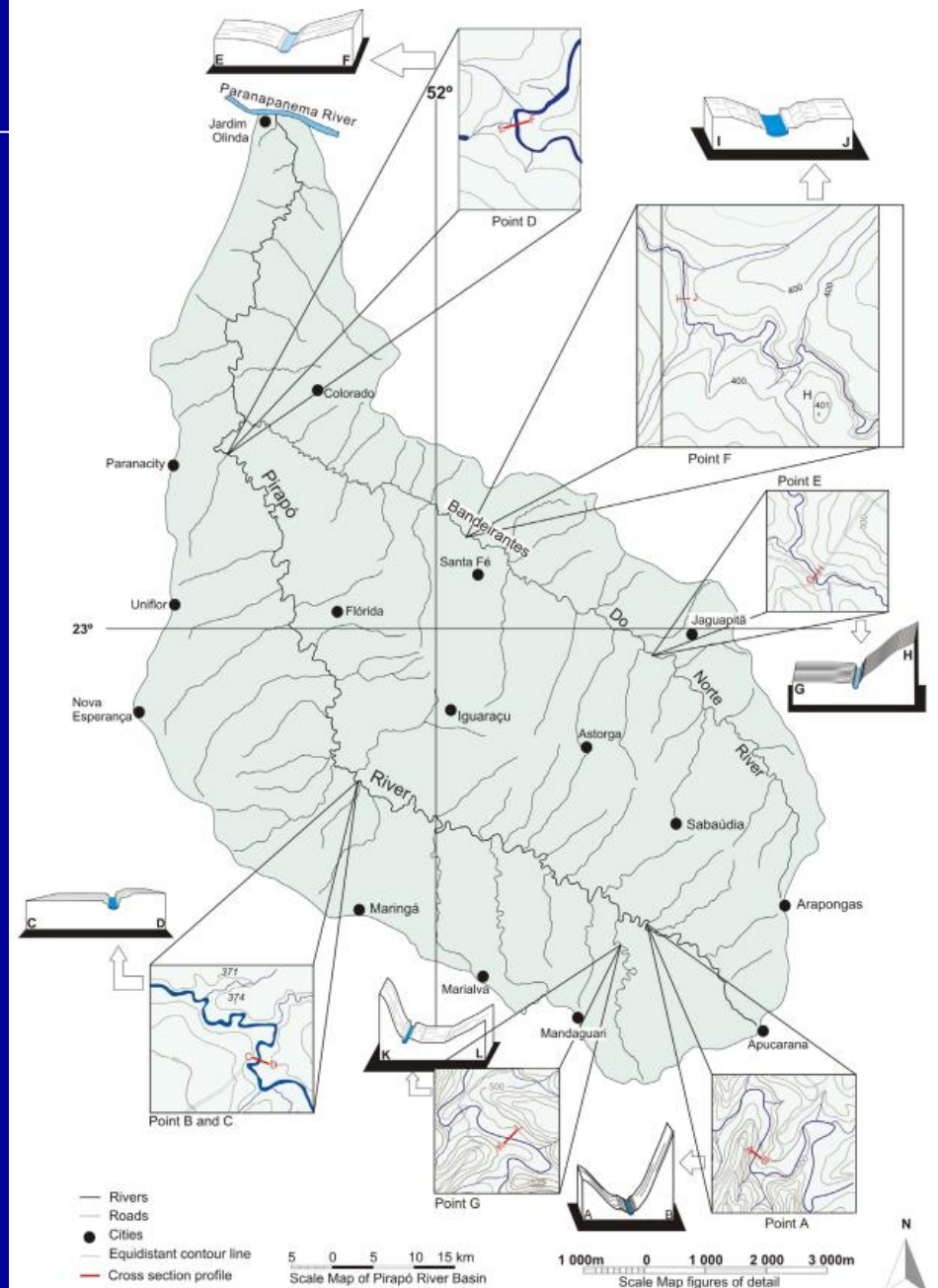
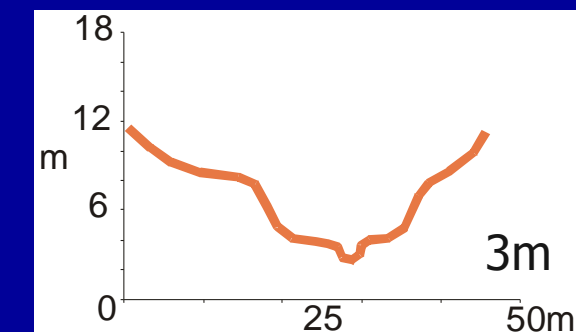
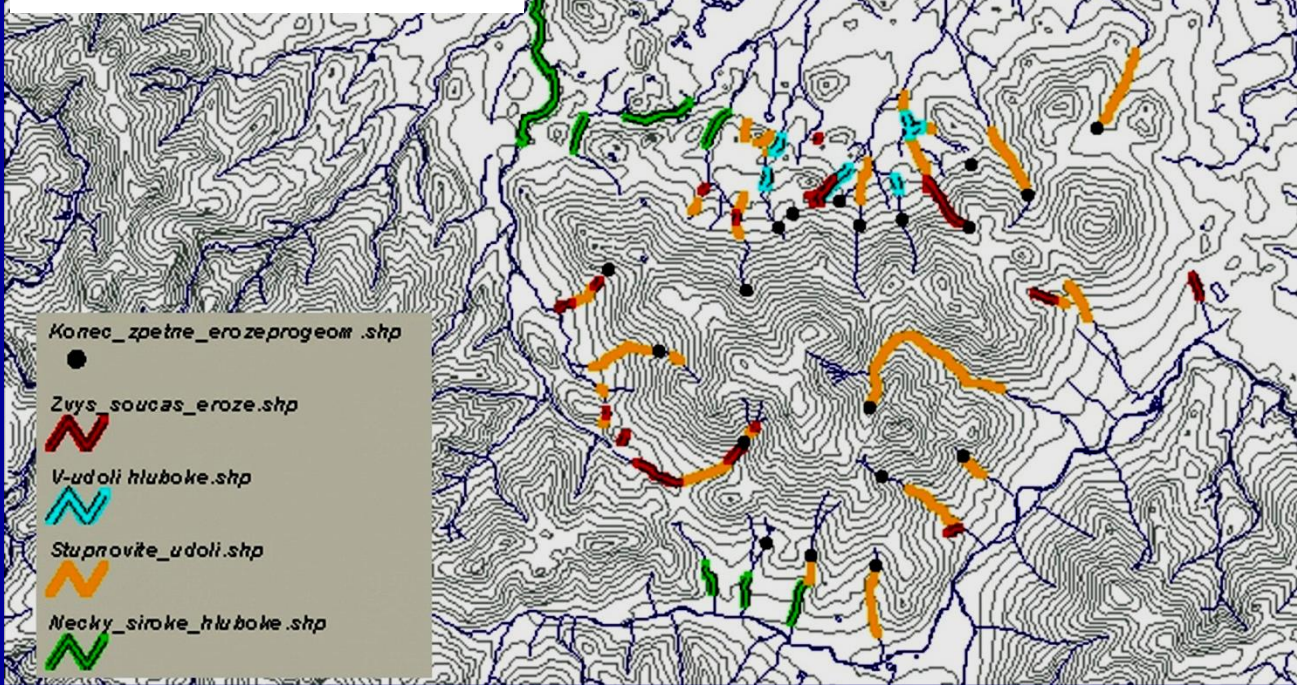
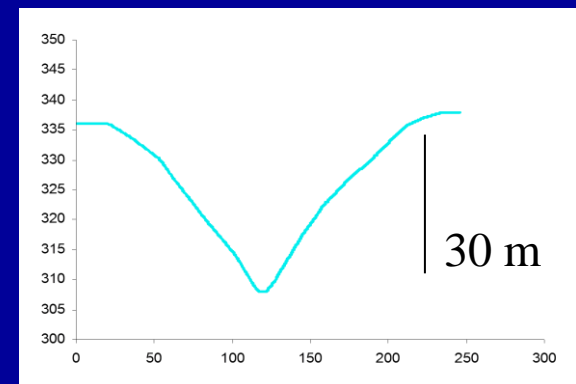
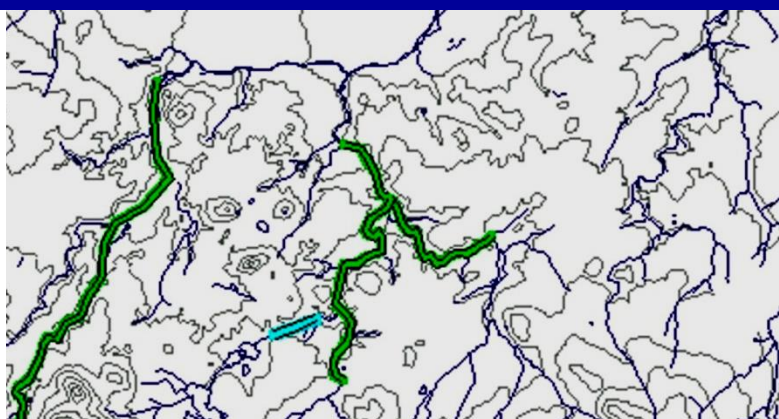
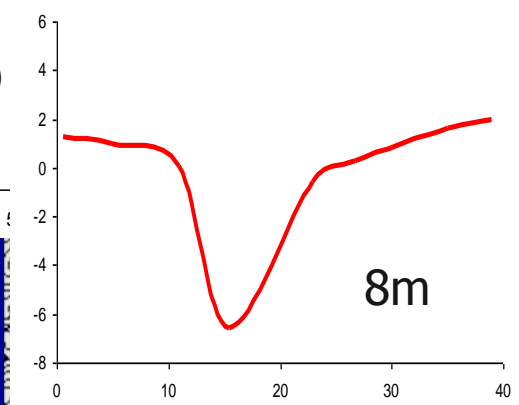
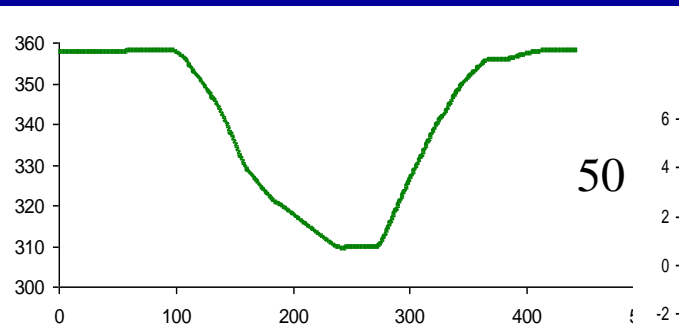


FIGURE 7. Hydrographic basin of the Pirapó River with anomalous points and valley cross sections.

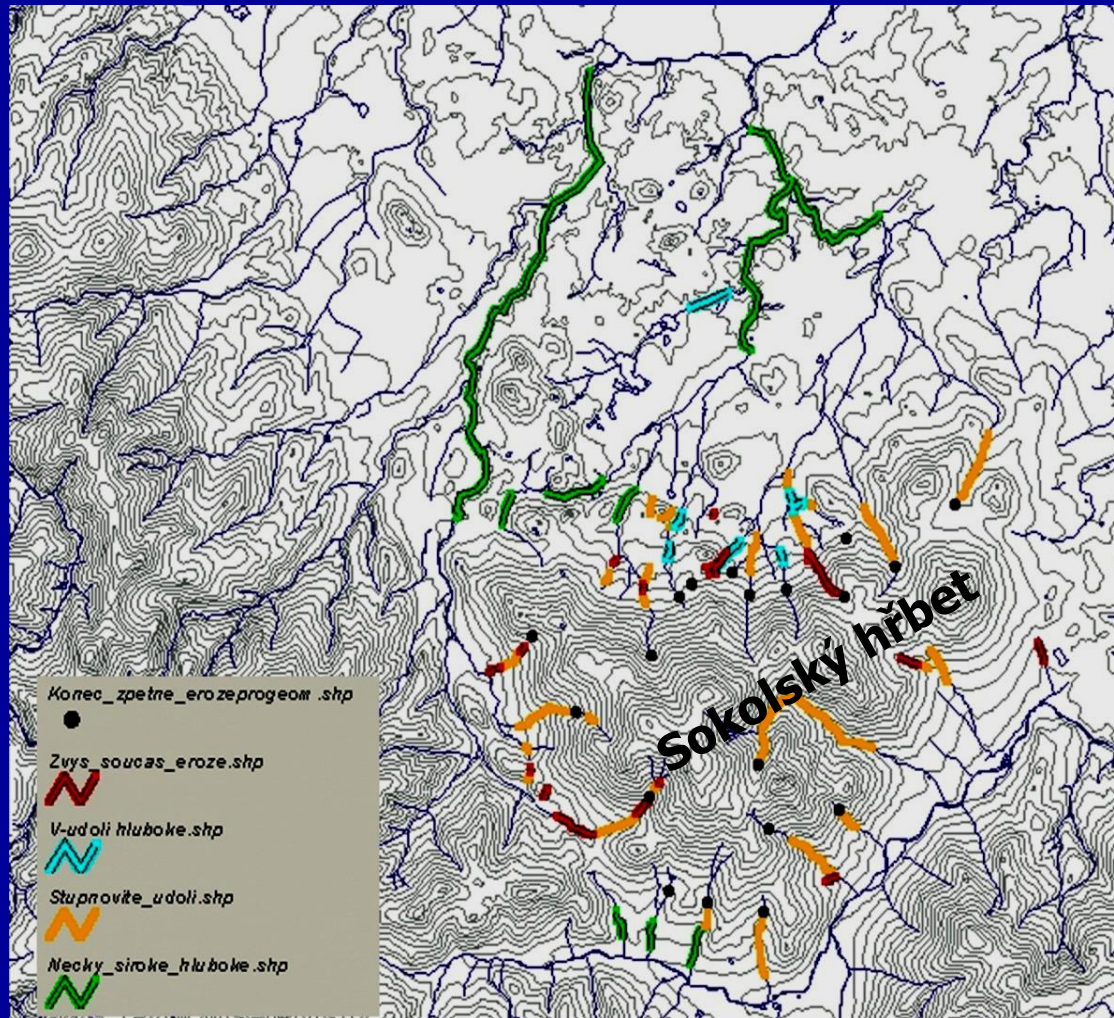
Odraz tektonických procesů v říčním systému

Typy údolí podle tvaru zářezu



Odraz tektonických procesů v říčním systému

Pokračující výzdvih pohoří



úpatí zlomových svahů

- začátky

❖ zvýšené

současné eroze,

❖ nejmladší erozní fáze

• anomálie v podélných profilech

Odras tektonických procesů v říčním systému

Říční terasy

- bývalé údolní dno

➤ Vznik teras – komplexní odezva

- mnoho příčin

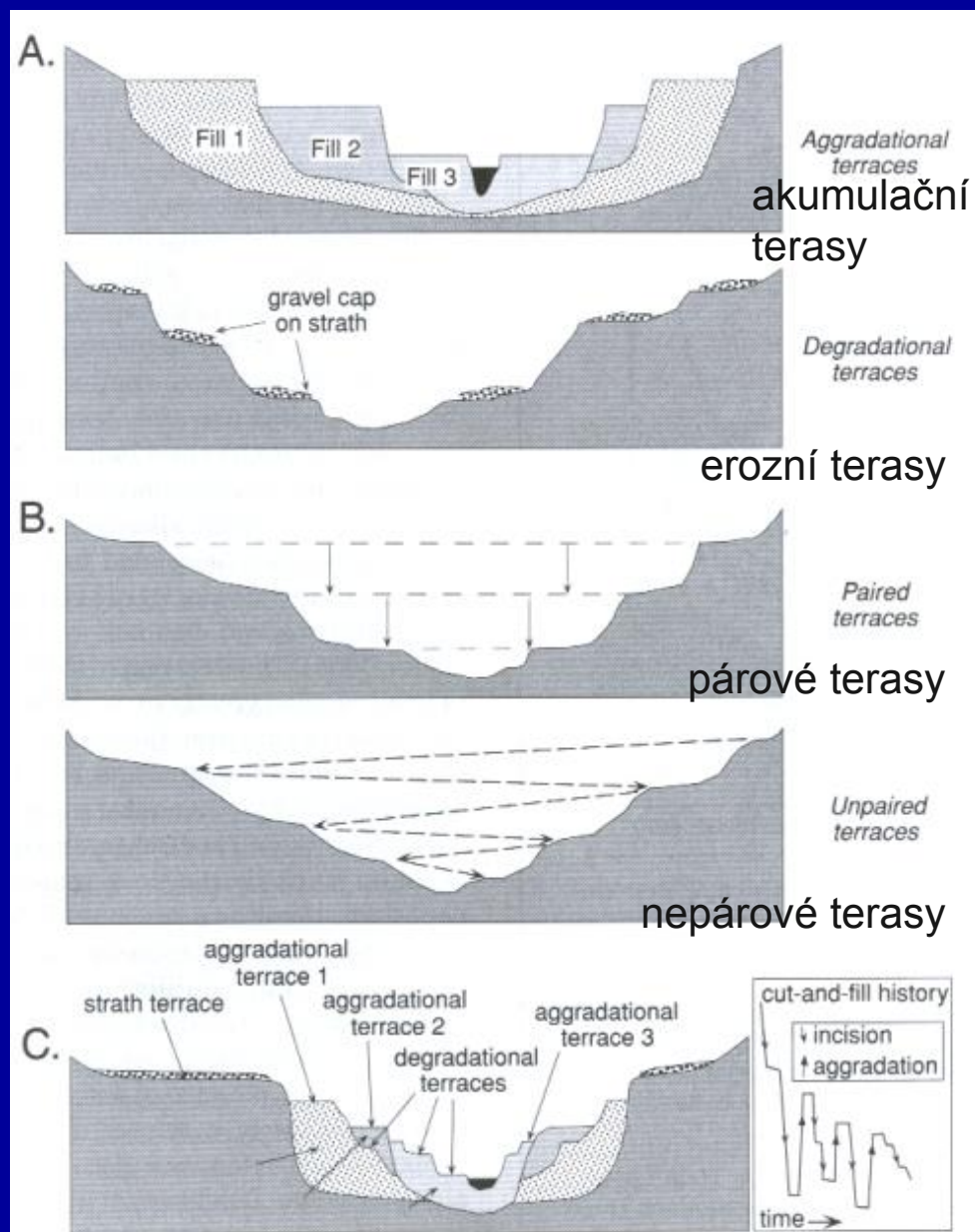
- opakovaný tektonický výzdvih

- pomalý stálý výzdvih se
spolupůsobením střídání glaciálů a
interglaciálů

- klimatický vliv - \neq plus pokles
erozní báze

➤ Terasy – důležitý potenciální
indikátor tektonické aktivity

- dále do minulosti



Odraz tektonických procesů v říčním systému



Terasy řeky Mijar v Kyrgyzstánu –
Trans Alai Range

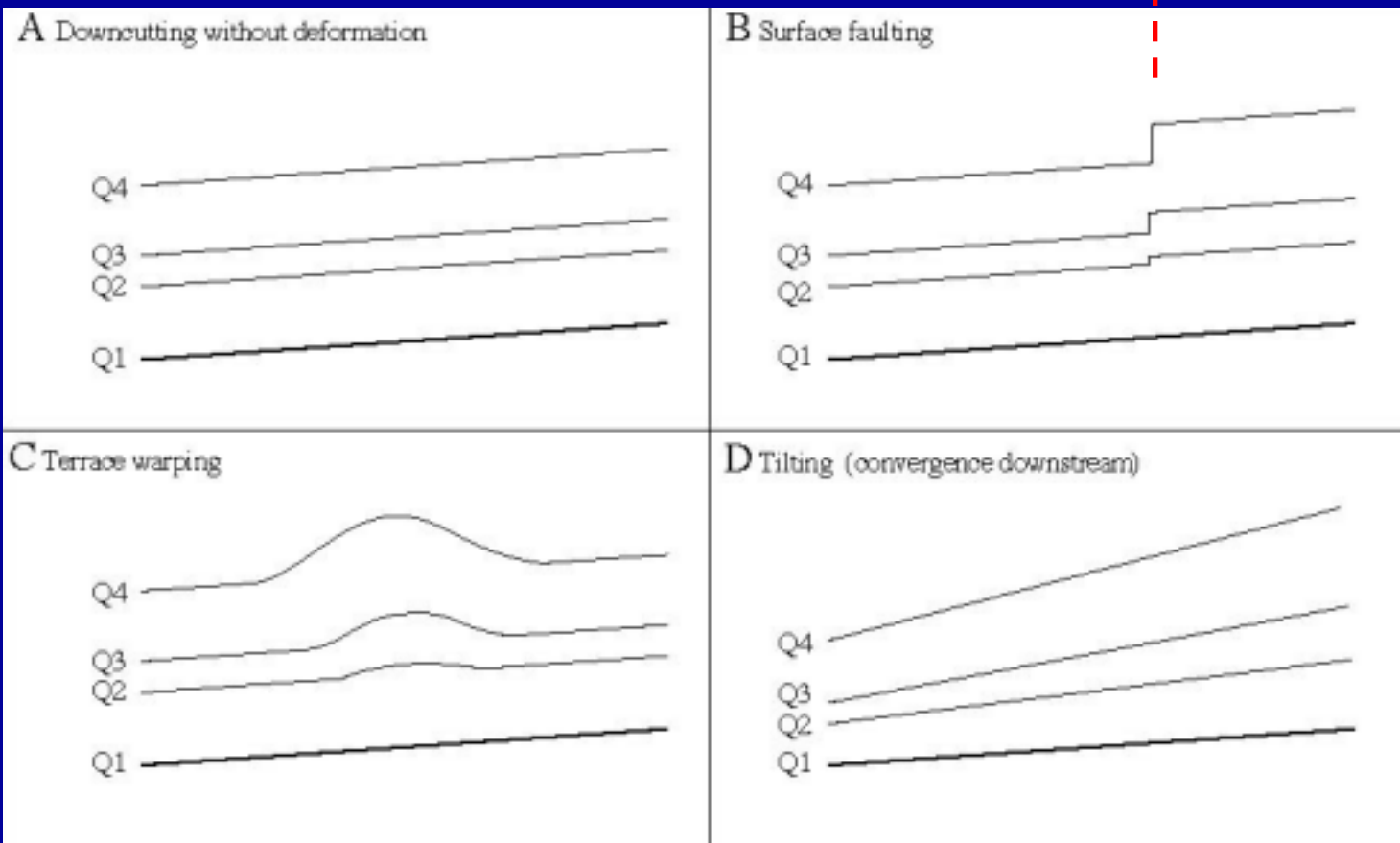
Terraces of the Owens River



Odras tektonických procesů v říčním systému

3 typy tektonické deformace teras

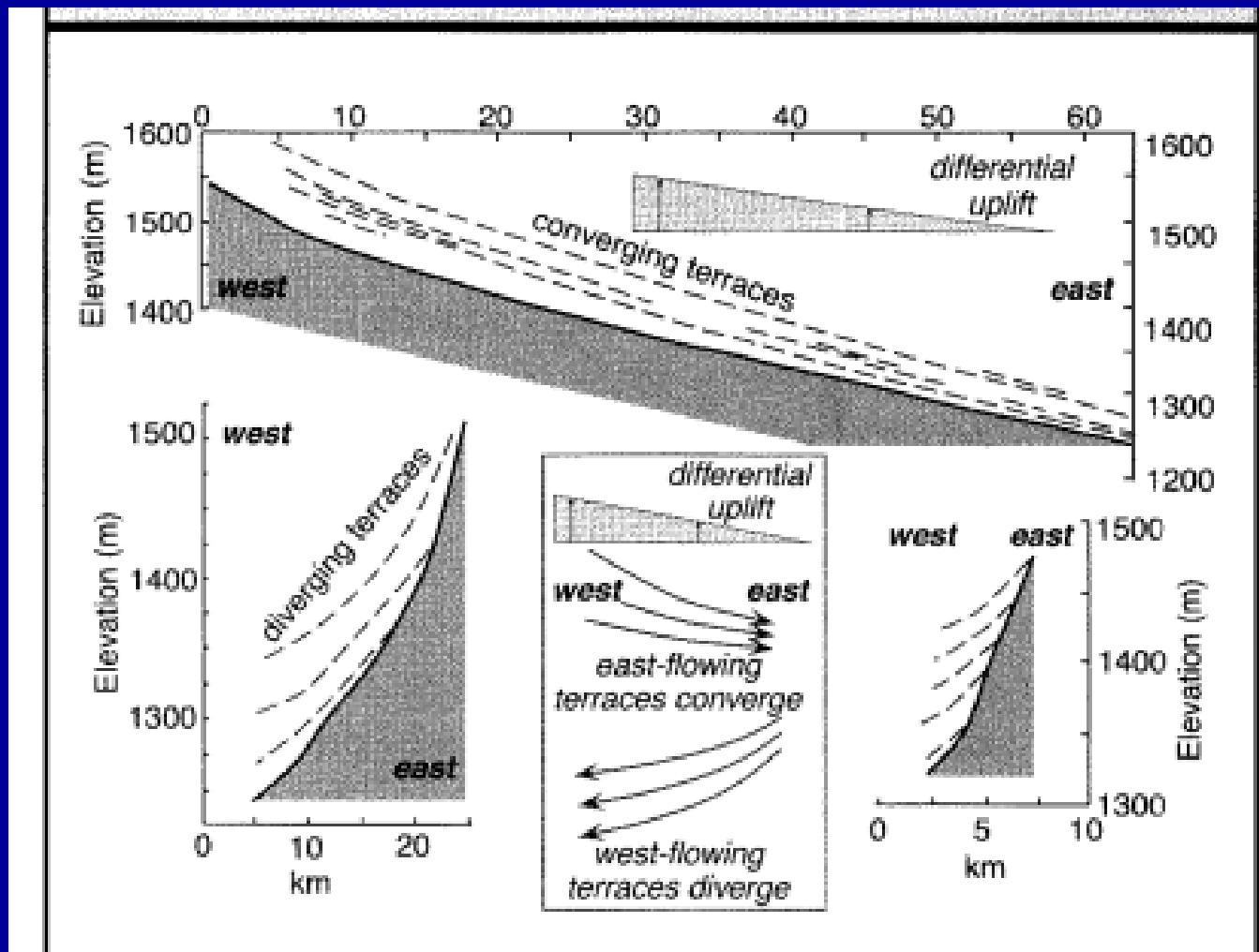
zlom



vyklenování

náklon terénu

Odraz tektonických procesů v říčním systému

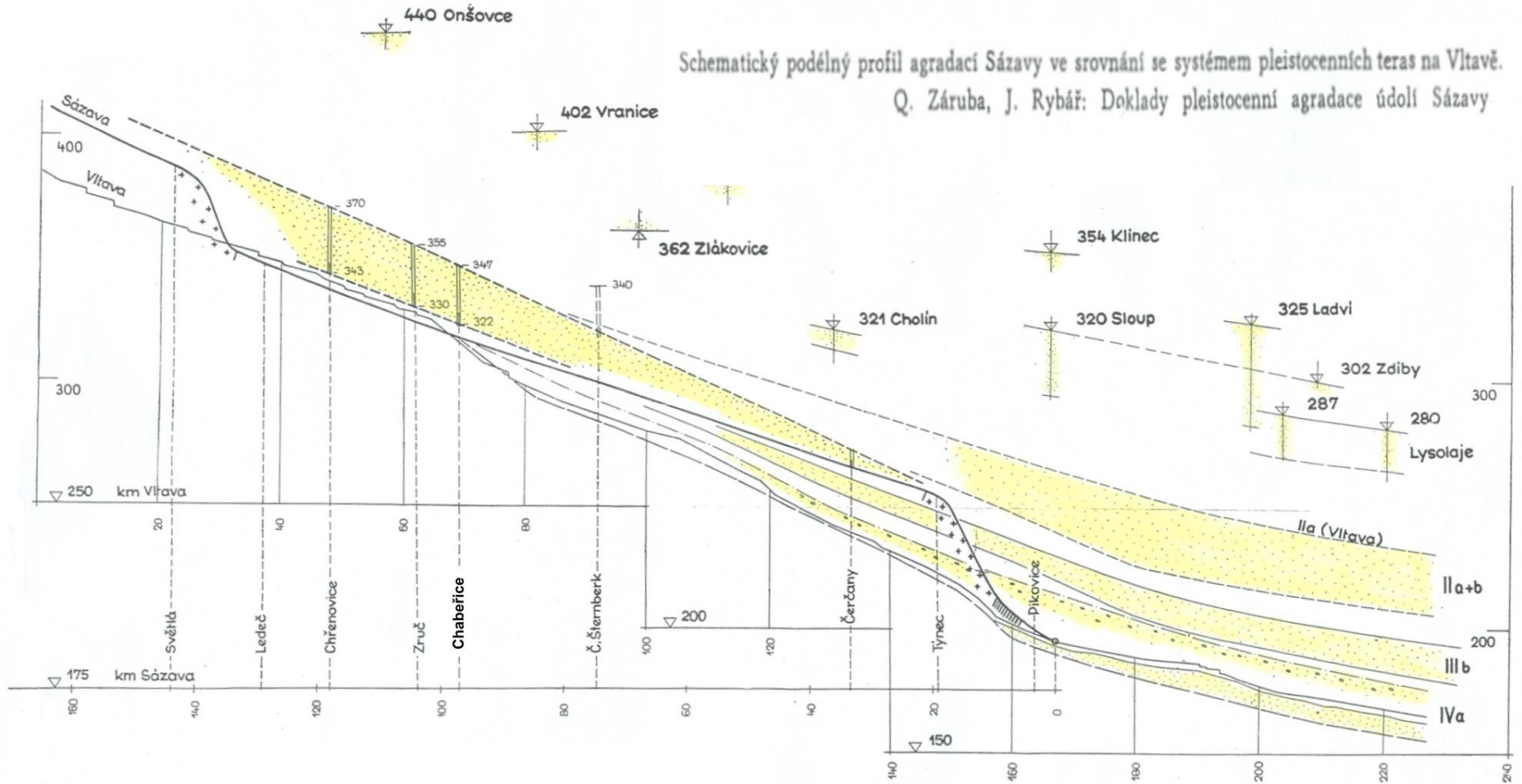


Východně „tekoucí“ terasy **konvergují po toku**,
na západ tekoucí **divergují** směrem po toku

Divergující terasy Sázavy

Schematický podélný profil agradací Sázavy ve srovnání se systémem pleistocenních teras na Vltavě.

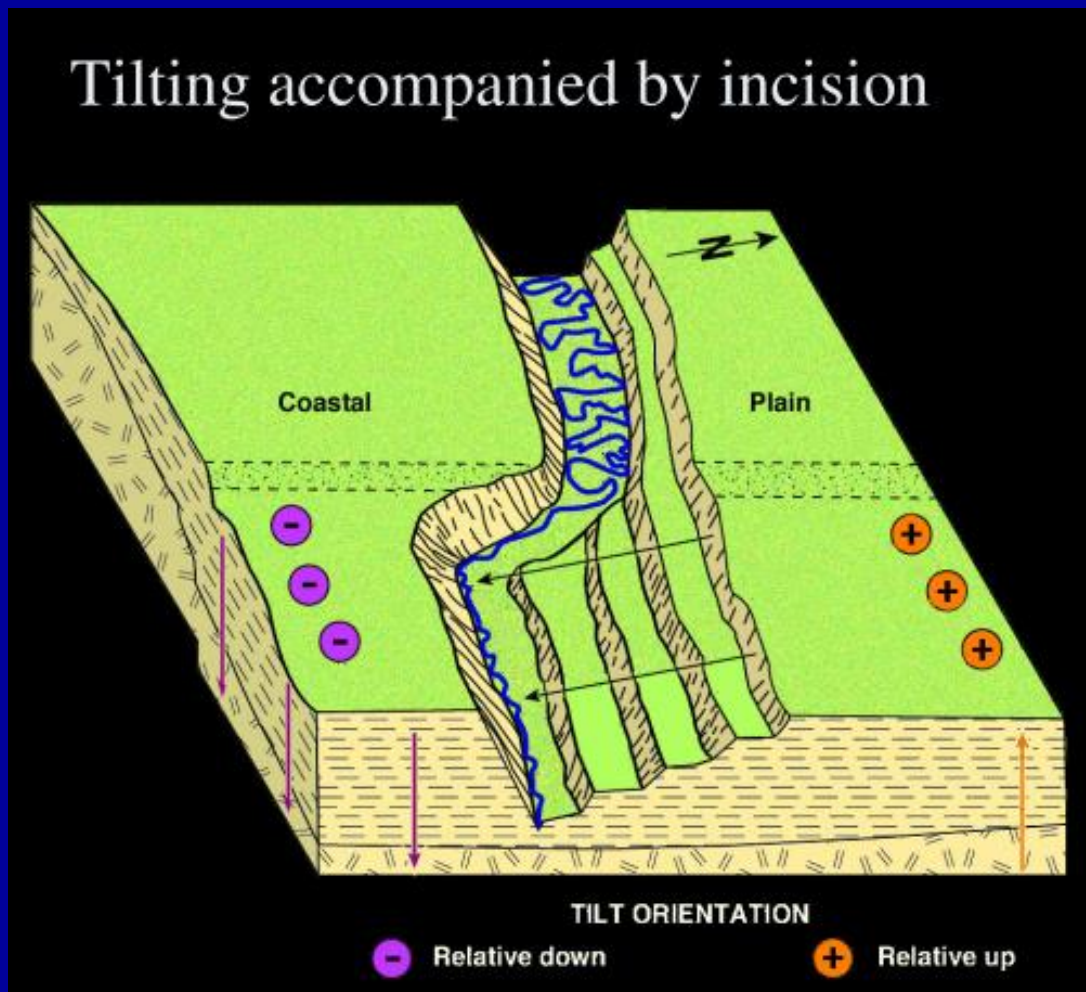
Q. Záruba, J. Rybář: Doklady pleistocenní agradace údolí Sázavy



Odraz tektonických procesů v říčním systému

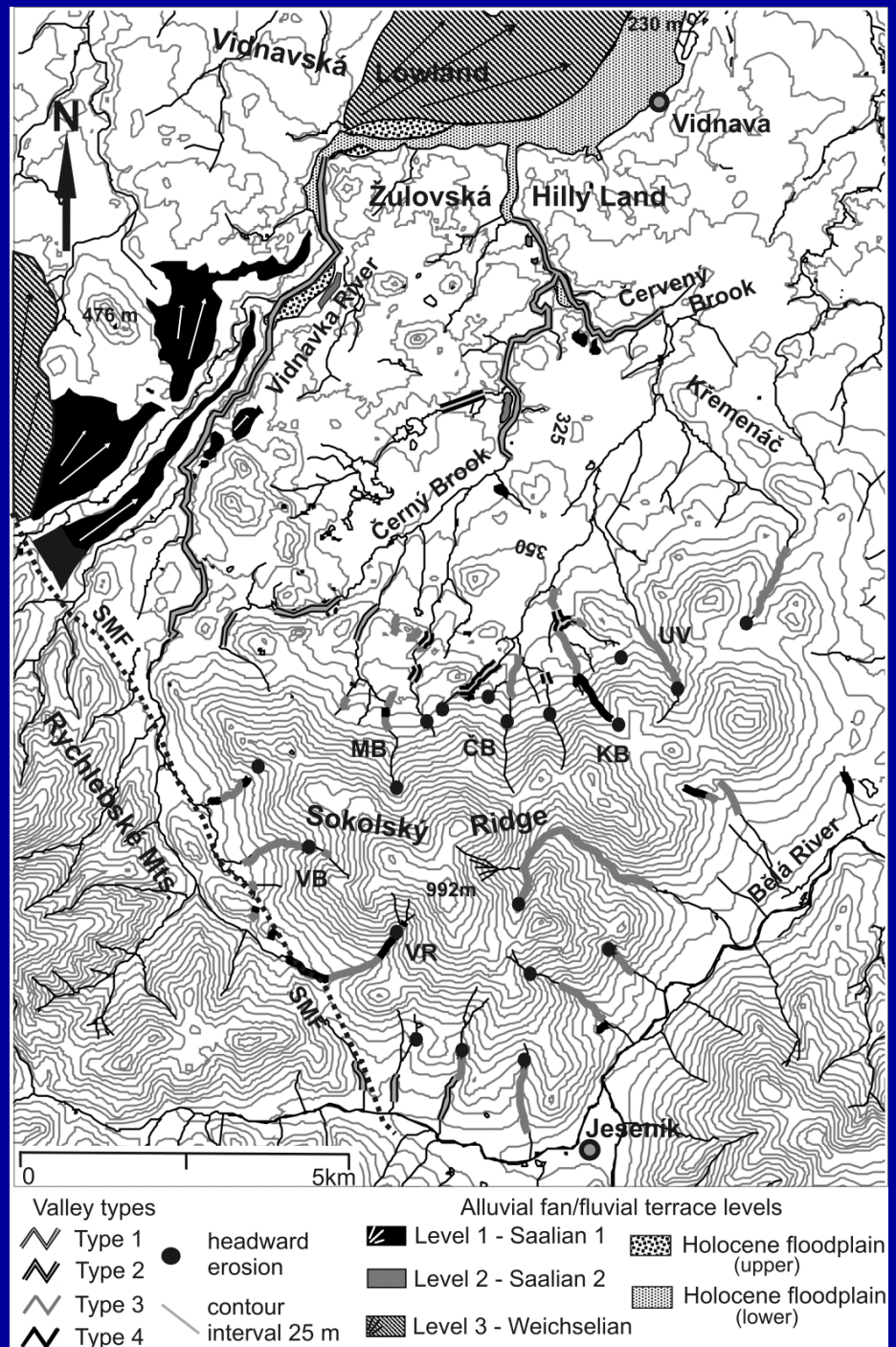


Příčný úklon terénu – nepárové terasy



Říční terasy Vidnavky

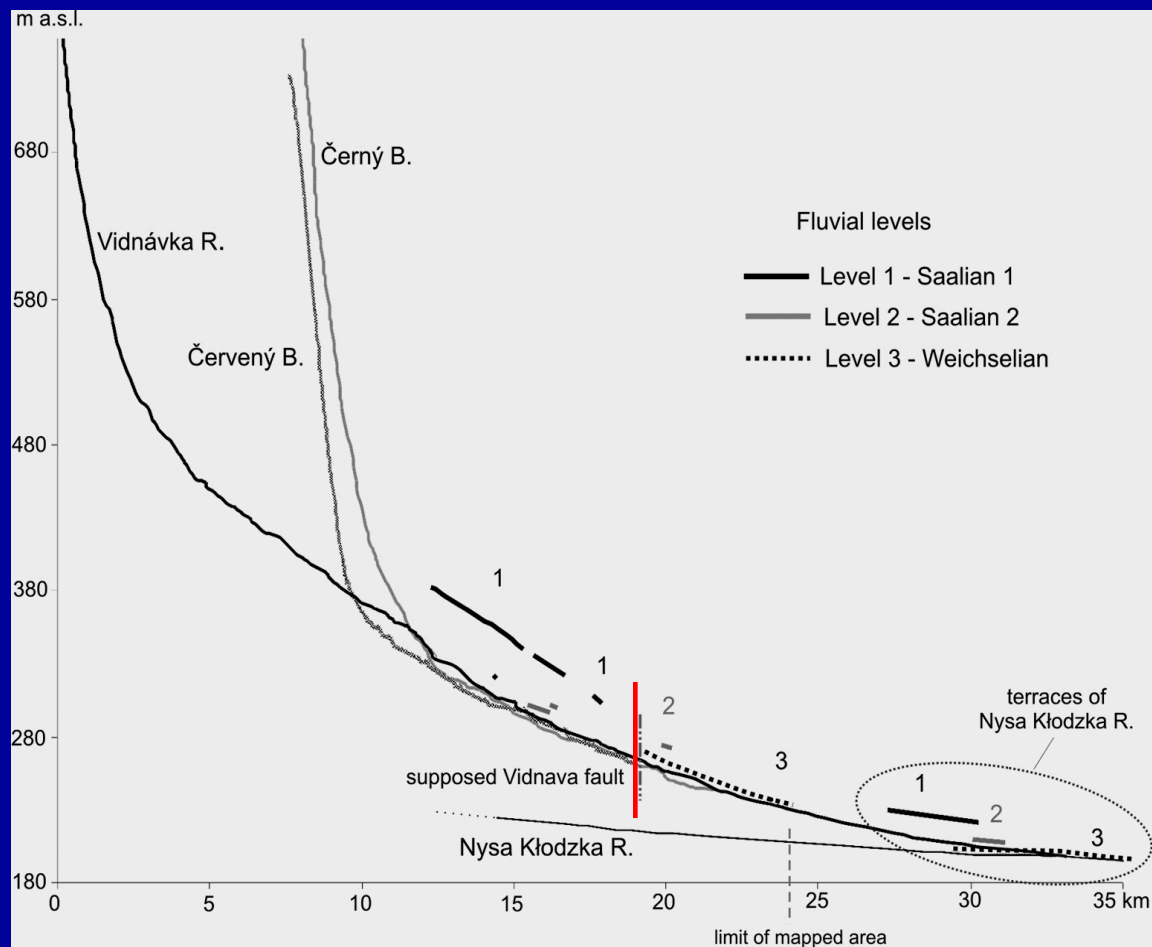
Terasy přítoků – normálně v menší relativní výšce nad tokem než terasy nad hlavním tokem v území



Odraz tektonických procesů v říčním systému

Výzdvih Žulovské pahorkatiny (?glacioizostaze)

Fluviální sedimenty-3 post-glaciální (po deglaciaci) pleistocenní úrovně teras a aluviálních kuželů



Úroveň 1 – Saale 1 Upper Terrace
Vidnávka - 38 – 48m (relativní výšky)
Černý potok - 20m
Červený potok - 35 – 40m

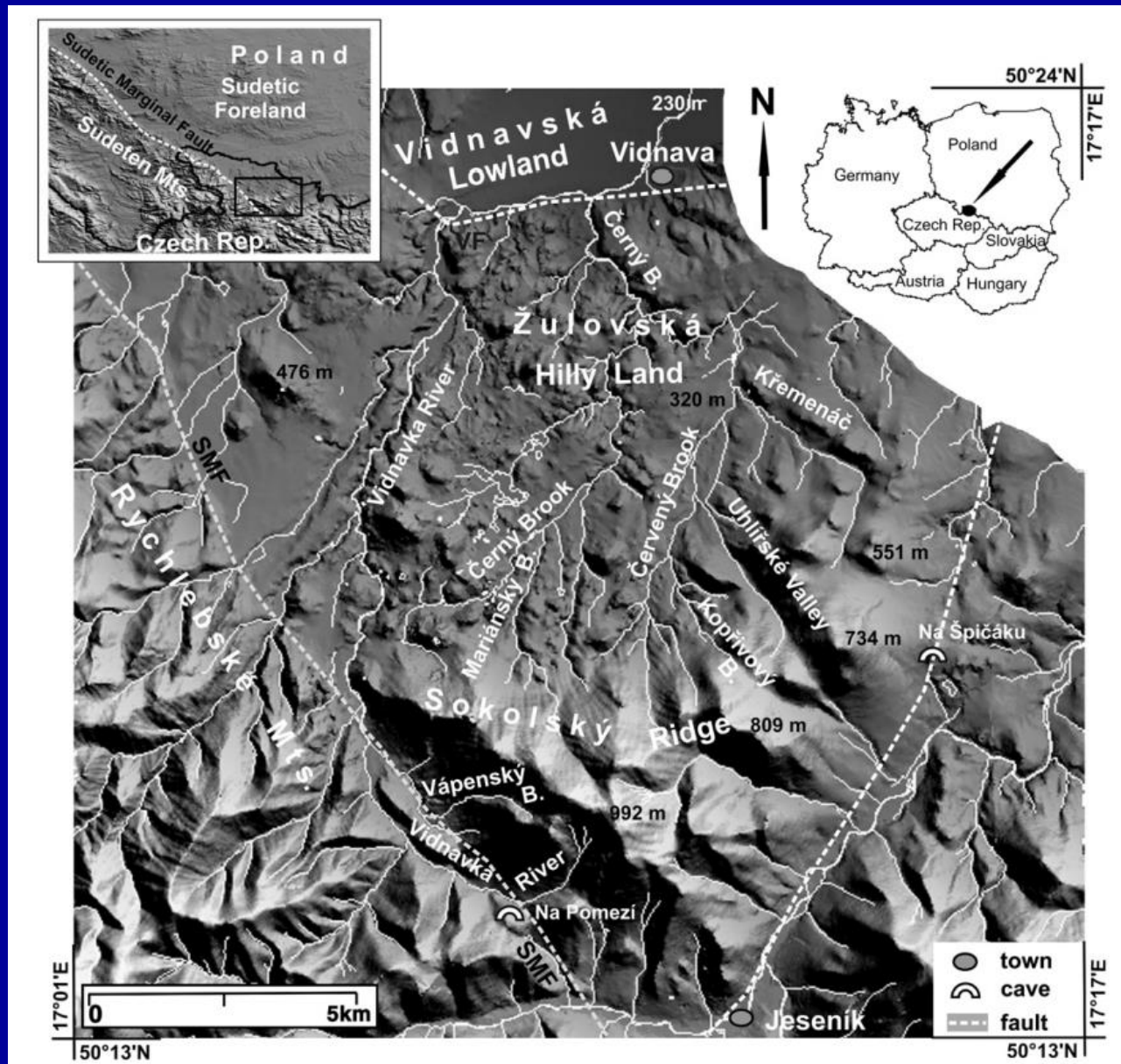
Úroveň 2 – Saale 2 Middle Terrace
Černý potok - 13 – 22m

Úroveň 3 – Weichselian Lower Terrace
Vidnávka - 4 – 8m

**Anomálie v podélném profilu teras
(Kladská Nysa)**

úroveň 1 – rozdíl 20m
úroveň 2 – rozdíl 8m
úroveň 3 - rozdíl 2-3m

Odraz tektonických procesů v říčním systému

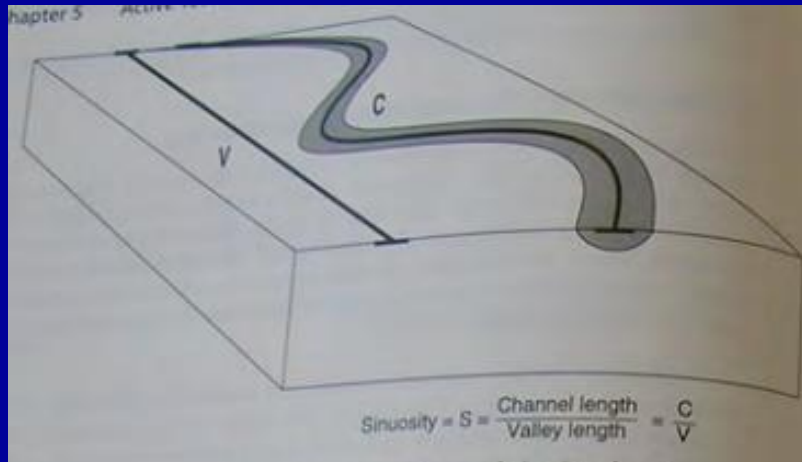


Odraz tektonických procesů v říčním systému

➤ Sinuosita (křivolakost) toků

- Řeky meandrují, aby zachovaly rovnováhu sklonu koryta s průtokem a unášeným materiálem

Sinuosita = délky koryta : délka údolí

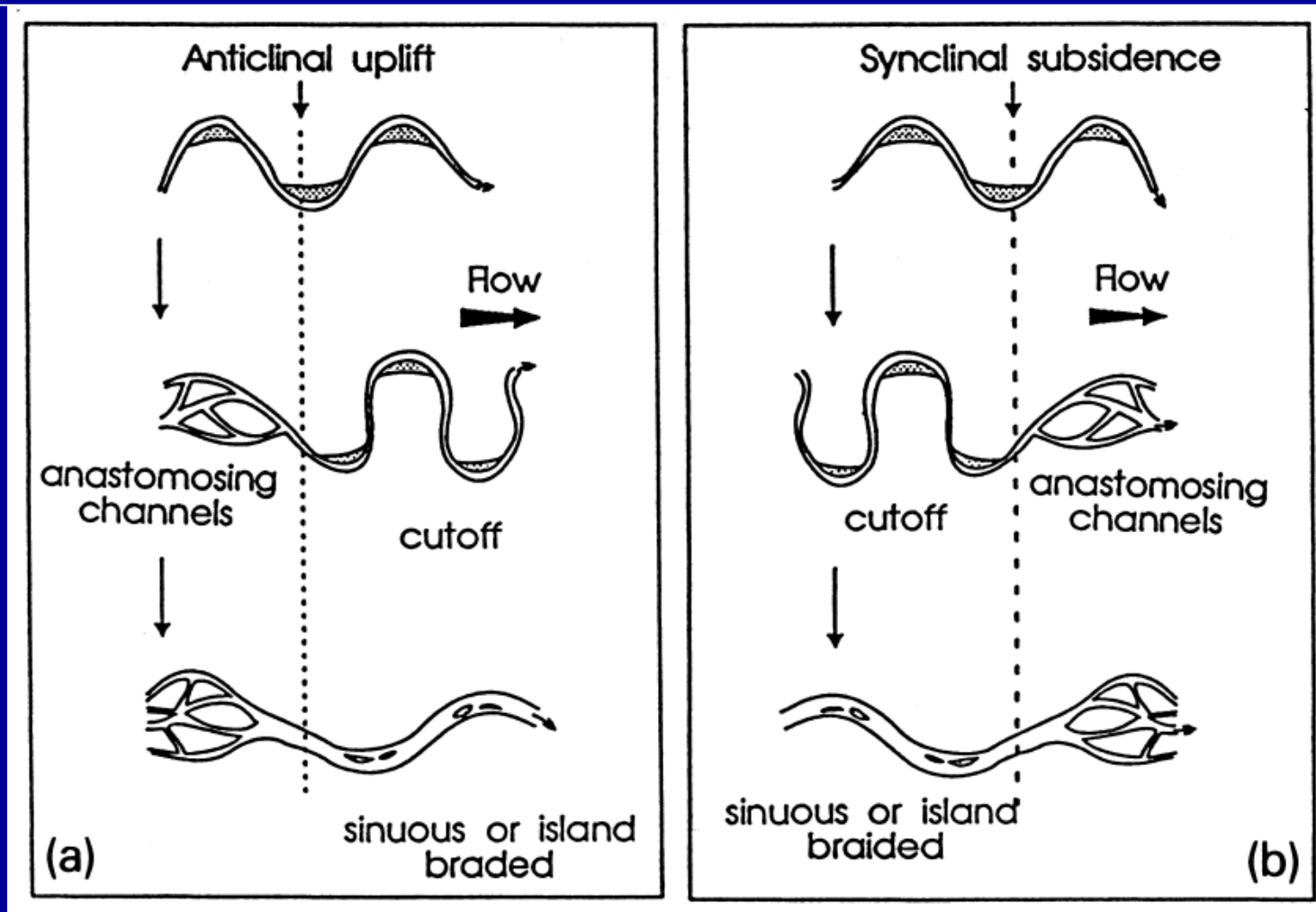


Řeka meandruje, když přímá spojnice údolního dna je příliš strmá pro udržení rovnováhy

- klikacení snižuje sklon koryta (prodlouží se tok – mírnější spádová křivka)

Při protékání vyklenujícího se území – na horním toku méně zakřivené, na dolním více

Odraz tektonických procesů v říčním systému



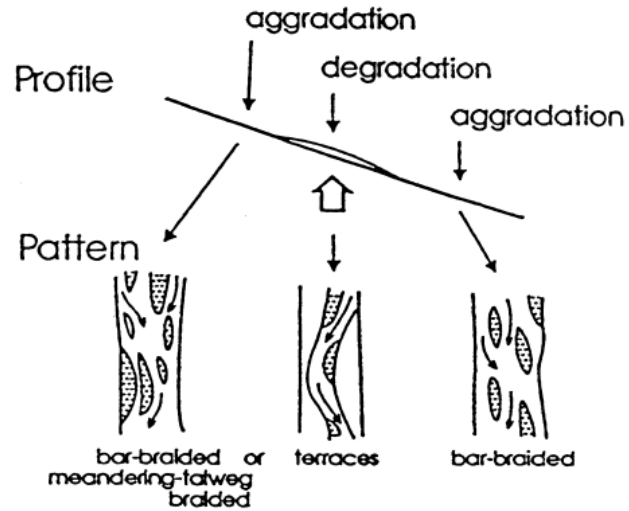
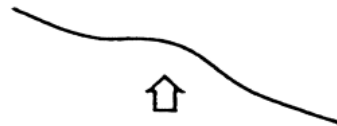
Odezva meandrujícího či přímého toku při protékání vyzdvihovým územím (A) nebo poklesovým (B) (mix-loaded)

Braided (bed-load) river

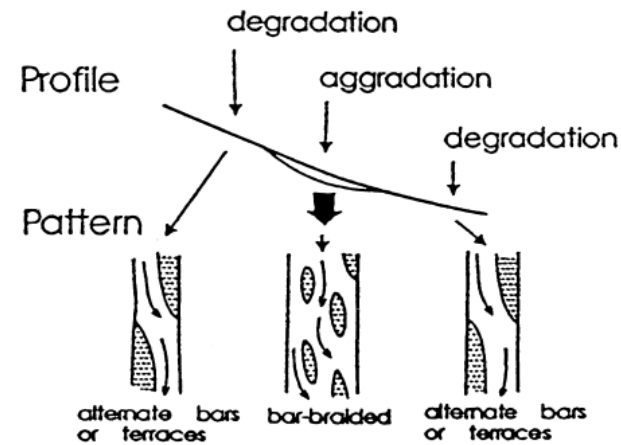
Slope deformation

River adjustment

A. Uplift



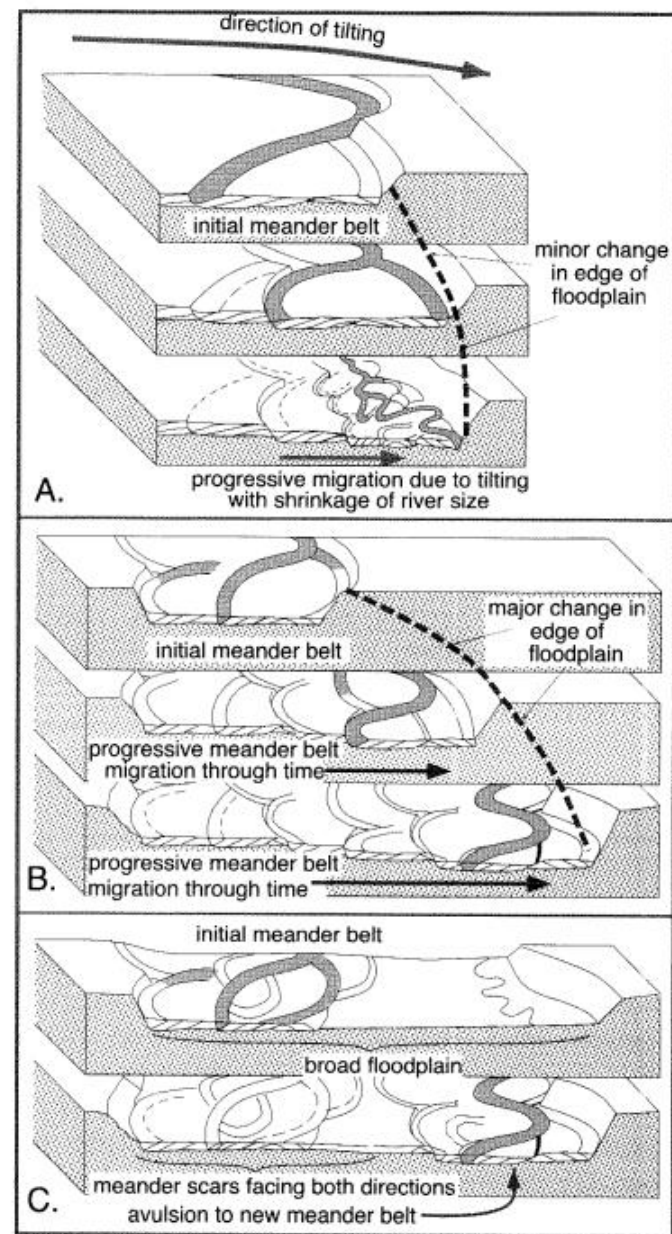
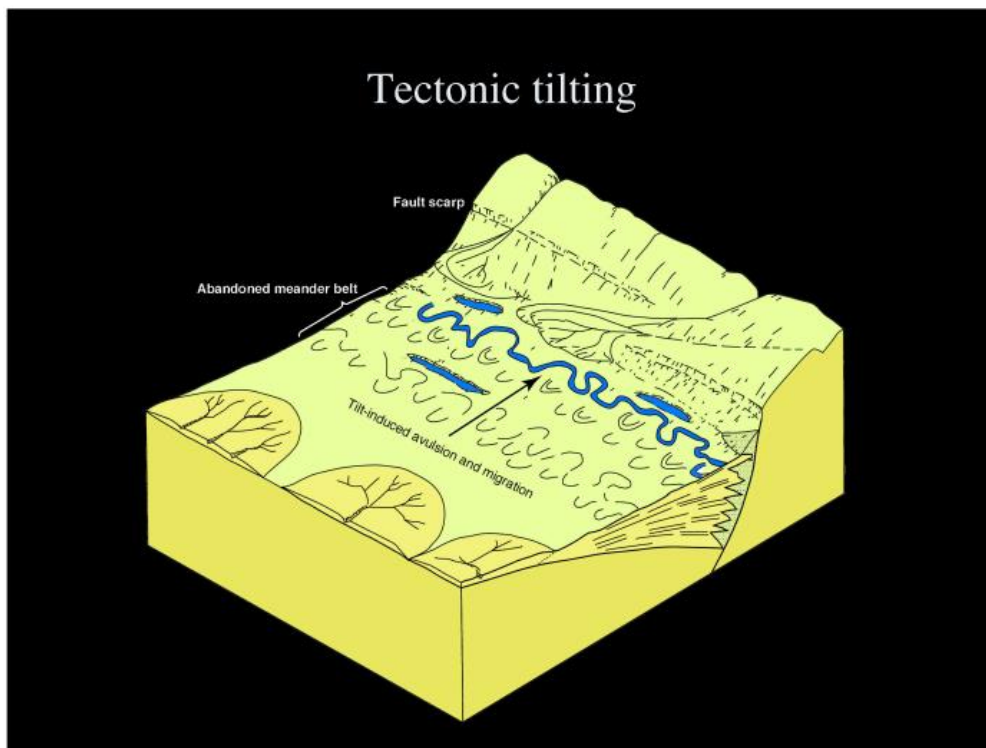
B. Subsidence



(c)

Odezva braided streams (C) (Ouchi, 1983)

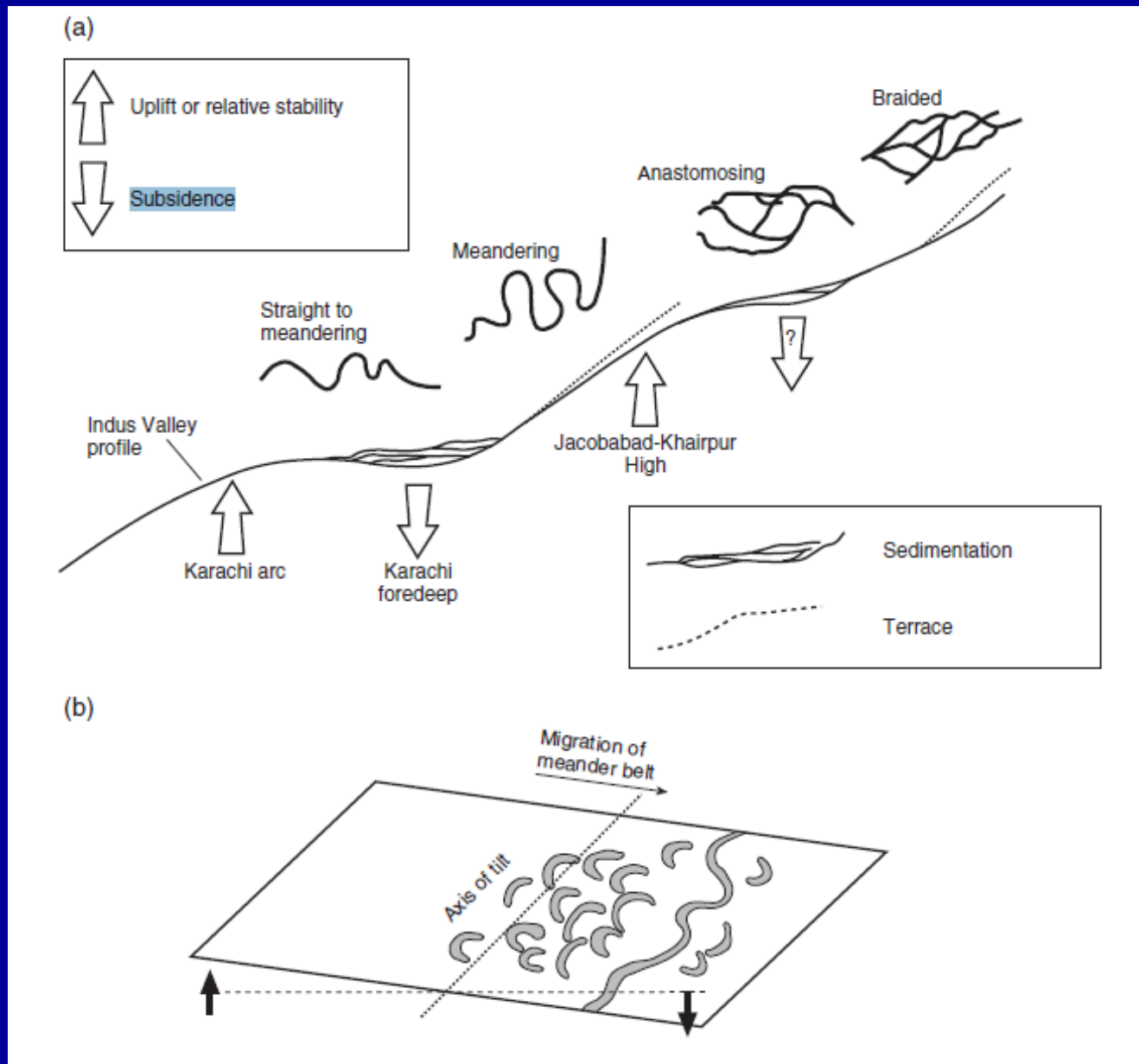
Odras tektonických procesů v říčníně



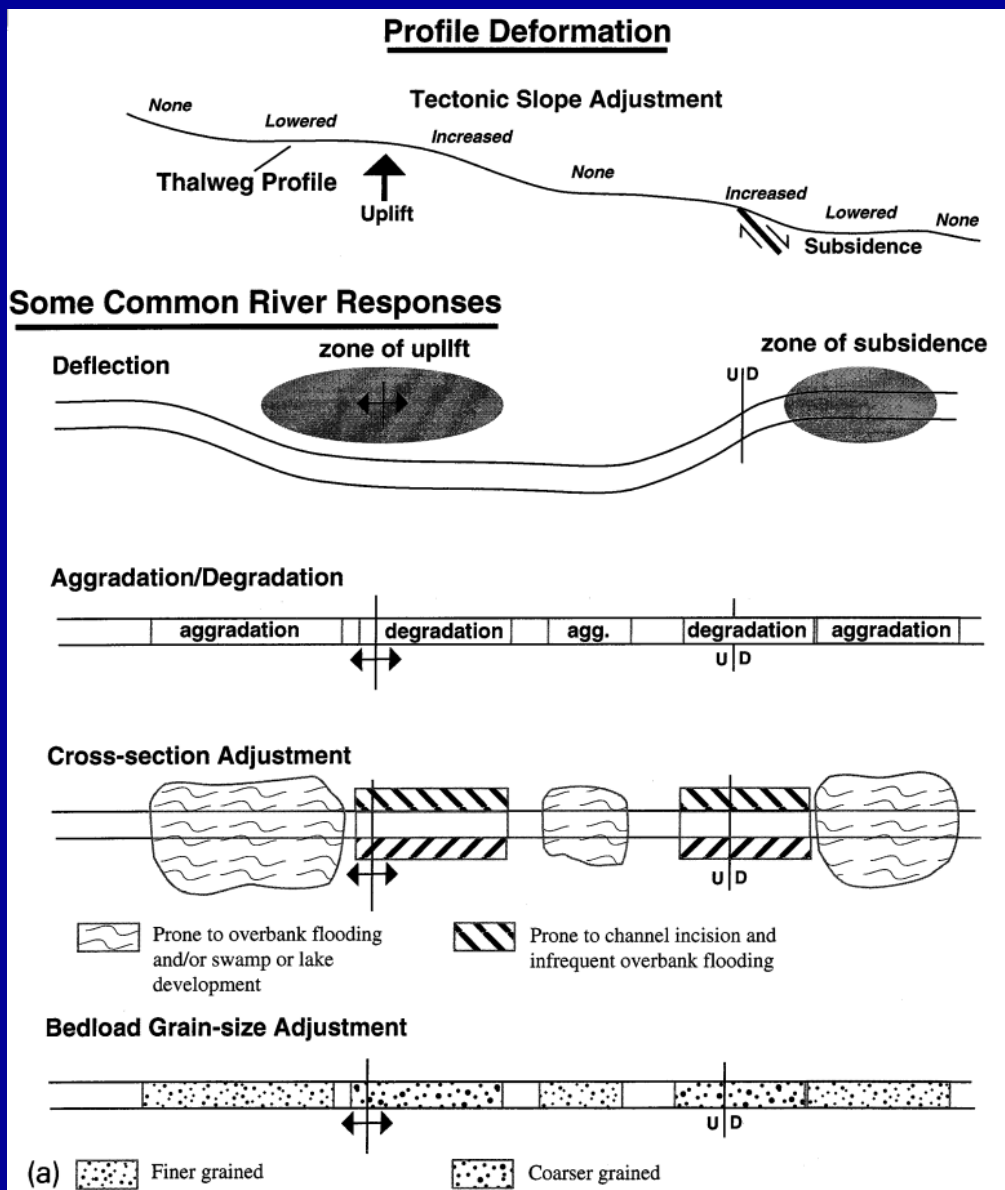
A. Steady tilting with shrinkage of river size.
 B. Steady tilting and migration. C. Abrupt tilting and avulsion across a floodplain. Modified after Alexander et al. (1994).

Odraz tektonických procesů v říčním systému

Tectonically deformed river



Odraz tektonických procesů v říčním systému

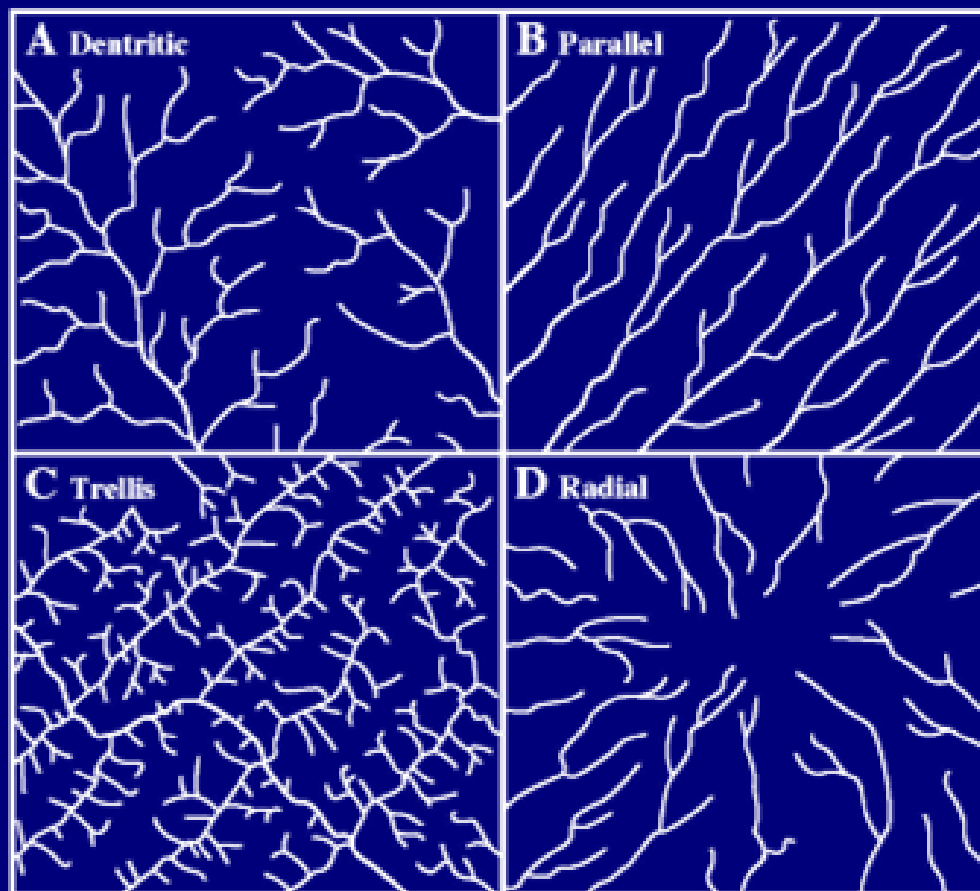


Odezvy toků na deformace v podélném profilu.

Odraz tektonických procesů v říčním systému

Říční síť

Changes in drainage and stream pattern



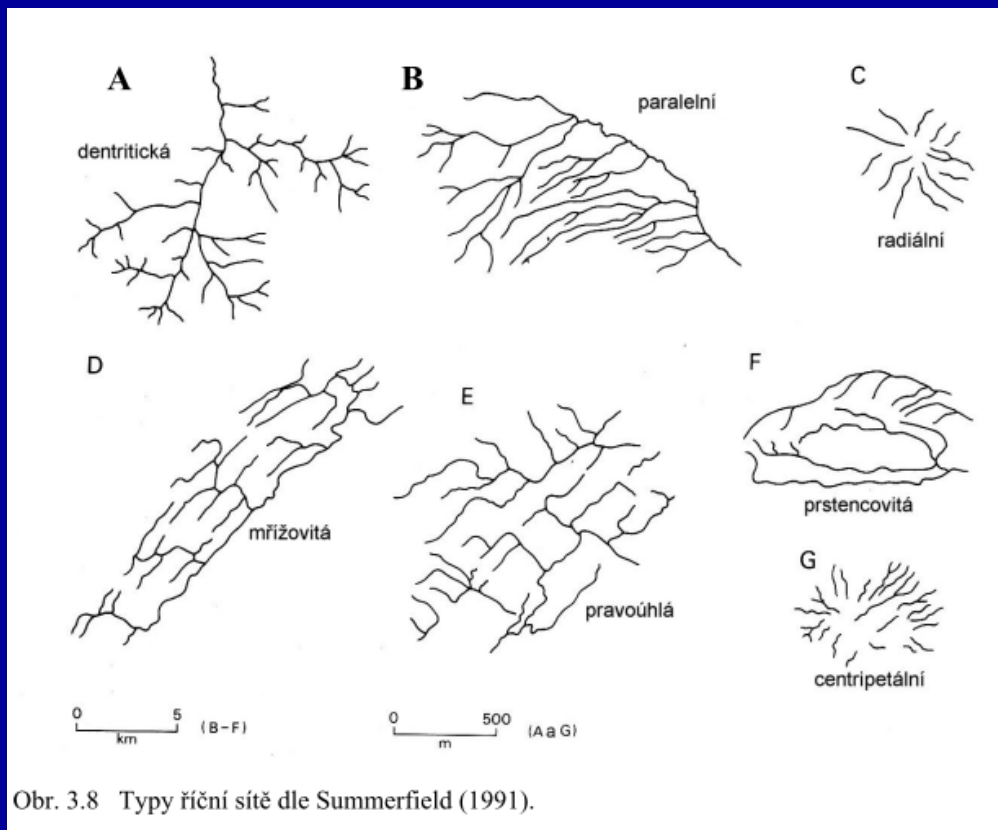
Dendritic This drainage pattern forms on homogeneous bedrock or loose sediments in areas with gentle regional slopes.

Parallel Parallel drainage pattern forms on steep slopes and where bedrock or landforms trend parallel to the regional slope.

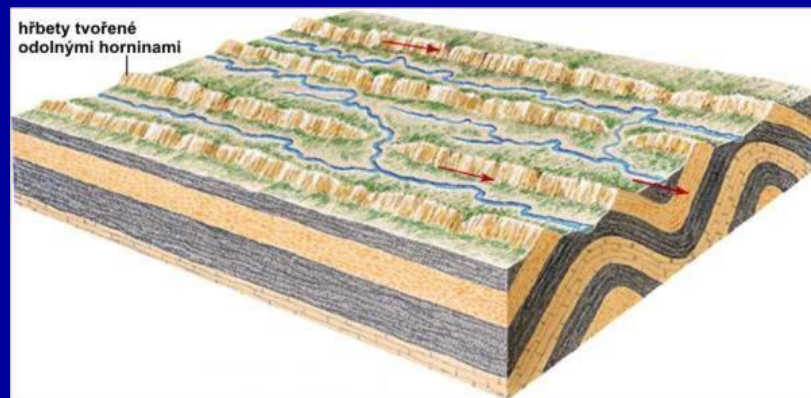
Trellis Pattern forms where underlying rock has one or more planes of weakness oblique to regional slope, such as on folded sedimentary rocks, or where linear landforms like beach ridges control drainage.

Radial Pattern forms around structural high points such as volcanoes, salt domes, or tectonic upwarps.

Odraz tektonických procesů v říčním systému



Obr. 3.8 Typy říční sítě dle Summerfield (1991).



paralelní

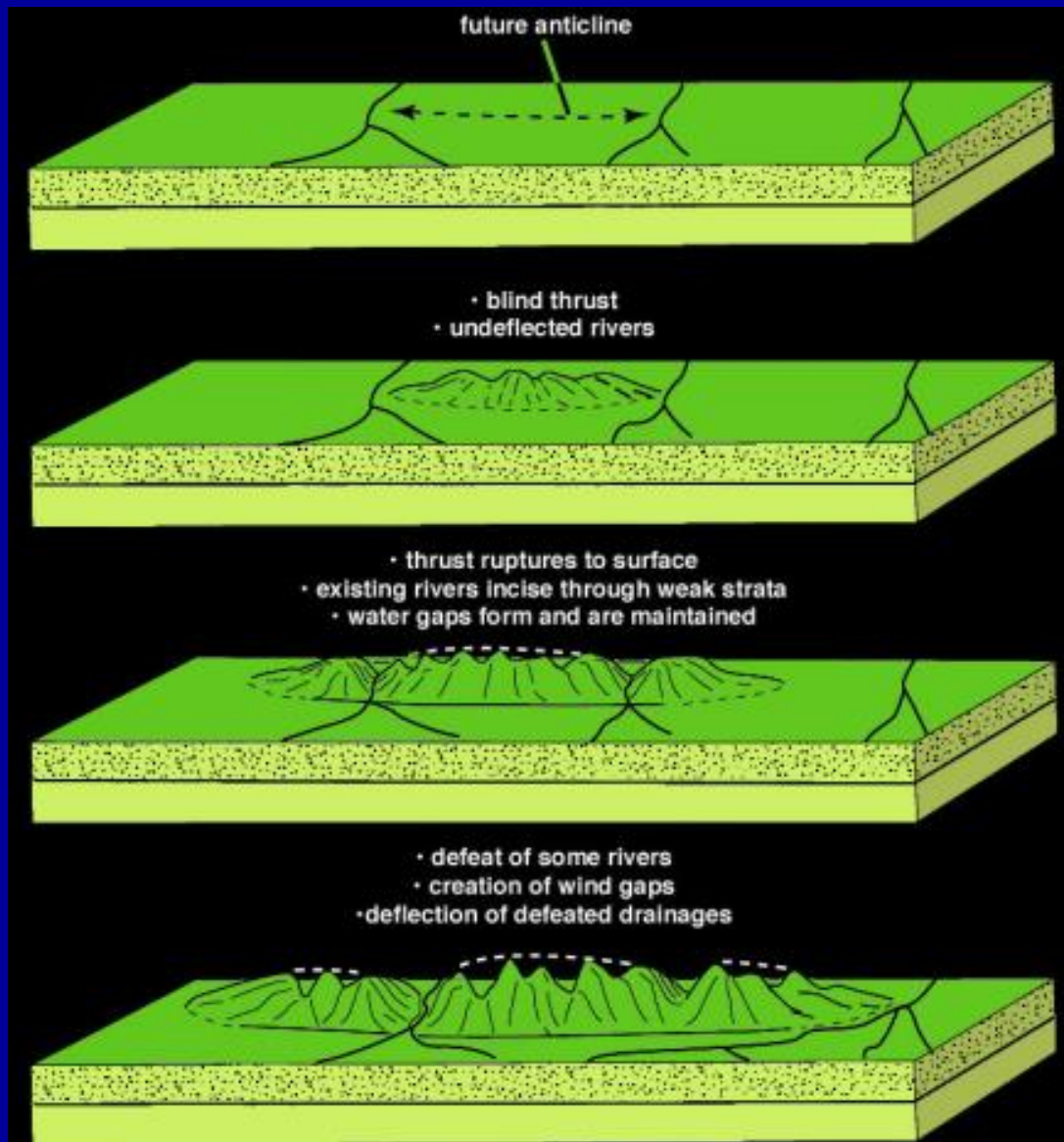
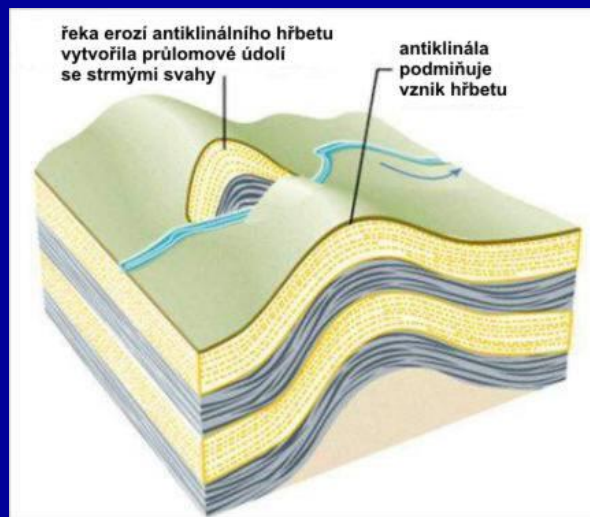


mřížkovitá

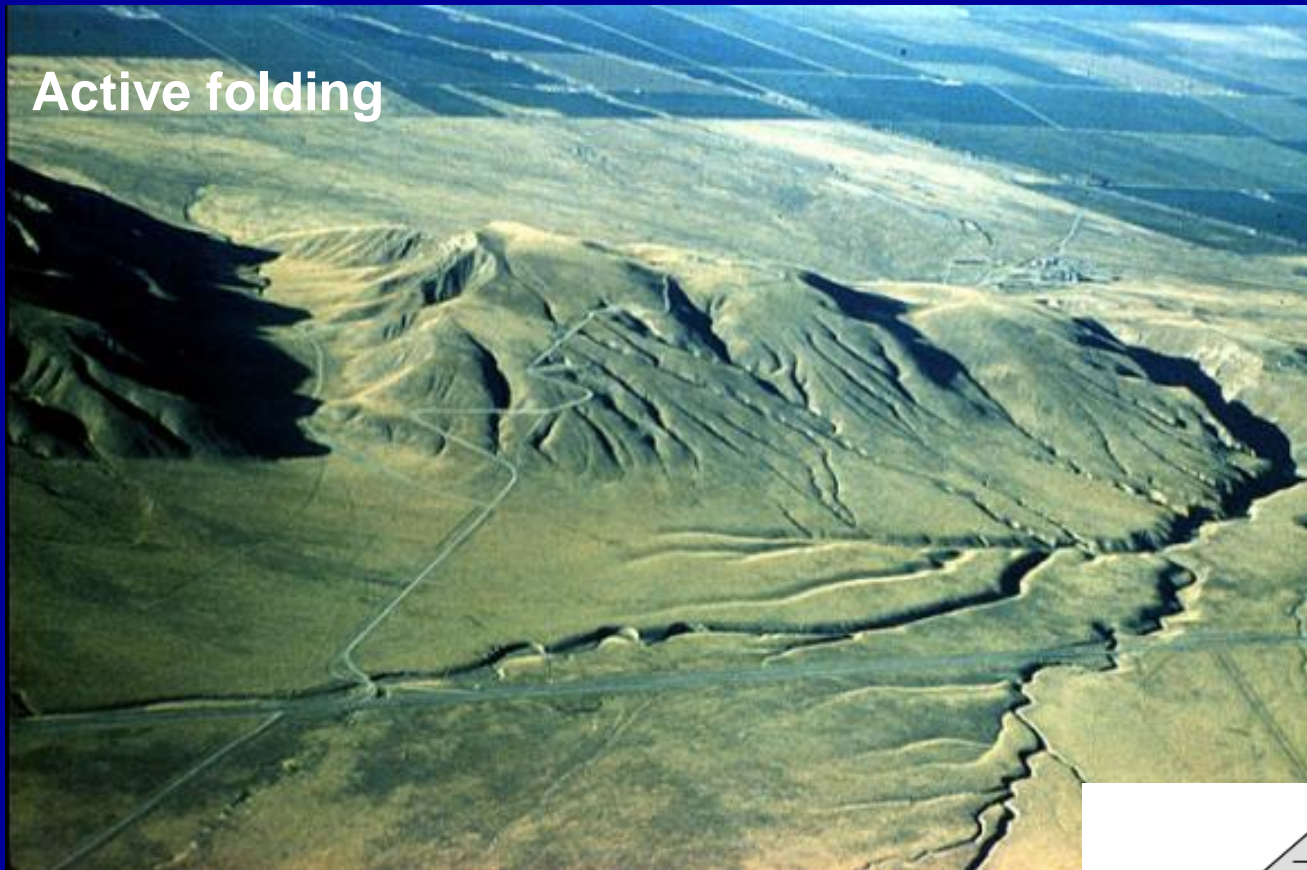
Odras tektonických procesů v říčním systému

Změna říční sítě - odpověď na výzdvih a erozní rozčlenění

- antecedentní údolí
- water gap (průrva)
- opuštěná údolí
- wind gap
- odklon toku (deflection)
- načepování – říční pirátství

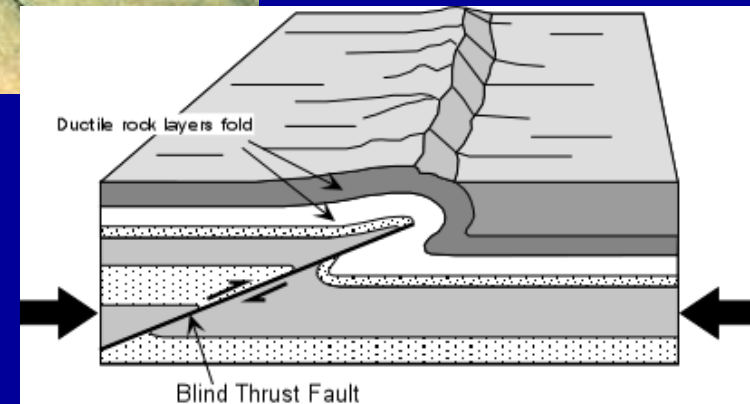


Odraz tektonických procesů v říčním systému



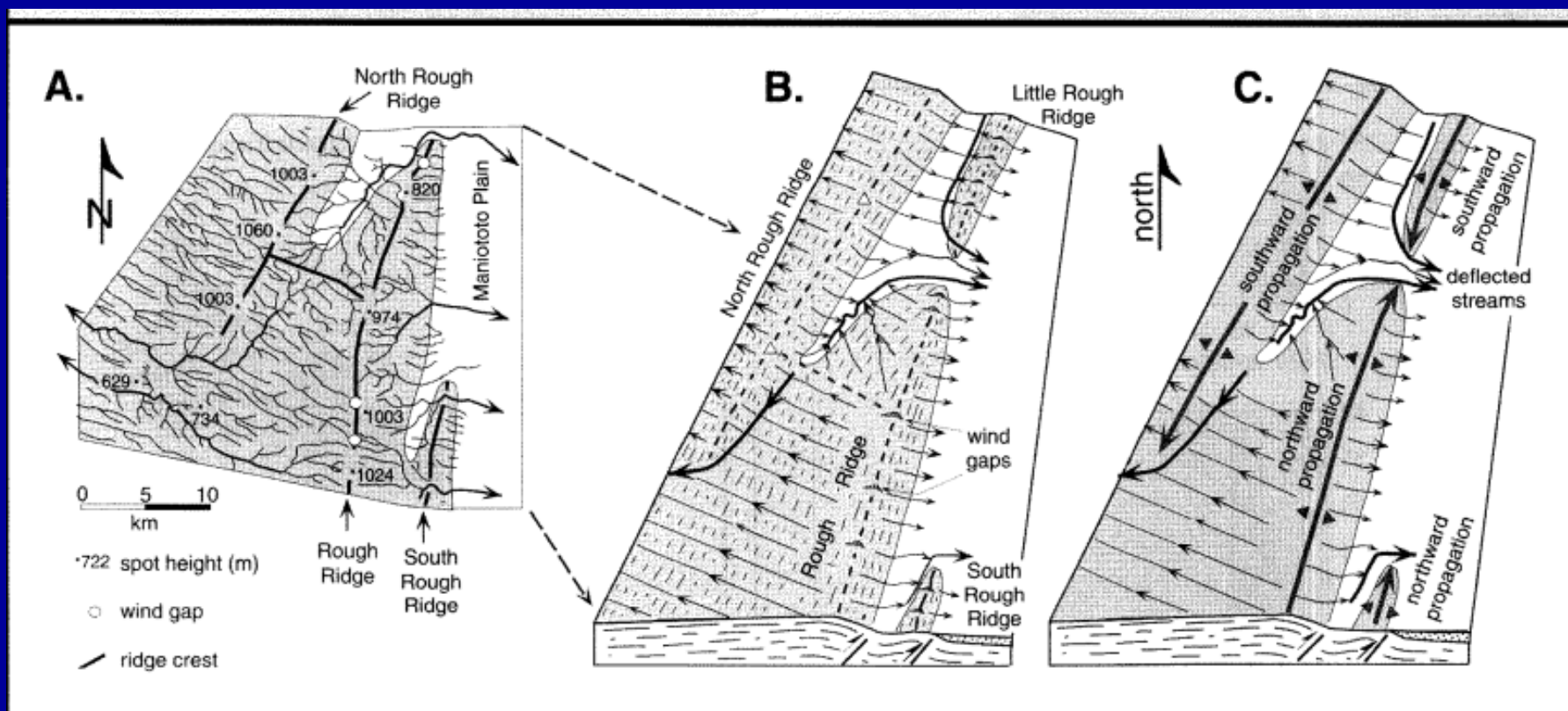
Fault-propagation fold
- fault related fold

„**Blind thrust fault** that does not rupture all the way up to the surface so there is no evidence of it on the ground. It is "buried" under the uppermost layers of rock in the crust.
„USGS



Odras tektonických procesů v říčním systému

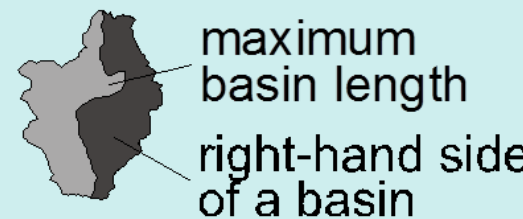
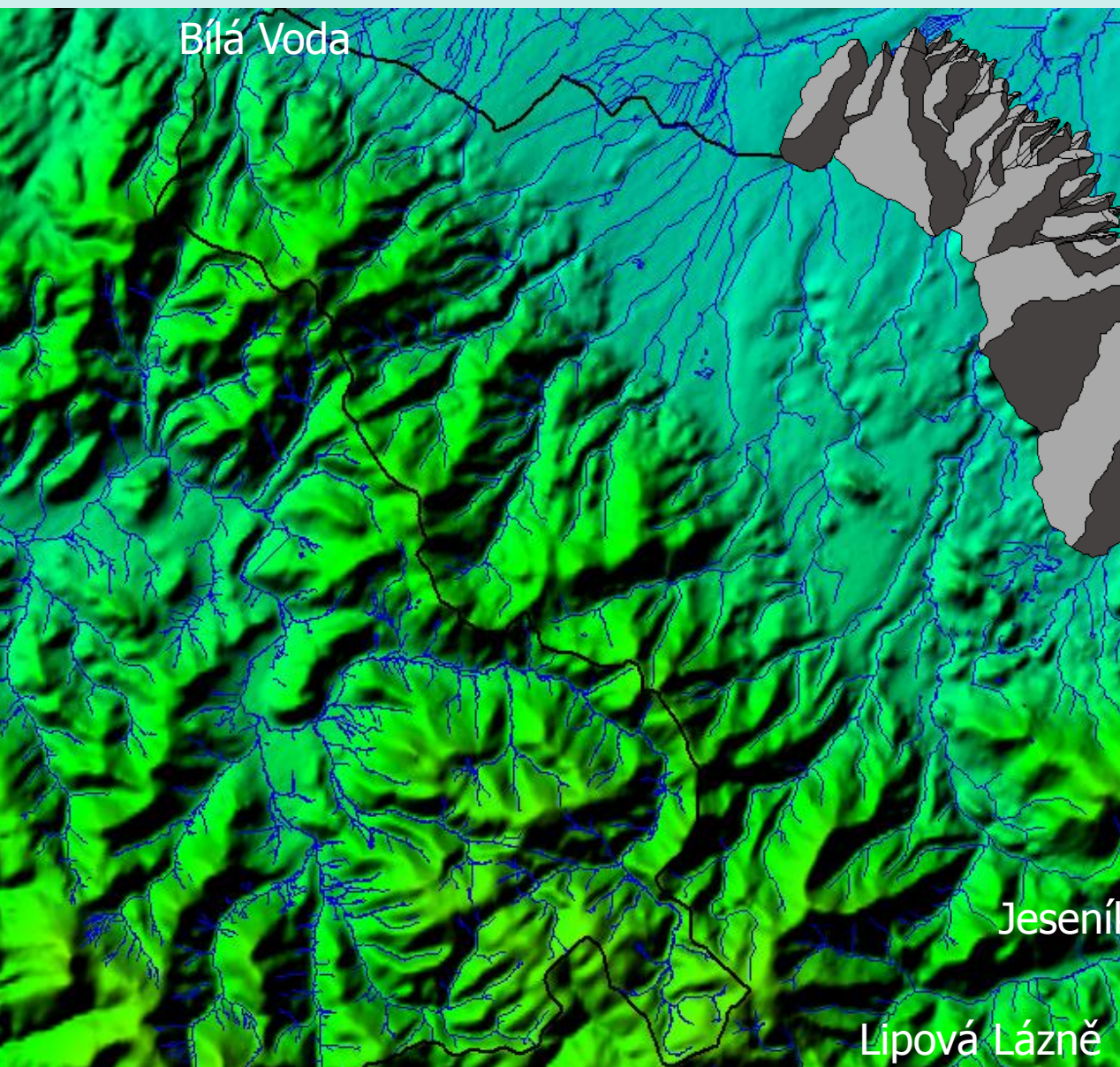
Asymetrie povodí v oblasti aktivní vrásno-zlomové tektoniky



Vrásná osa ukloněná – water gap snižuje se výška, odklonění toků u okraje vrásy

Odraz tektonických procesů v **říčním systému**

Bílá Voda



LIPOVÁ-LÁZ

Zlomové svahy, aktivní okraje pohoří

Zlomové svahy, svahy na zlomové čáře

Rysy vyskytující se u všech svahů vázaných na zlomy:

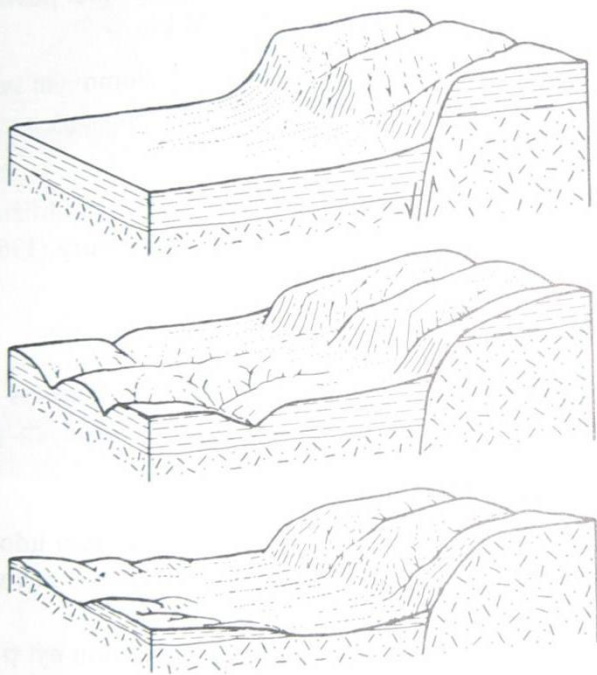
1. poměrně značný sklon svahu; je však třeba připomenout, že tento rys se může vyskytnout i u strukturních svahů, tj. terénních stupňů vázaných na odolnější horniny,
2. zlom při úpatí,
3. lichoběžníkové nebo trojúhelníkové facety na konci rozsoch mezi údolími rozřezávajícími svah; jak již bylo zdůrazněno, *facety* nejsou zbytky původní zlomové plochy,
4. poměrně přímý průběh svahu v půdorysu; zlomové svahy mohou být přirozeně i zvlněné, ale zpravidla probíhají přímočařeji než svahy strukturní nebo svahy vytvořené exogenními geomorfologickými pochody,
5. hluboko zaříznutá údolí tvaru V se skalními dny, které sahají až ke zlomu,
6. zvětšení sklonu dna údolí poblíž zlomu; zejména u aktivních zlomových svahů se zvětšuje spád vodního toku a údolí se zužují,
7. údolí, která nesahají až k úpatí svahu, nýbrž jejich dna končí stupňovitě neboli visutě nad úpatím svahu (tzv. *visutá údolí*),
8. řady pramenů při úpatí svahů,
9. výlevy lávy podél zlomů při úpatí.

Demek (1987)

Obecná geomorfologie

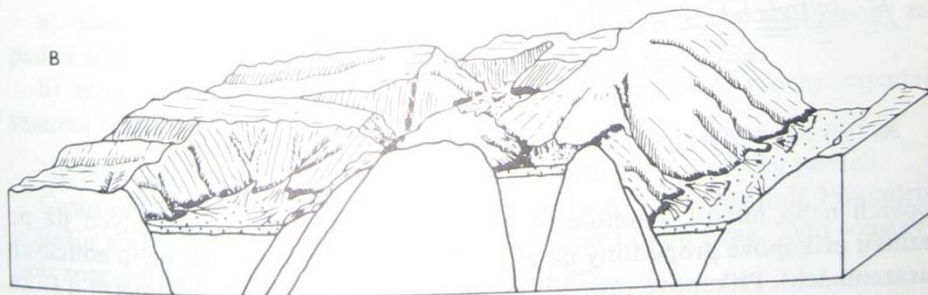
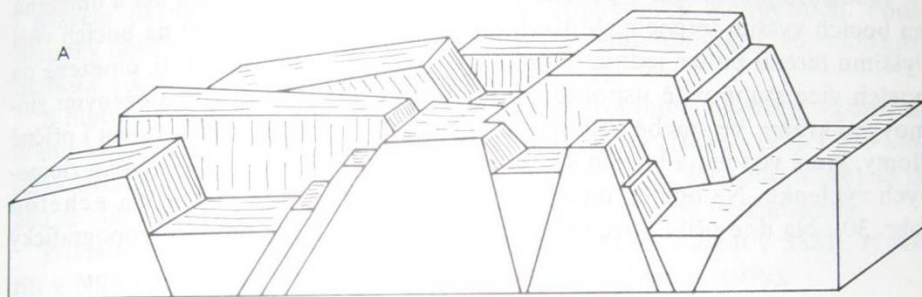
Další rysy, které se často vyskytují u svahů vázaných na zlomy, i když nejsou přímo dokladem zlomů, jsou tyto:

1. časté sesuvy; *sesuvy* jsou relativně rychlé, krátkodobé klouzavé pohyby hmot na svahu podle jedné nebo více smykových ploch, které jsou vyvolány působením zemské tíže,
2. výskyt výklenků, sedel a lomů spádu ve hřebtech bez zřetelné strukturní kontroly, tj. bez zřetelné závislosti na odolnosti hornin,
3. dlouhé, přímé a rovnoběžné úseky vodních toků, které probíhají přes horniny různé odolnosti,
4. pravouhlé ohyby vodních toků; v místech ohybu vodní tok nezřídka přibírá přítok tekoucí v původním směru hlavního toku, jindy za rozvodím vzniká nový vodní tok, tekoucí ve směru hlavního vodního toku v sousedním povodí.



Pouze u zlomových svahů se pak vyskytují tyto rysy:

1. nezávislost svahu na geomorfologické odolnosti hornin; např. jestliže jsou na svahu méně odolné horniny než v nižším terénu nebo jsou-li jak na svahu, tak i v nižším terénu nekonsolidované horniny, můžeme plným právem pokládat terénní stupeň za zlomový svah,
2. výskyt malých prolomů při úpatí svahu; prolomy jsou tektonické sníženiny omezené zlomy,
3. výskyt jezer v místech, kde zlomový svah protíná údolí,
4. častá silná zemětřesení,
5. rozlámání staršího topografického povrchu, zejména můžeme-li dokázat, že stupeň porušil tvary nacházející se jak na vyzdviženém, tak i na pokleslém území, takže vznikla např. opuštěná údolí bez vodních toků,
6. rozlámání a deformace říčních teras (viz kapitolu Fluviální pochody).



29. Model vývoje tvarů vzniklých pohyby ker zemské kůry. Vysvětlivky: A — původní tvary

- hlavní rysy svahů vázaných na zlomy:
 - velký sklon
 - přímý průběh
 - nezávislost svahu na geomorfologické hodnotě hornin
 - hluboce zaříznutá údolí tvaru V porušující svah
 - časté prameny při úpatí
 - vznik hrazených jezer
 - seismická aktivita

Zlomové svahy, aktivní okraje pohoří



➤ Aktivní okraj pohoří (mountain front)

- lineární (poklesové zlomy) nebo zvlňené (přesmyky)
- triangulární facety (*faceted spurs, flatirons*)
 - výzdvih, vzniku zlomového svahu, následné erozní rozčlenění
 - jejich báze - paralelní s průběhem zlomu (Cotton 1950; Bloom 1978; Stewart, Hancock 1990)
 - sklon facet - $25 - 35^\circ$ X sklon zlomu $50 - 90^\circ$ (Wallace 1978)
 - prostorové rozmístění – záleží na vývoji údolní sítě
 - stupňovité uspořádání facetovaných výběžků - výsledek
 - a) epizodického výzdvihu (Hamblin 1976; Anderson 1977)
 - b) distribuovaných pohybů podél paralelních zlomů v zóně hlavního zlomu omezujícího pohoří (Menges 1988; Zuchiewicz, McCalpin 2000)

Zlomové svahy, aktivní okraje pohoří



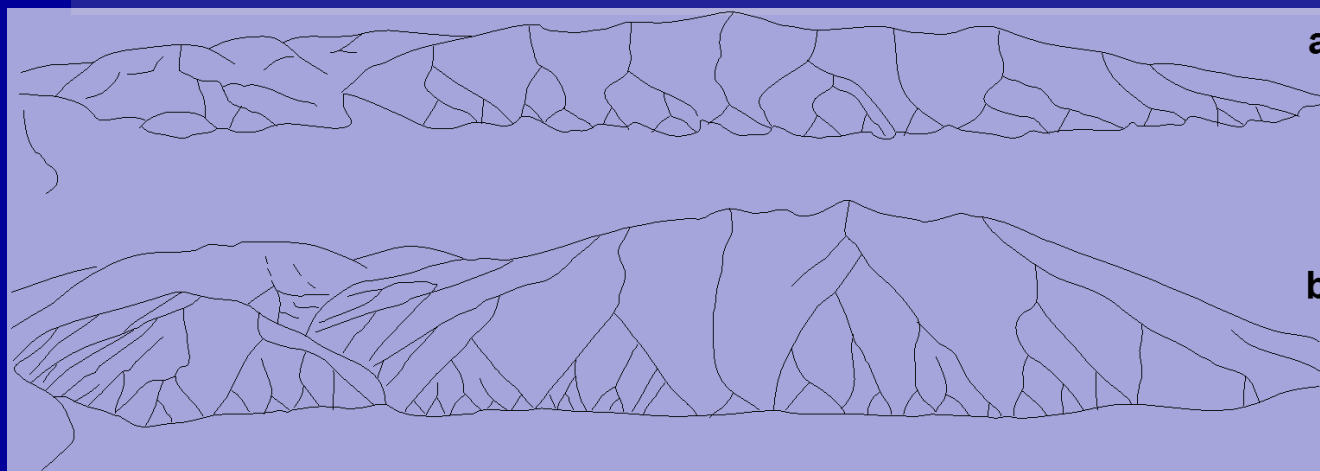
stupňovité uspořádání facet

Zlomové svahy, aktivní okraje pohoří

Modelace facetovaných hřbetů - výsledek

a) fluviální eroze současně působící s výzdvihem úpatní fronty
(Hamblin 1976; Wallace 1978)

b) zpětný ústup svahu, za přispění gravitačních svahových pohybů
(Anderson 1977)



**Spanish Fork –
segment zlomu
Wasatch
(Anderson 1977)**

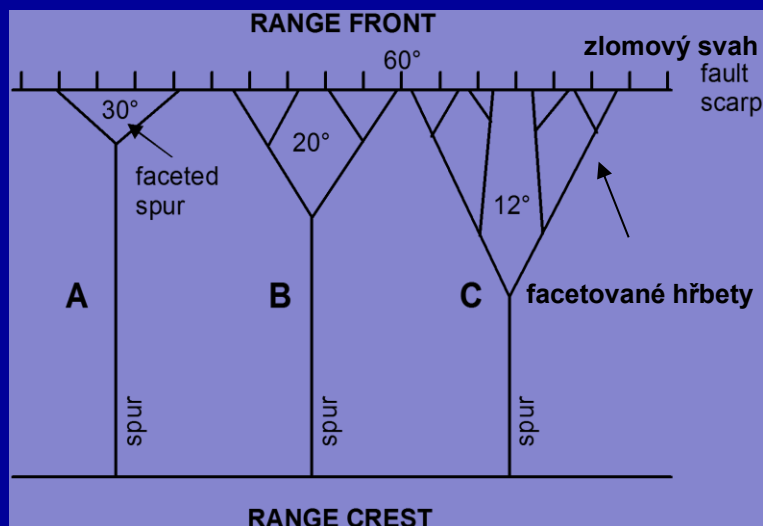
**a) paleogenní a
neogenní planace**

b) současnost

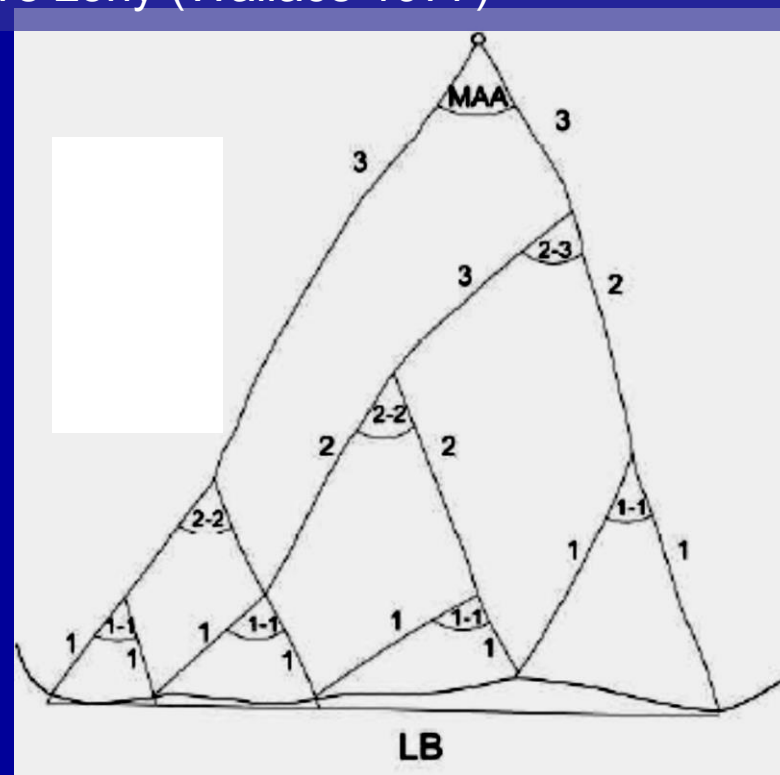
Velikost facetovaných výběžků hřbetů - funkce vzdálenosti mezi hlavními údolími rozčleňujícími úpatí pohoří a velikostí hřbetů mezi nimi

Zlomové svahy, aktivní okraje pohoří

- Výška zlomového svahu, tzn. hřbetů zakončených facetou - funkce výzdvihu
průměrný sklon facety - rychlost degradace svahu závislou na čase, různé
odolnosti podloží vůči erozi, úhlu mezi původním vyzdviženým svahem
a zlomovou plochou, šířce zlomové zóny (Wallace 1977)



vývoj facetovaných hřbetů s časem
ústup, snižování sklonu, rozčlenění



rozčlenění složeného facetovaného hřbetu
3 generace

Zlomové svahy, aktivní okraje pohoří

Facety Rychlebských hor

Studované segmenty – odlišná výška zlomového svahu (nadm. výška nejbližších elevací - zbytky facet)

Trojúhelníkové či lichoběžníkové facety - dvou až pětistupňové (2 – 5 generací), podobně jako v polské části zlomové zóny OSZ a jsou tedy v různém stavu zachování a stupni erozního přemodelování (Badura et al. 2007).

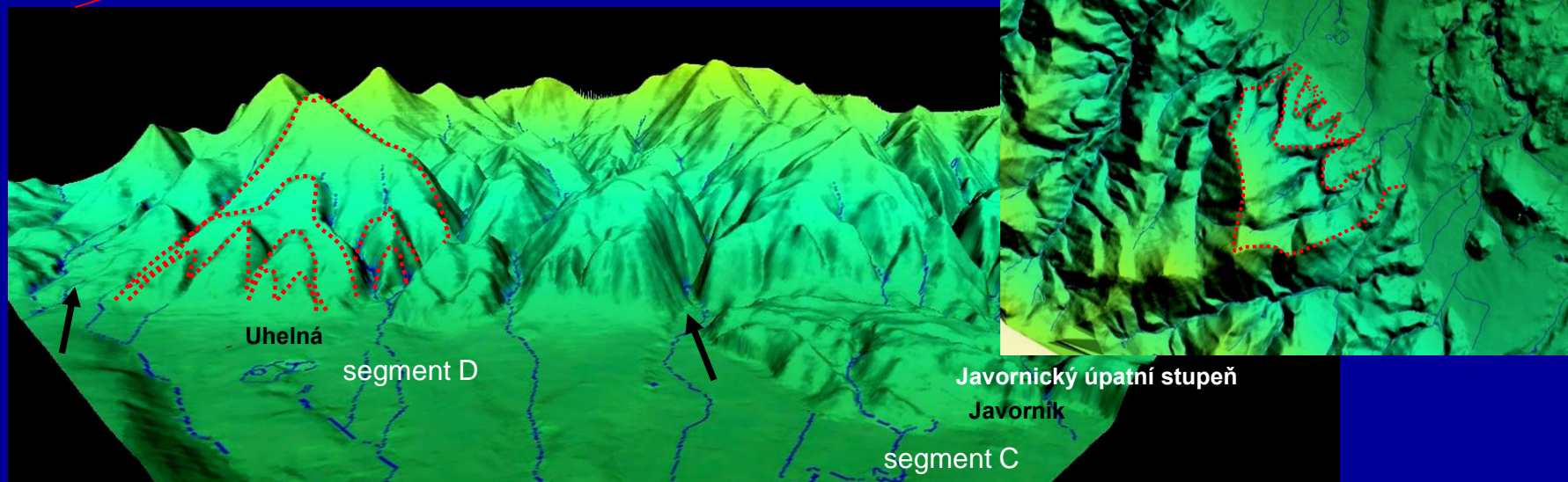
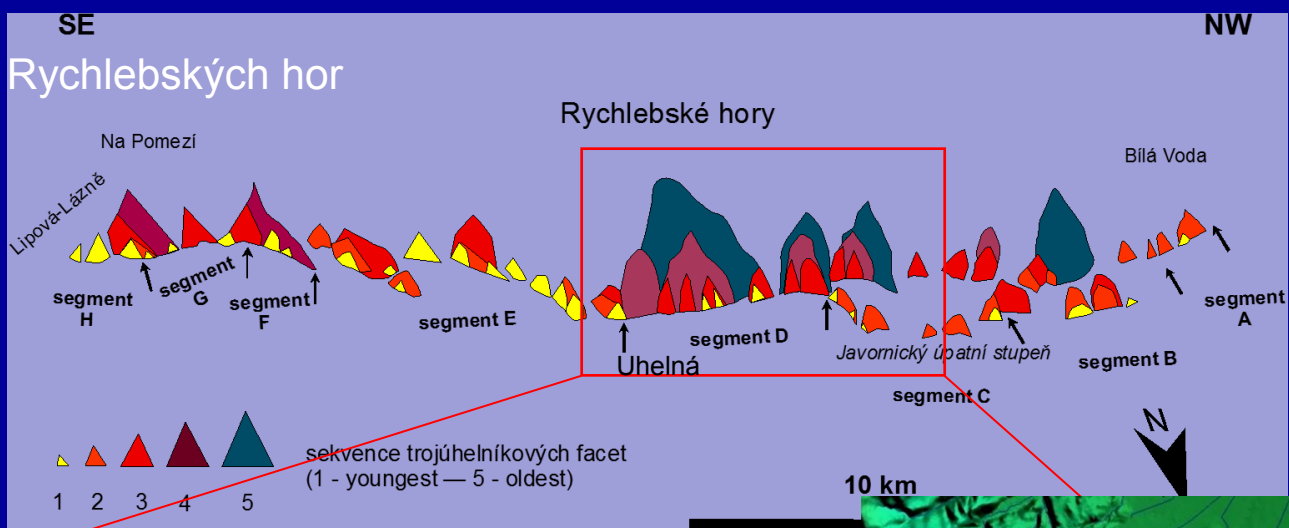
Nejvyšší, tzn. nejvíce stupňové facety (5 generací) – Soví hory a Rychlebské hory (nejvýše vyzdvižené části okraj. sudet. zlomu)

Rychlebské hory – okolí Uhelné

průměr. výška u facet – u 5 stupňových – 275m, 173m, 111m, 60m, 28m

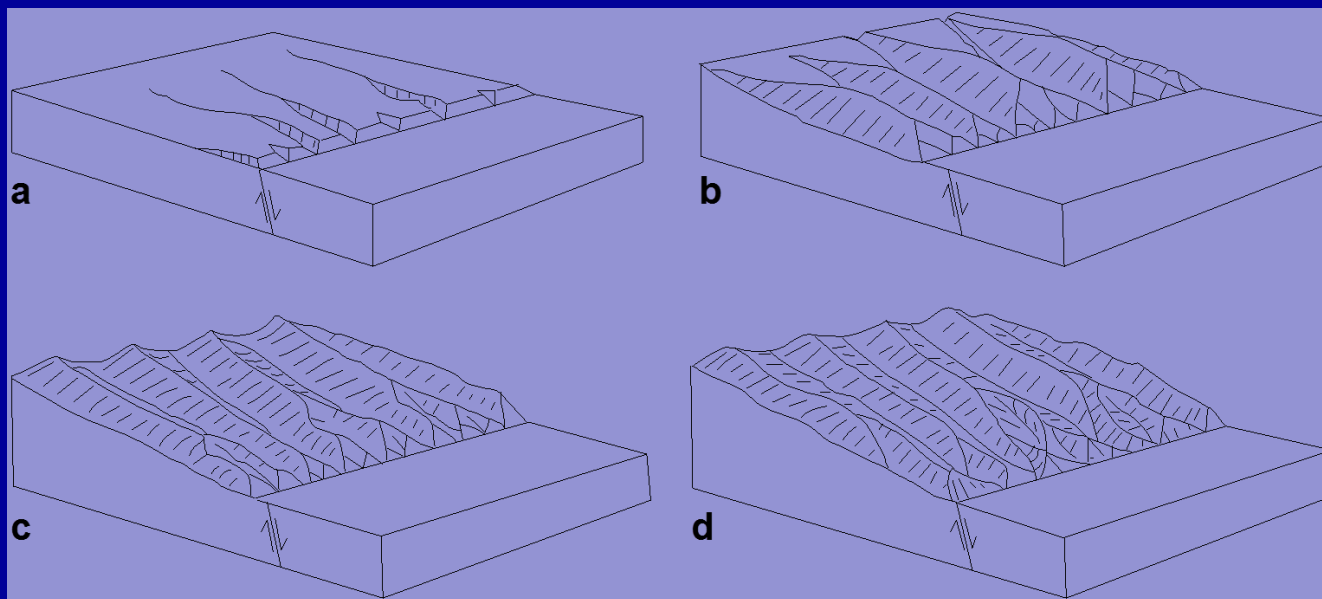
Zlomové svahy, aktivní okraje pohoří

Facety Rychlebských hor



Zlomové svahy, aktivní okraje pohoří

Vývojová stádia složených facetovaných hřbetů



Anderson (1977)

Opakované epizodické pohyby – vznik

➤ n–set m vysoký zlomový svah,

➤ zlomově podmíněné okraje pohoří – 100ky km dlouhé,
až 1 km vysoké (Stewart, Hancock 1994)

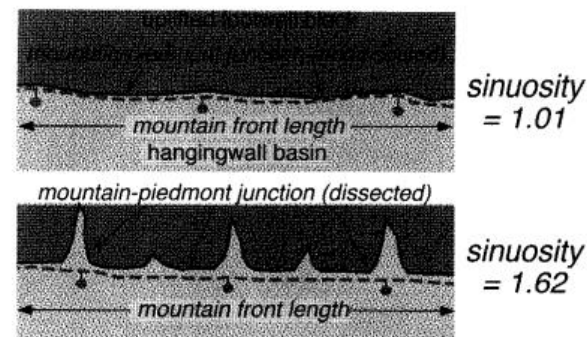
Zlomové svahy, aktivní okraje pohoří

Mountain front sinuosity index S_{mf} (Bull, McFadden 1977)

$$S_{mf} = (L_{mf}) / (L_s)$$

L_{mf} - length of mountain front

L_s - straight-line length of mf



- stupeň rozčlenění dříve přímočarého úpatí vázaného na zlom

vyšší S_{mf} – menší aktivita, více rozčleněné úpatí

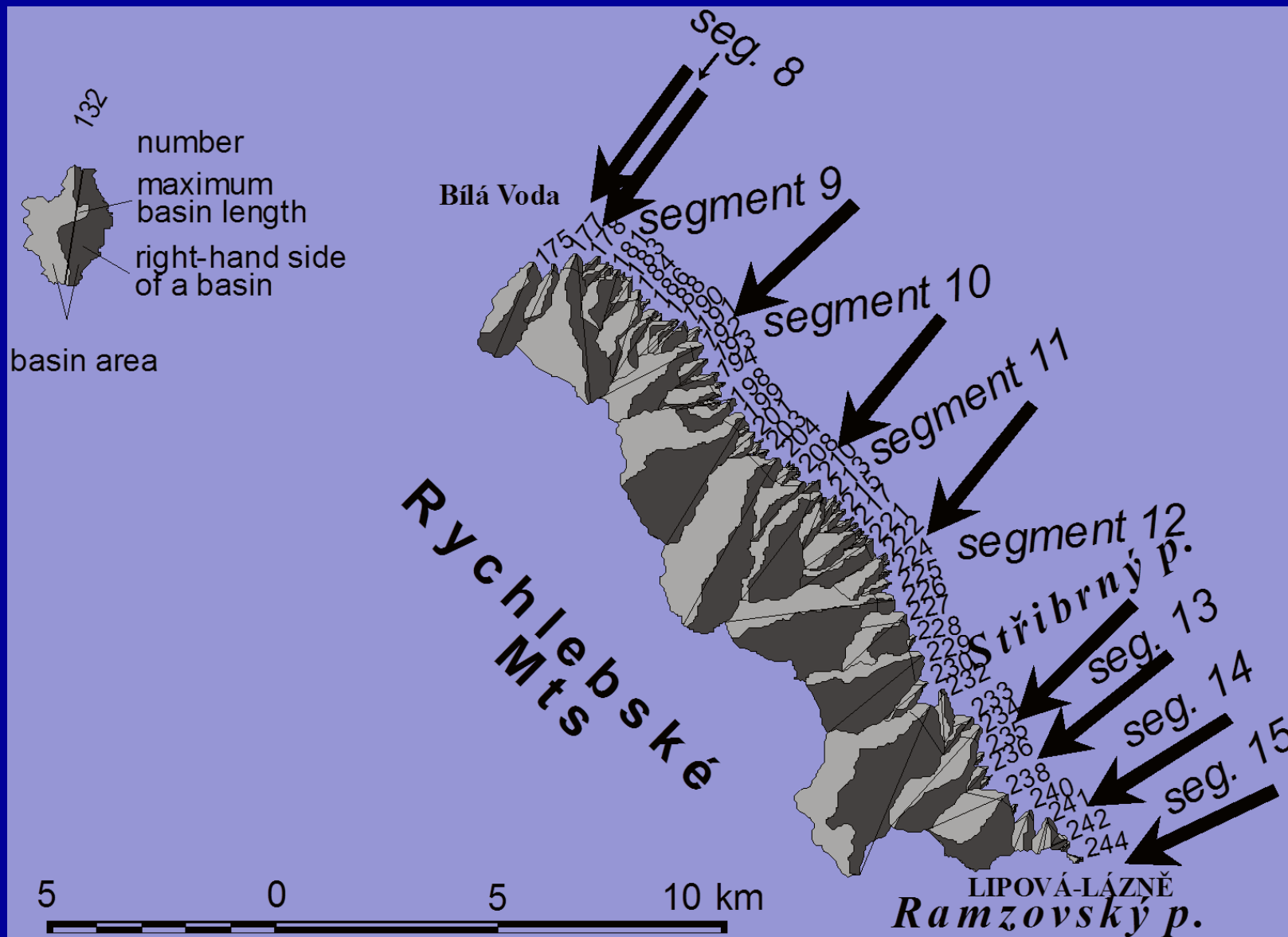
S_{mf} index < 1,4 indikuje tektonicky aktivní okraj pohoří,

1,4 až 3 odrážejí menší aktivitu, avšak stále aktivní tektoniku,

> 3 již neaktivní okraj pohoří, svah erozí a denudací ustoupil min. 1km z původní pozice vázané na průběh zlomu (Keller, Pinter 2002)

S_{mf} pro studované segmenty A – H: 1,013 až 1,11. Pro celý úsek OSZ včetně polské části průměr činí 1,051 což poukazuje na (!) relativně vysokou aktivitu a mladý výzdvih (viz Badura et al. 2007).

Zlomové svahy, aktivní okraje pohoří



Zlomové svahy, aktivní okraje pohoří

Parameter -

valley floor width - valley height ratio Vf (Bull, McFadden 1977)

$$Vf = 2Vfw / [(Eld - Esc) + (Erd - Esc)]$$

Vfw = valley width

Eld, Erd, Esc = výška rozvodnic nad dnem údolí (pravá, levá část povodí)

nízké hodnoty (<1,0) - hluboká údolí s aktivně zahlubujícími se toky

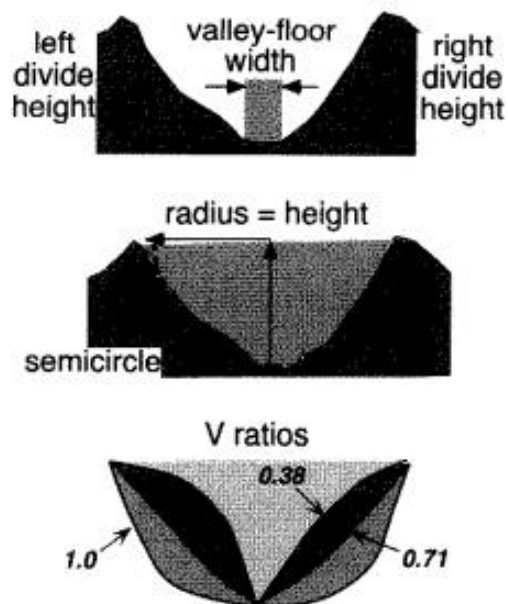
(obvykle spojováno s výzdvihem)

Ve studovaném úseku OSZ: Vf pohybuje průměrně v daných segmentech

mezi 0,06 - 0,97.

Zlomové svahy, aktivní okraje pohoří

FIGURE 10.6. Measurements of valley shapes in foot-wall blocks



Top: Valley-floor width-to-height ratio. Middle: Parameters for calculating a "V ratio." Bottom: Examples of V ratios for several valley shapes.

Morfologie zlomových svahů a jejich datování za použití difuzního modelu



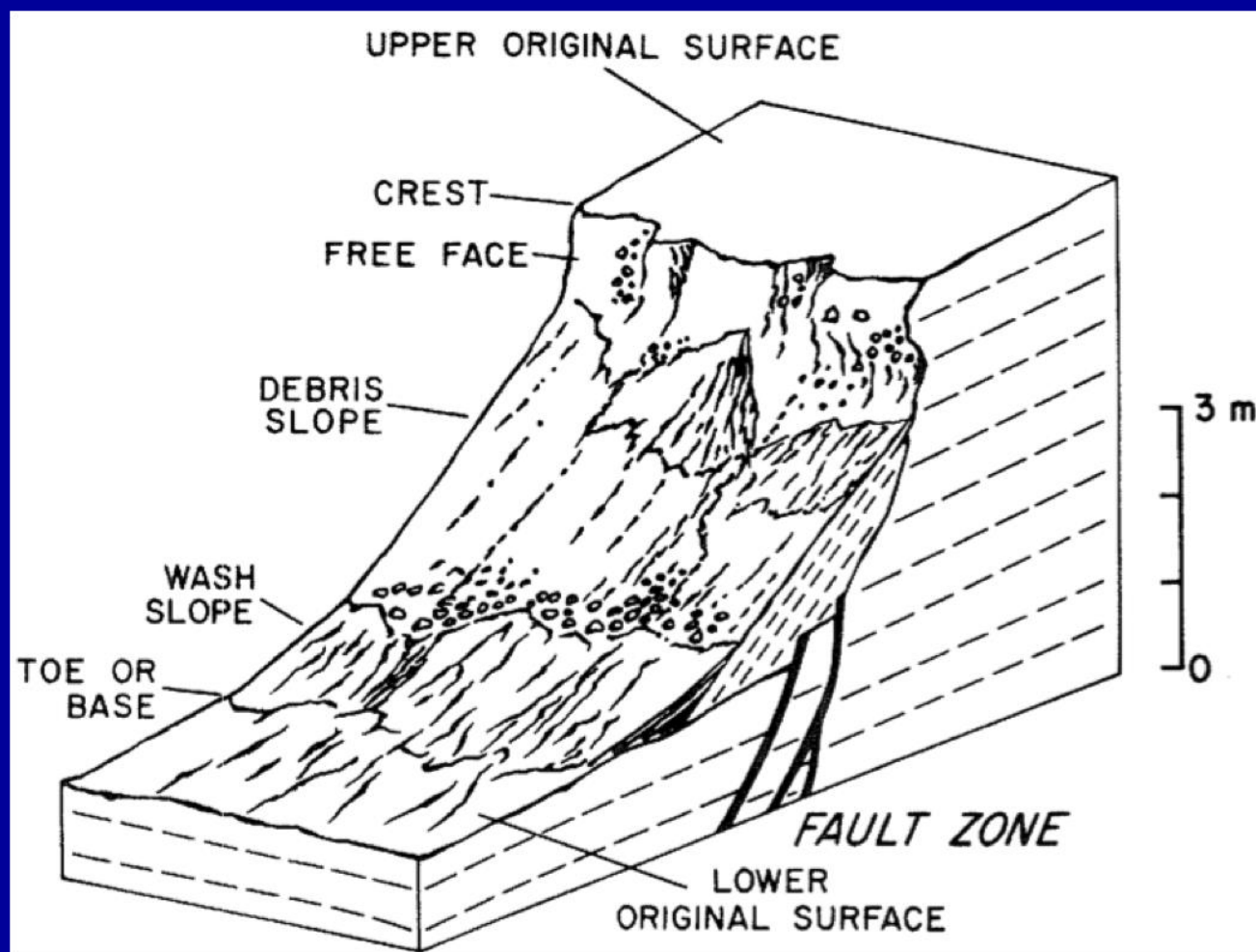
Zlomový svah

- Tektonický tvar reliéfu – zhruba koinciduje s plochou zlomu, který porušil zemský povrch
 - Typy svahů
 - Tvar svahu
 - Difuzní model

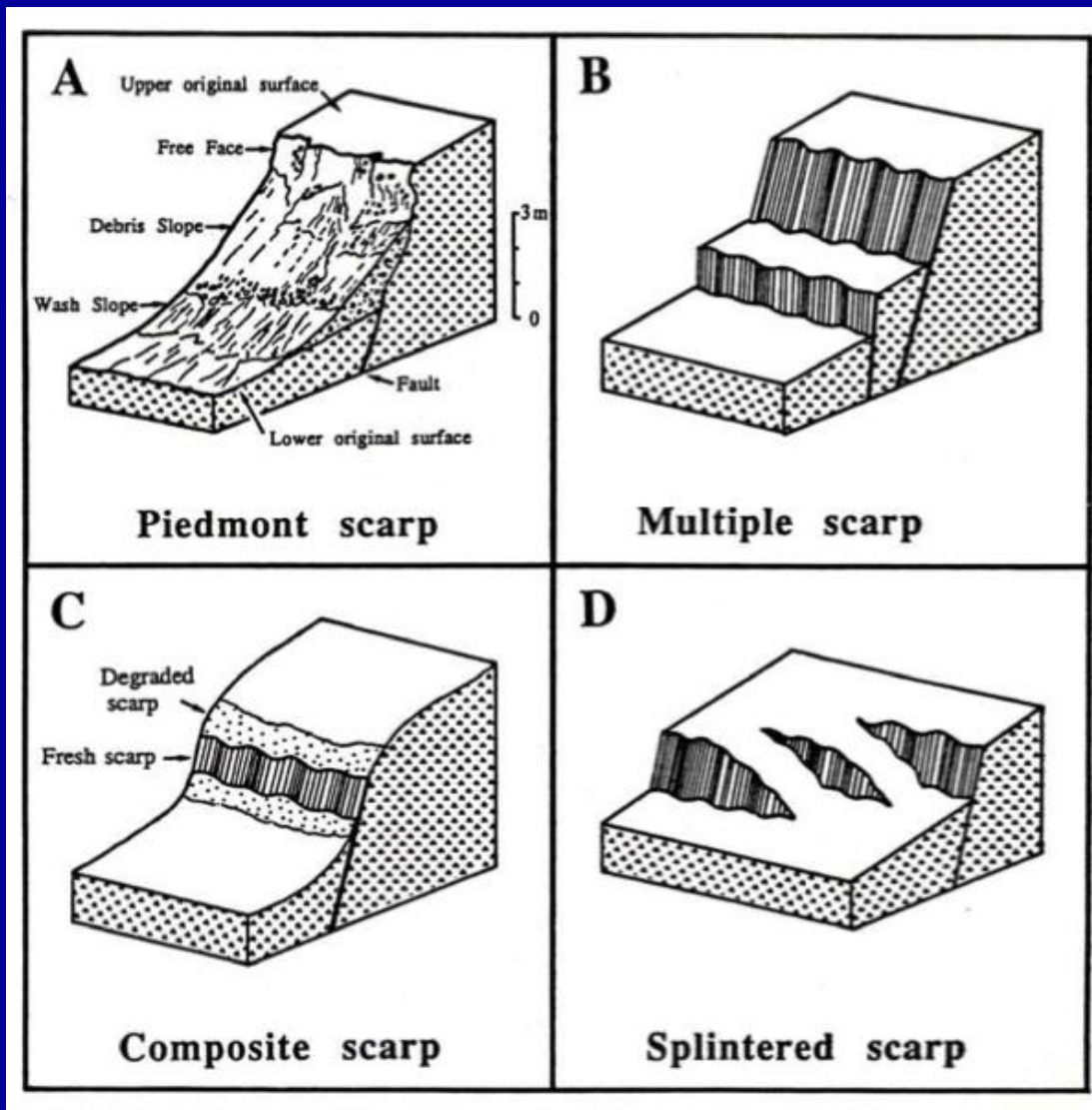
Zlomové svahy

Anatomie zlomového svahu

- *Toe a crest* - horní a spodní hrana zlomového svahu
- *Free face* - subvertikální část, obnažený zpevněný aluviální kužel nebo svahovina, vytvořená pohybem – může držet tvar – 10-1000 let
- *Debris slope* – osypový kužel akumulovaný pod free face gravitací
- *Wash slope* - část svahu při úpatí řízena fluviální erozí nebo akumulací



Zlomové svahy



Piedmont scarp (úpatní scarp)
- vzniká v nezpevněných sedimentech jedním pohybem

Multiple scarp (n-násobný)
- vzniká na paralelních zlomech či větvích jednoho zlomu při jednom pohybu

Composite scarp (složený)
- vzniká obnovením pohybů pohybů a degradací předchozích free face

Splintered scarp (rozštěpený)
- vzniká při pohybu rozloženém na en échelon segmentech zlomu



Ohlasy - striace

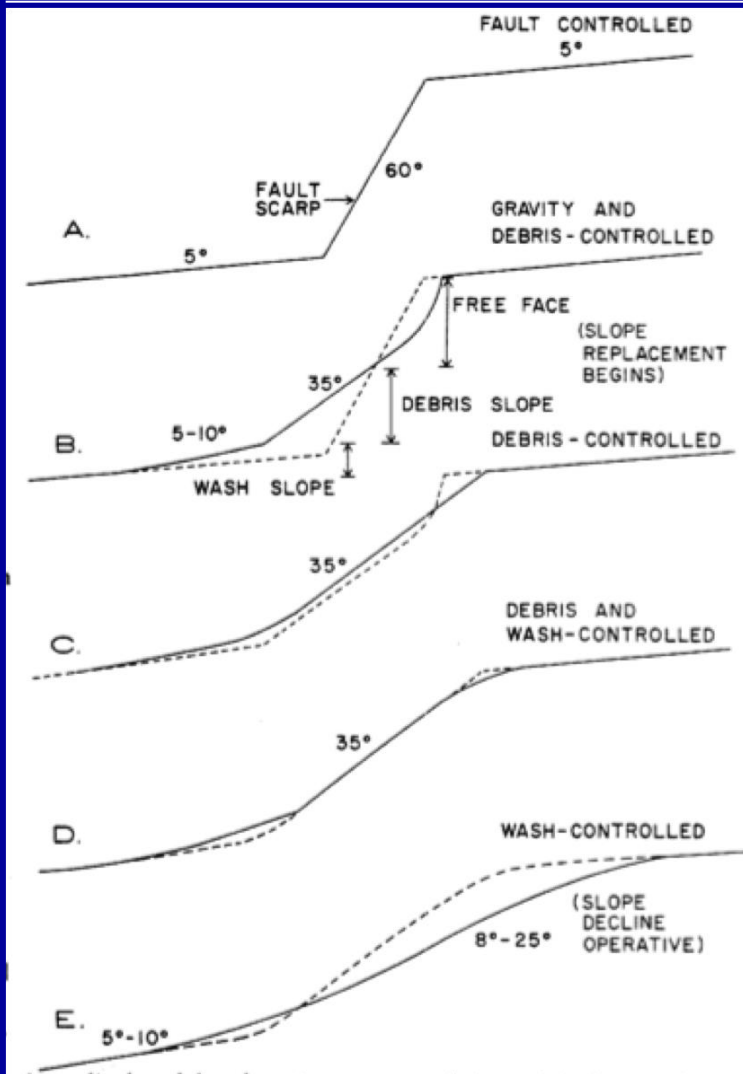


Piedmont scarp

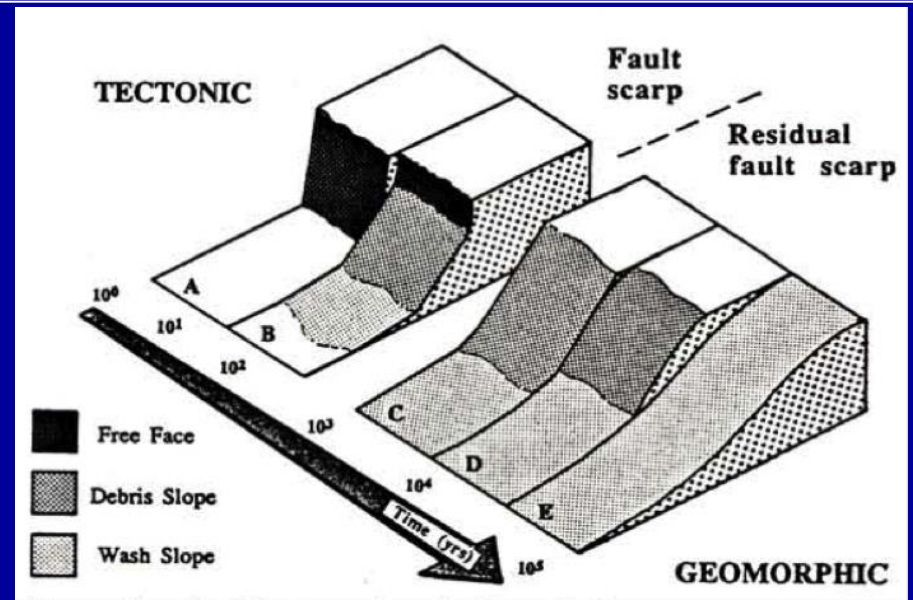


Composite scarp

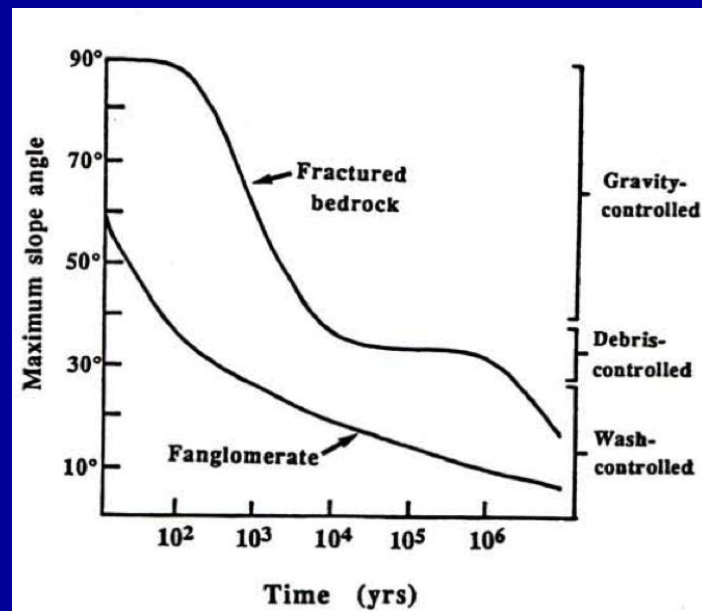
Degradace zlomového svahu



Wallace, 1977



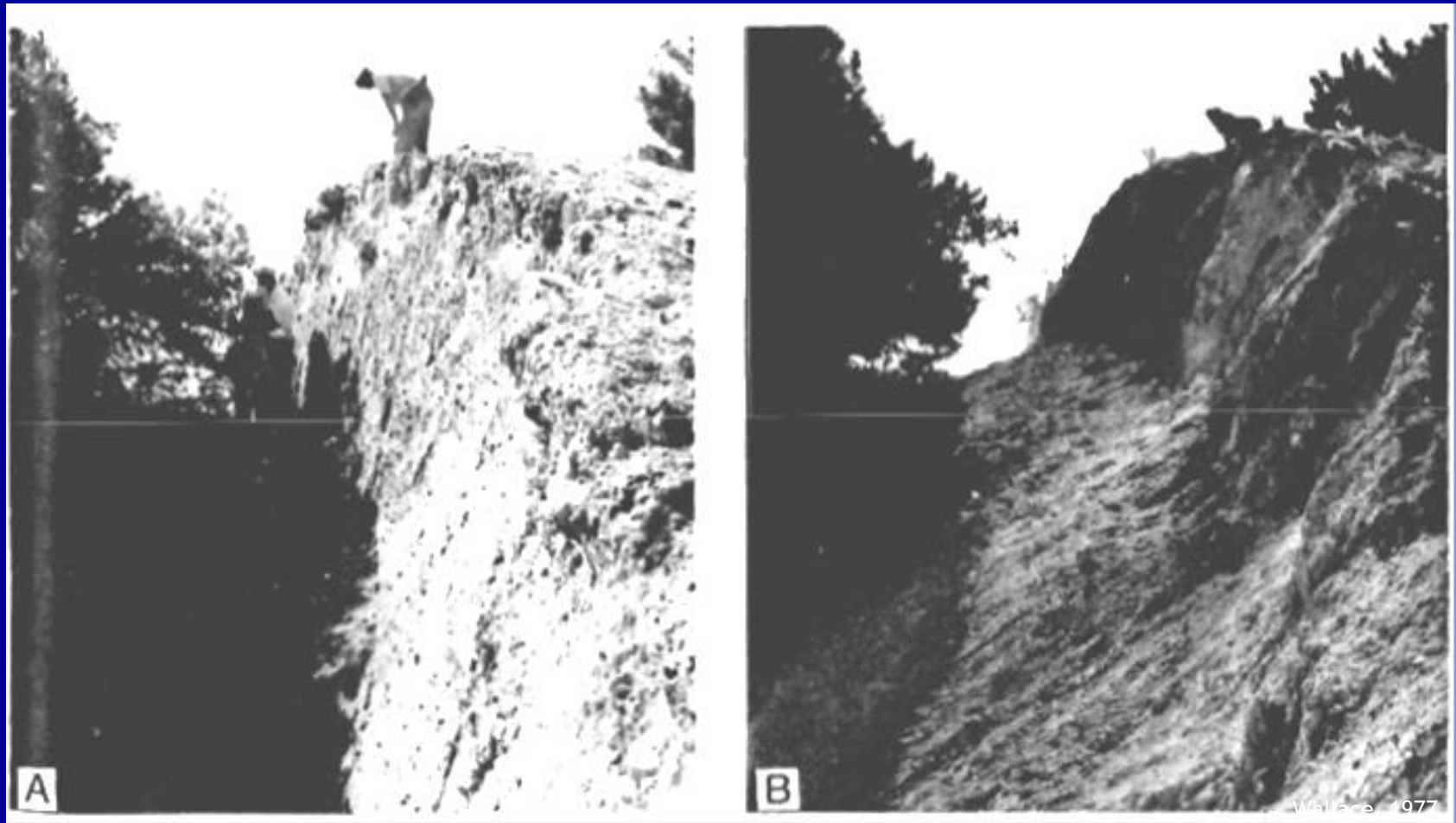
Stewart, Hancock, 1990



Wallace, 1977

Zlomové svahy

Fallon-Stillwater earthquake, July 6th, 1954 M 6.6



Pictures taken from 1954 and 1974 show several meters of retreat from the free face, forming a debris-slope.

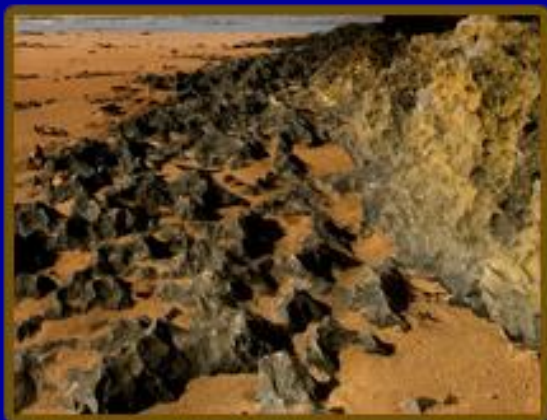
Zlomové svahy



Hirschfeld



Cunningham



Faktory ovlivňující rychlost degradace

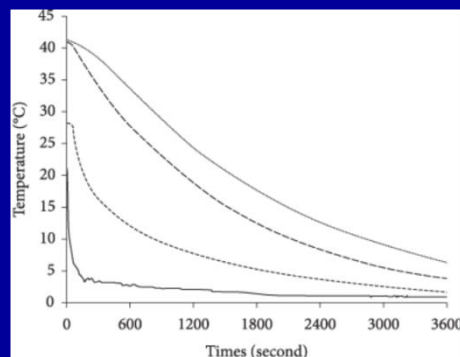
- Klima
- Výška svahu
- Topografie – sklon svahu
- Litologie
- Vegetace
- Větrná eroze



Zlomové svahy

Difuzní model

- Pohyb média z oblasti s vyšší koncentrací do oblasti s nižší koncentrací. Difuze je výsledek kinetických vlastností částic hmoty. Částice se budou směřovat až dosáhnou rovnoměrného rozložení.
- tepelný tok – termální difuze – z teplého tělesa na studené = obě vlažné
- difuze plynů - směs plynů, plyn s vyšší koncentrací – samovolně do nižší koncentrace difuze hmoty – analogie - fault scarp!!



Zlomové svahy

Aplikace difuzního modelu na morfologii zlomového svahu

Užitečné , kde není dostatek materiálu na datování –
morfologické datování

Rychlý, předběžný odhad stáří svahu – tzn. posledního
zemětřesení, které svah vytvořilo

Předpoklady:

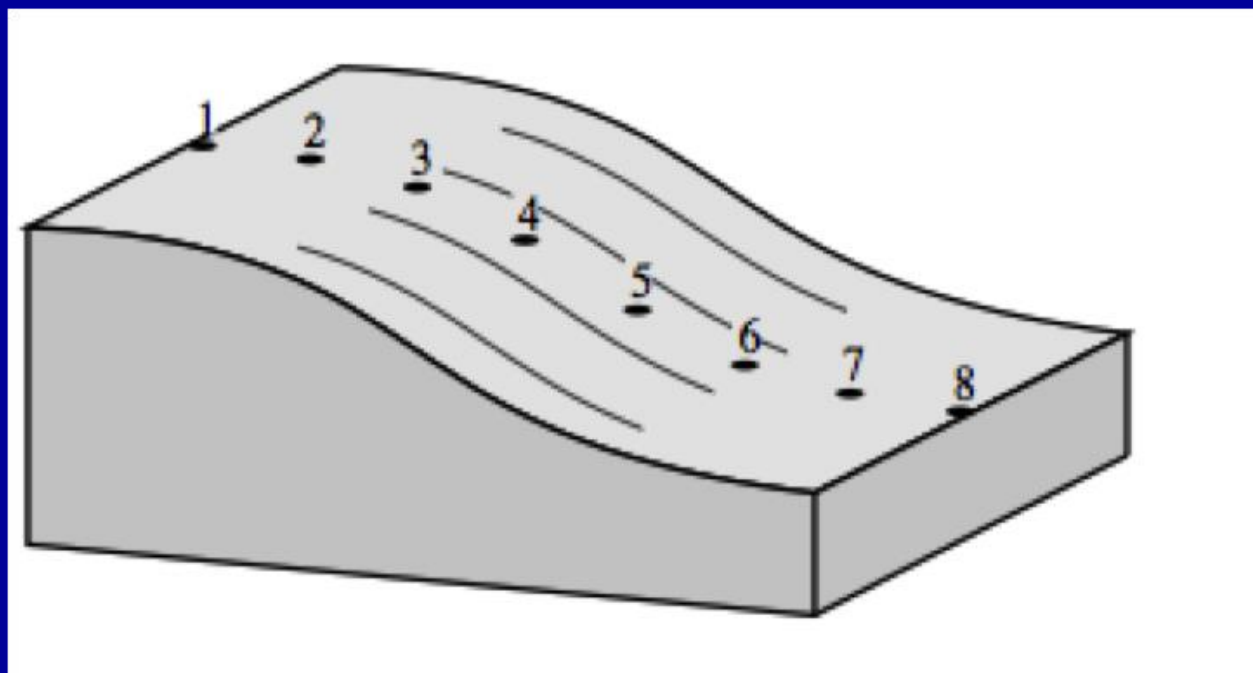
- Nezpevněné sedimenty (ne skalní horniny!) – dostatek materiálu pro transport
- Svah byl vytvořen během jednoho zemětřesení, není složený (composite)
- Free face z nesoudržného materiálu – gravitačně nestabilní, stále opadává až do dosažení úhlu přirozené sklonitosti (angle of repose)

Zlomové svahy

Modelování difuze

- Série bodů s nadm. výškou v linii kolmé ke svahu

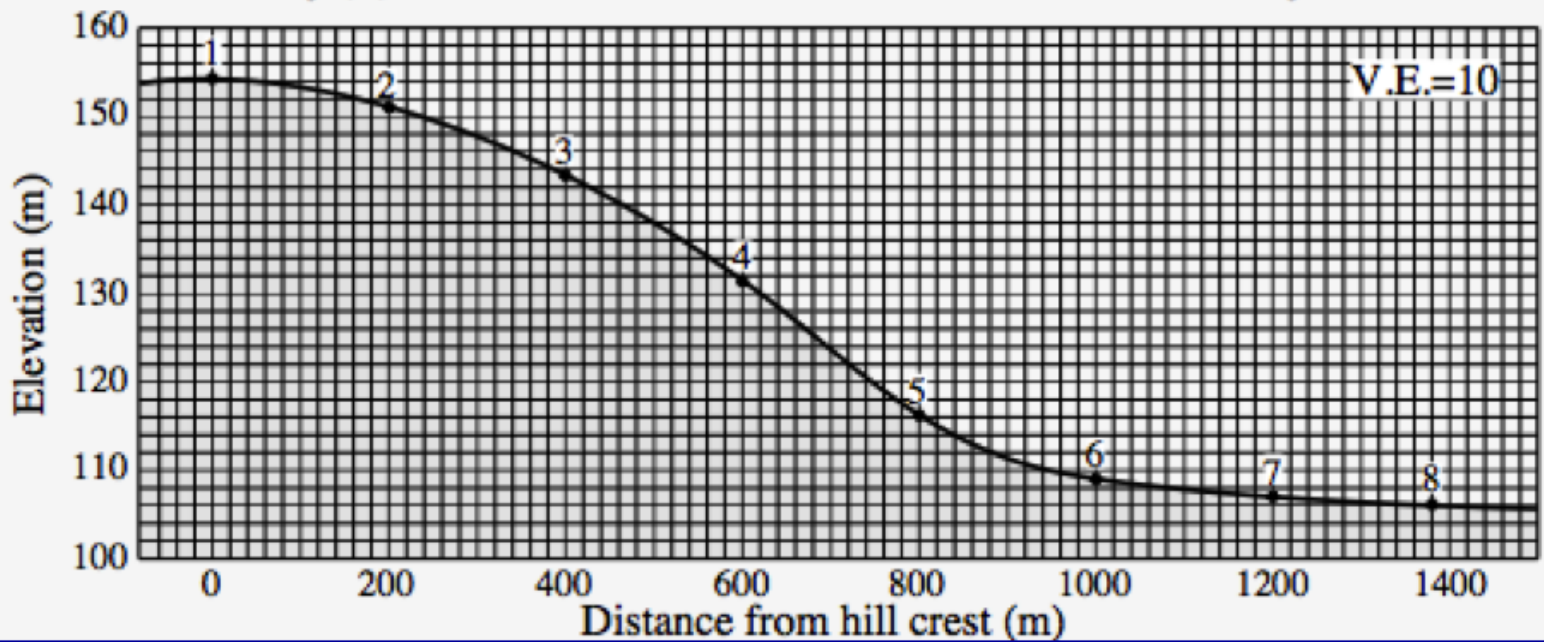
Parameter	Explanation	Units
z	elevation	meters
t	time	years
R	sediment flux rate	m^2/yr
x	horizontal position	meters
$\delta z/\delta t$	elevation change over time	m/yr
$\delta R/\delta x$	change in transport rate	m^2/yr^2
K	diffusivity	m^2/yr
$\delta z/\delta x$	slope gradient	none



- Výška + vzdálenost – příčný profil

Difuzivita K –
konstanta závisí na
klimatu a materiálu
 $0.1-15 m^2/tis. let$

Modelování vývoje svahu: Jak se změní tento svah za 1000 let s difuzivitou $50 \text{ m}^2/\text{rok}$??



	1	2	3	4	5	6	7	8
Distance (m) = x =	0	200	400	600	800	1000	1200	1400
Elevation (m) = z =	154.0	151.0	144.0	131.0	116.0	109.0	107.0	106.0

	1	2	3	4	5	6	7	8
Gradient = $\frac{\delta z}{\delta x}$	0.015	0.035	0.065	0.075	0.035	0.010	0.005	

Sediment flux/transport rate
míra odnosu

$$R = K \times \frac{\partial z}{\partial x}$$

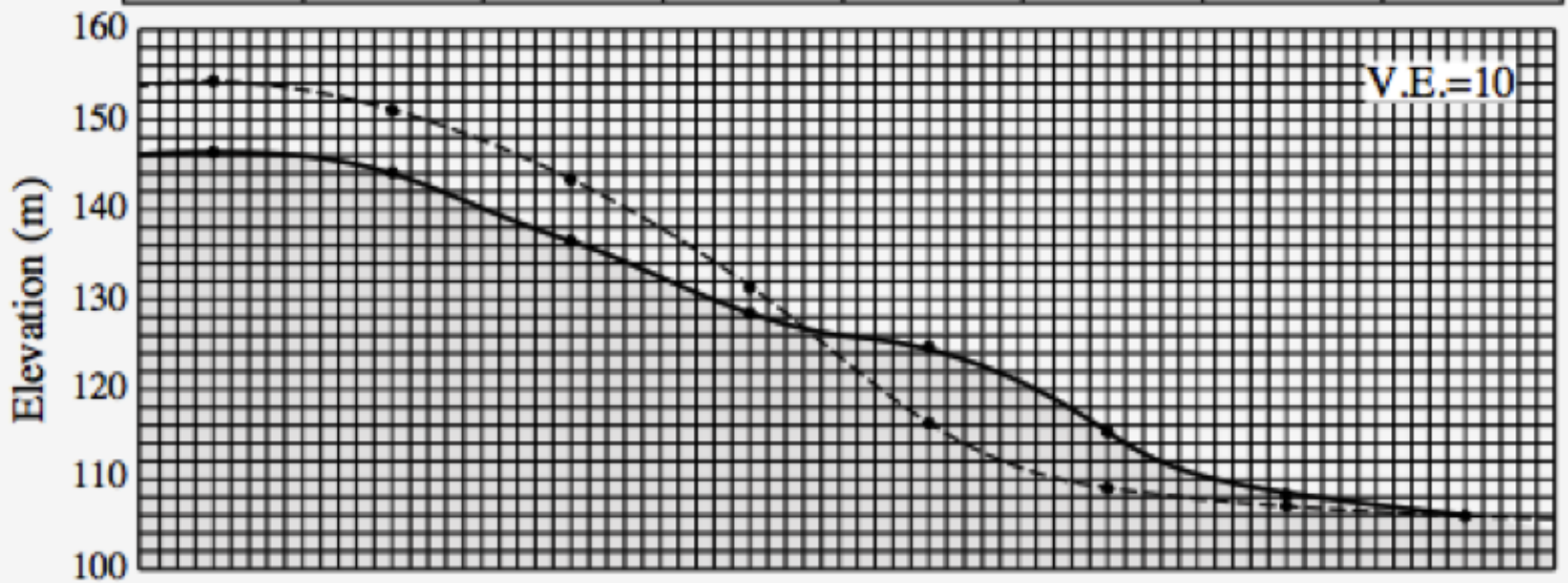
	1	2	3	4	5	6	7	8
d. transport rate = R = (m^2/yr)	0.75	1.75	3.25	3.75	1.75	0.5	0.25	

Zlomové svahy

Sed. flux = $R \cdot 1000$ yrs (m^2)	1	2	3	4	5	6	7	8
	750	1750	3250	3750	1750	500	250	

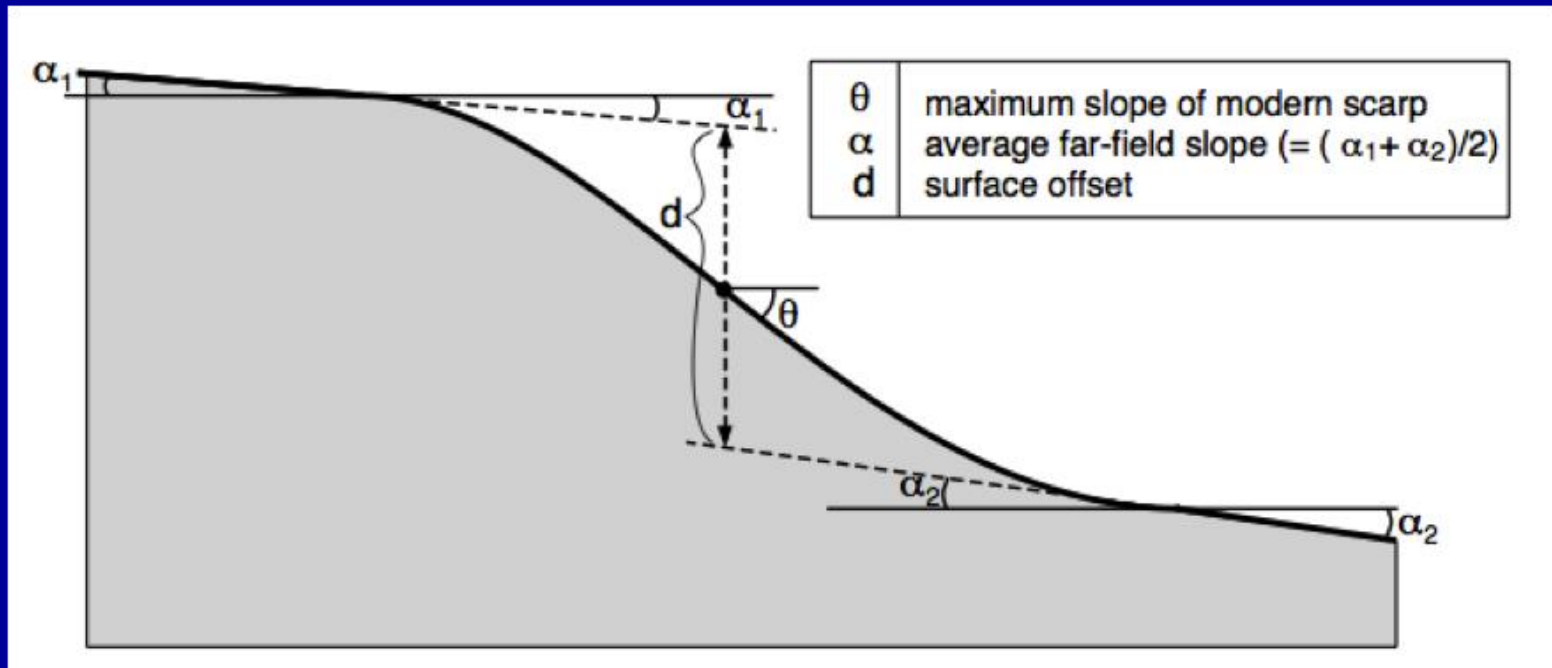
Sed. gained \bar{z} sed. lost (m^2)	1	2	3	4	5	6	7
	-1500*	-1000	-1500	-500	+2000	+1250	+250
Elevation change (m)	-7.5	-5.0	-7.5	-2.5	+10.0	+6.25	+1.25

NEW elevation (m)	1	2	3	4	5	6	7	8
	146.5	146.0	136.5	128.5	126.0	115.25	108.25	106.0



Zlomové svahy

Difuzní model

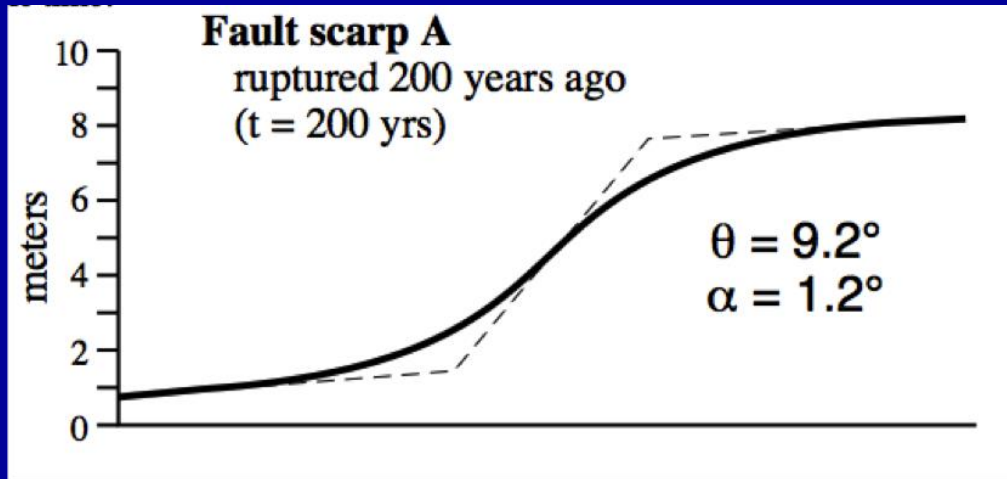


$$\kappa t = \frac{d^2}{4\pi} \frac{1}{(\tan \theta - \tan \alpha)^2},$$

Parameter	Explanation	Units
d	vertical displacement on a scarp	meters
π	pi = 3.14159	none
θ	maximum scarp slope angle	degrees
α	average far-field slope angle	degrees

Zlomové svahy

Zlomový svah o známém stáří



$$K t = \frac{d^2}{4\pi} \frac{1}{(\tan \theta - \tan \alpha)^2},$$

- $K = [(6^2/4\pi) \times 1/(\tan 9.2 - \tan 1.2)^2] / 200$

$$= [(28.27) \times 50.29] / 200$$

- $K = 7.12$

Zlomové svahy

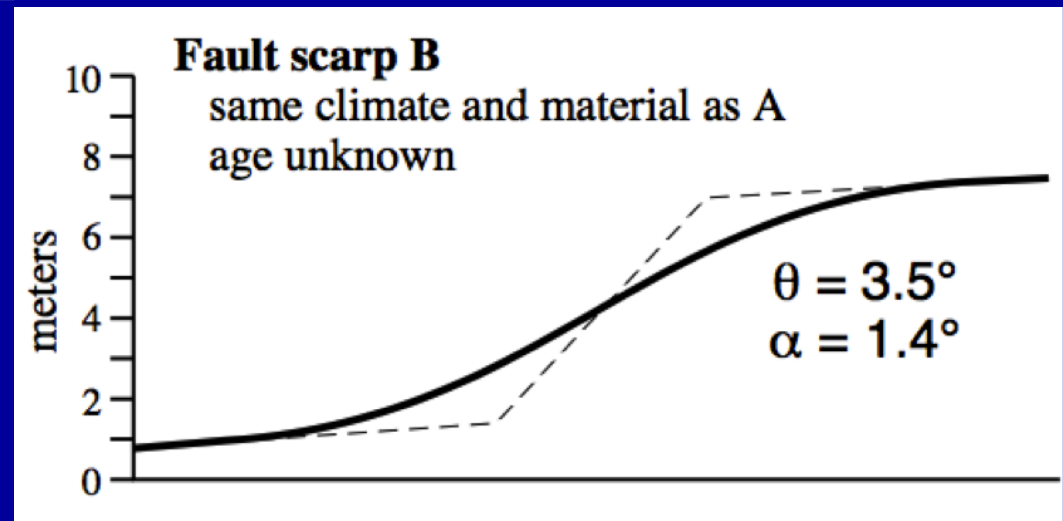
$$\kappa t = \frac{d^2}{4\pi} \frac{1}{(\tan \theta - \tan \alpha)^2},$$

Zlomový svah neznámého stáří v podobném klimatu i materiálu

$$- t = \left[\frac{6^2}{4\pi} \times \frac{1}{(\tan 3.5 - \tan 1.4)^2} \right] / 7.12$$

- $t = \left[(28.27) \times 741.5 \right] / 7.12$

$$- t = \underline{2\,944 \text{ yrs}}$$



Zlomové svahy

Elsinore fault, Alverson canyon, Coyote mountains



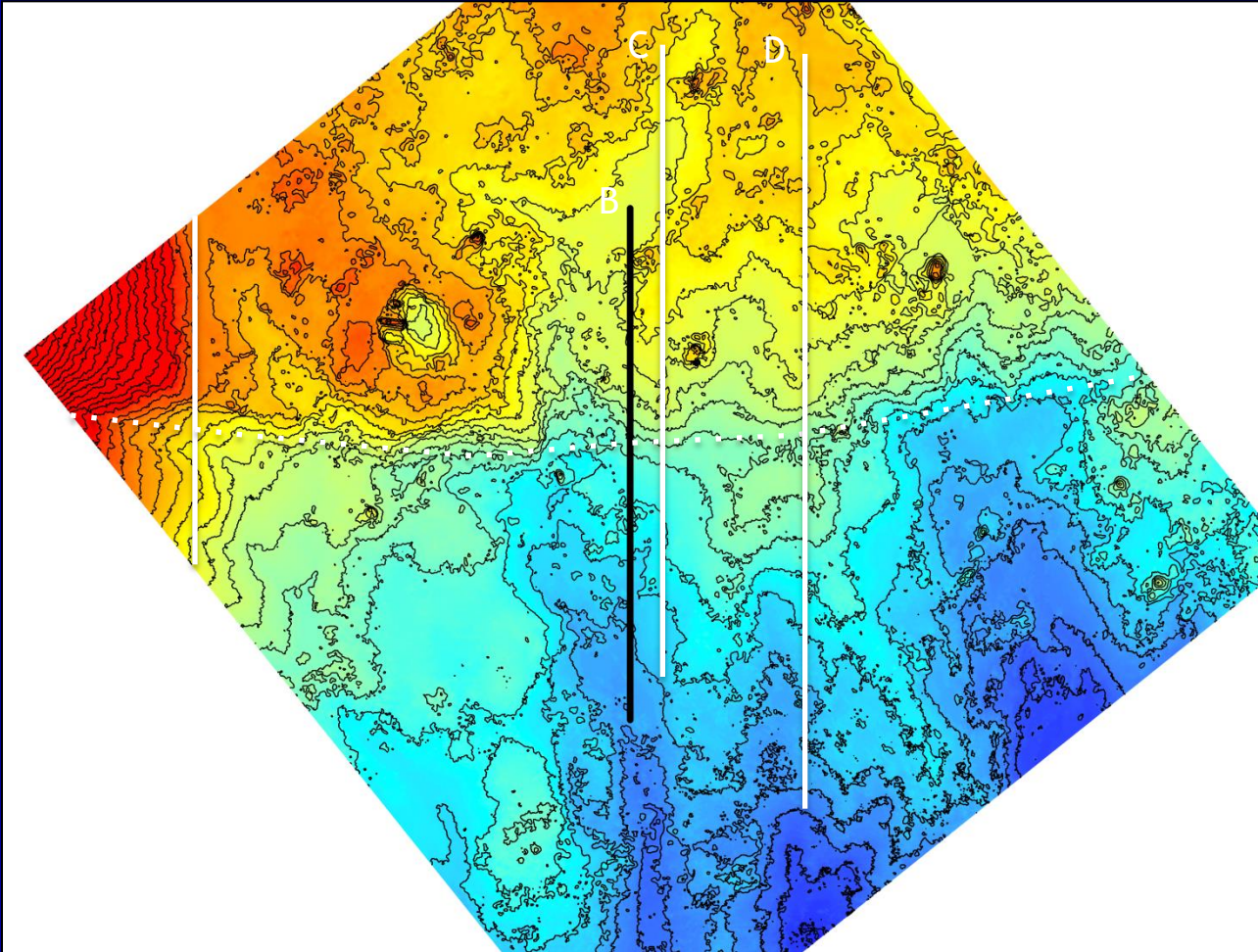
Barrett

offset channels and bars

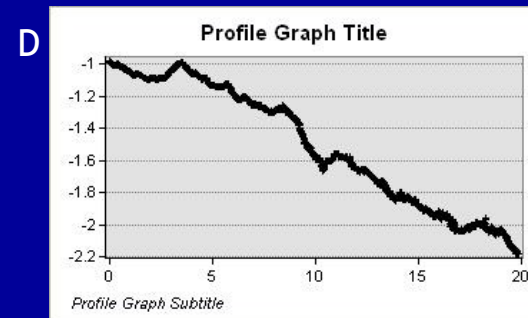
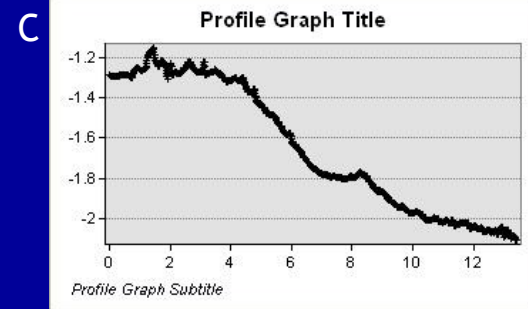
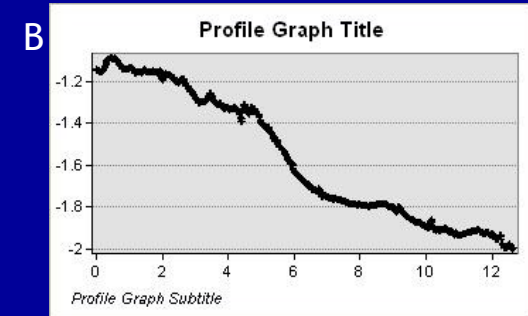
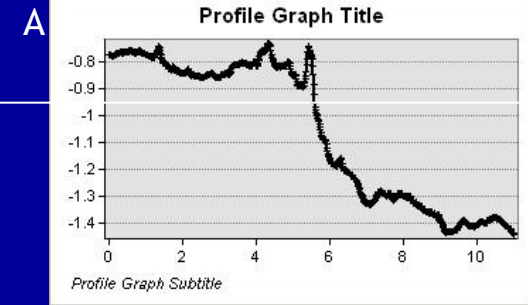


Zlomové svahy

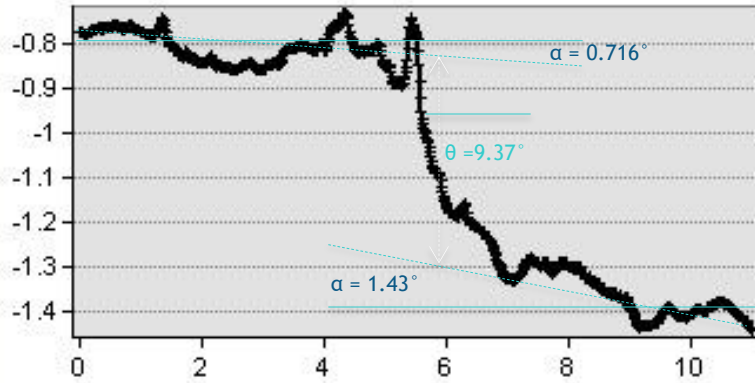
Elsinore fault



Barrett

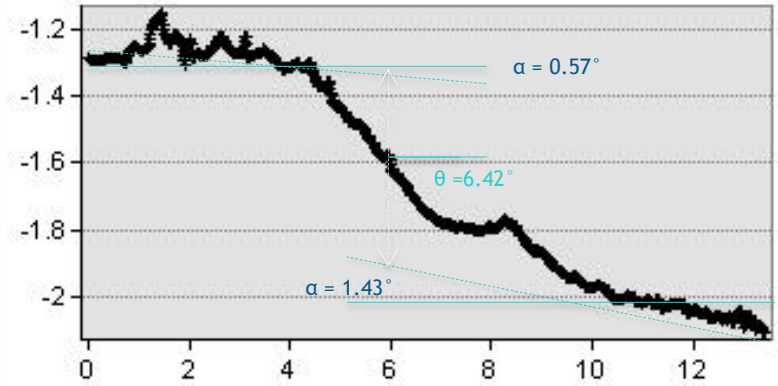


Profile Graph Title



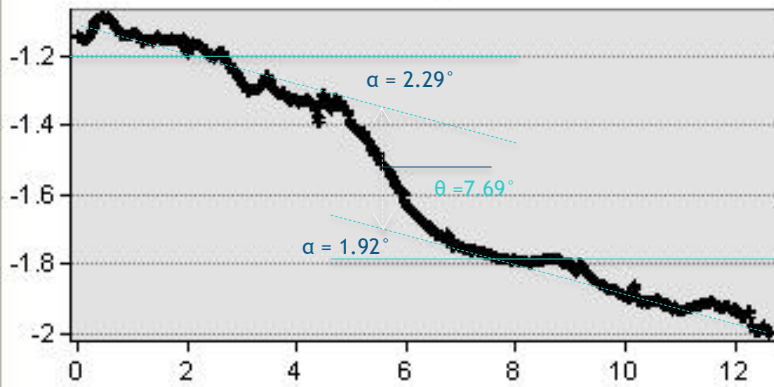
Profile Graph Subtitle

Profile Graph Title



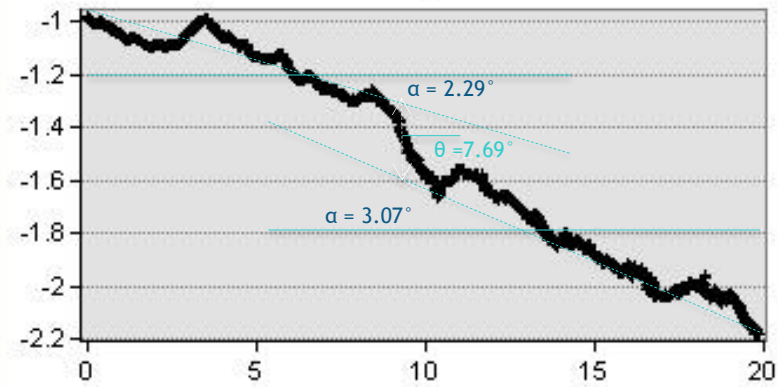
Profile Graph Subtitle

Profile Graph Title



Profile Graph Subtitle

Profile Graph Title



Profile Graph Subtitle